

SVEUČILIŠTE U RIJECI

**TEHNIČKI FAKULTET**

Preddiplomski stručni studij elektrotehnike

Završni rad

**NADOMJESNI MODELI VODOVA**

Rijeka, rujan 2015.

Goran Šaina  
0069056140

SVEUČILIŠTE U RIJECI

**TEHNIČKI FAKULTET**

Preddiplomski stručni studij elektrotehnike

Završni rad

**NADOMJESNI MODELI VODOVA**

Mentor: mr. sc. Marijana Živić Đurović, v. pred.

Rijeka, rujan 2015.

Goran Šaina  
0069056140

**TEHNIČKI FAKULET**  
Povjerenstvo za završne ispite  
preddiplomskog stručnog studija elektrotehnike  
Br.: 602-04/15-14/02  
Rijeka, 06.03.2015.

## Z A D A T A K

### za završni rad

Pristupnik: Goran Šaina

Matični broj: 0069056140  
Lokalni matični broj: 11800016

Naziv zadatka: **NADOMJESNI MODELI VODOVA**

Naziv zadatka na engleskom jeziku: **EQUIVALENT MODEL OF ELECTRICAL POWER NETWORKS**

Sadržaj zadatka:

Elementarni model voda. Točan i približan  $\Pi$  i  $T$  model voda. Proračun prijenosa pomoću  $\Pi$  i  $T$  modela voda. Analizirati vodove različitih duljina i naponskih nivoa pomoći točnih i približnih modela

Zadano: 17.03.2015.

Mentor:

V. pred. mr. sc. Marijana Živić-Đurović

Predsjednica Povjerenstva:

Izv. prof. dr. sc. Vera Gradišnik

Zadatak preuzeo dana: 17.03.2015.

(potpis pristupnika)

Dostaviti:

- Predsjednica Povjerenstva
- Mentor
- Djelovoda Povjerenstva
- Evidencija studija
- Pristupnik
- Arhiva Zavoda

SVEUČILIŠTE U RIJECI  
TEHNIČKI FAKULTET

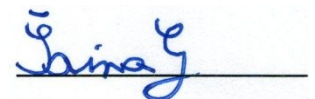
## IZJAVA

Sukladno s člankom 9. PRAVILNIKA o završnom radu, završnom ispitу i završetku stručnih studija Tehničkog fakulteta Sveučilišta u Rijeci, od lipnja 2011. godine, izjavljujem da sam samostalno izradio završni rad pod naslovom „Nadomjesni modeli vodova“, prema zadatku br. 602-04/15-14/02 od 17.03.2015.

Rijeka, rujan 2015.

Goran Šaina

0069056140

A handwritten signature in blue ink, appearing to read "Šaina", is placed above a horizontal line. The line extends from the left edge of the page to the right, ending with a small flourish.

# SADRŽAJ

|   |    |
|---|----|
| 1. UVOD.....  | 1  |
| 2. ELEMENTARNI MODEL VODA.....                          | 2  |
| 2.1. Vrste elektroenergetskih vodova.....               | 2  |
| 2.2. Materijali za nadzemne vodove.....                 | 4  |
| 2.3. Karakteristične veličine voda.....                 | 6  |
| 2.4. Izvedene konstante voda.....                       | 9  |
| 2.5. Telegrafske jednadžbe.....                         | 11 |
| 2.6. Opće rješenje prijenosnih jednadžbi.....           | 14 |
| 2.7. Oblici prijenosnih jednadžbi.....                  | 14 |
| 2.7.1. I. Oblik prijenosnih jednadžbi.....              | 14 |
| 2.7.2. II. Oblik prijenosnih jednadžbi.....             | 15 |
| 2.7.3. III. Oblik prijenosnih jednadžbi.....            | 16 |
| 2.8. Električne prilike na idealnom vodu.....           | 17 |
| 3. TOČAN I PRIBLIŽAN $\pi$ I T MODEL VODA.....          | 19 |
| 3.1. Točan $\pi$ model voda.....                        | 19 |
| 3.1.1. Korekcijski oblici $\pi$ modela voda.....        | 20 |
| 3.2. Točan T model voda.....                            | 22 |
| 3.2.1. Korekcijski oblici T modela voda.....            | 23 |
| 3.3. Približan $\pi$ i T model voda.....                | 24 |
| 4. PRORAČUN PRIJENOSA POMOĆU $\pi$ I T MODELA VODA..... | 26 |
| 4.1. Proračun prijenosa pomoću $\pi$ modela voda.....   | 26 |
| 4.2. Proračun prijenosa pomoću T modela voda.....       | 28 |
| 4.3. Proračun prijenosa kod vodova srednjeg napona..... | 31 |

|   |           |
|---|-----------|
| <b>5. ANALIZA VODOVA RAZLIČITIH NAPONSKIH NIVOA POMOĆU TOČNOG I PRIBLIŽNOG <math>\pi</math> MODELA.....</b>   | <b>32</b> |
| <b>5.1. Vodovi vrlo visokog napona.....</b>   | <b>32</b> |
| <b>5.1.1. Primjer proračuna <math>\pi</math> modela voda kod vrlo visokog napona.....</b>   | <b>33</b> |
| <b>5.2. Vodovi visokog napona.....</b>  | <b>38</b> |
| <b>5.2.1. Primjer proračuna <math>\pi</math> modela voda kod visokog napona.....</b>  | <b>39</b> |
| <b>5.3. Vodovi srednjeg napona.....</b>   | <b>45</b> |
| <b>5.3.1. Primjer proračuna <math>\pi</math> modela voda kod srednjeg napona.....</b>   | <b>46</b> |
| <b>5.4. Izračun napona i struja na početku i na kraju voda.....</b>   | <b>50</b> |
| <b>5.4.1. Analiza približnog i točnog <math>\pi</math> - modela voda kod vrlo visokog napona te zadanom induktivnom snagom na kraju voda.....</b>     | <b>50</b> |
| <b>5.4.2. Analiza približnog i točnog <math>\pi</math> - modela voda kod vrlo visokog napona te zadanom kapacitivnom snagom na kraju voda.....</b>    | <b>58</b> |
| <b>5.4.3. Analiza približnog i točnog <math>\pi</math> - modela voda kod vrlo visokog napona te zadanom induktivnom snagom na početku voda.....</b>   | <b>63</b> |
| <b>5.4.4. Analiza približnog i točnog <math>\pi</math> - modela voda kod vrlo visokog napona te zadanom kapacitivnom snagom na početku voda.....</b>  | <b>69</b> |
| <b>5.4.5. Analiza približnog <math>\pi</math> - modela voda kod srednjeg napona te zadanom induktivnom i kapacitivnom snagom na kraju voda.....</b>   | <b>74</b> |
| <b>5.4.6. Analiza približnog <math>\pi</math> - modela voda kod srednjeg napona te zadanom induktivnom i kapacitivnom snagom na početku voda.....</b> | <b>79</b> |
| <b>6. ZAKLJUČAK.....</b>  | <b>84</b> |
| <b>7. LITERATURA.....</b>   | <b>86</b> |

## 1. UVOD

Električna energetska mreža je međusobno povezana elektroenergetska mreža za prijenos i distribuciju električne energije od proizvođača do potrošača. Sastoji se od elektrana koje proizvode električnu energiju, visokonaponskih dalekovoda koji prenose energiju iz elektrane do rasklopnih postrojenja i transformatorskih stanica te distribucijskih mreža koje povezuju pojedine potrošače [1]. Po funkciji električna energetska mreža može biti prijenosna, distribucijska i industrijska. Prijenosna elektroenergetska mreža je prijenos električne energije većih snaga, od elektrane do električne trafostanice na veće udaljenosti. Ona se razlikuje od distribucijske elektroenergetske mreže koje se nalaze između visokonaponskih transformatorskih stanica i potrošača (krajnjih korisnika) [2]. Industrijske elektroenergetske mreže su posebne cjeline prijenosa električne energije pomoću kojih se napajaju industrijska postrojenja iz javne tj. elektroprivredne mreže.

Nadomjesni modeli vodova su potrebni za analizu i proračun na određenoj udaljenosti elektroenergetskog voda. Sve analize u elektrotehnici počinju s formiranjem odgovarajućih modela. Model u analizi elektroenergetskog sustava znači matematički model koji čini skup jednadžbi, detaljno opisuje međudjelovanje između različitih studijskih analiza i željenom fizikalnom, projektnom ili sustavnom točnošću [3]. Za složenije izvedbe, u modernije vrijeme koriste se računalni programi pomoću kojih se izračunava potrebnu analizu voda, što daleko brže i lakše dolazimo do potrebnih rezultata.

U drugom poglavlju opisan je elementarni model voda, detaljno su opisane vrste elektroenergetskih vodova, materijali za nadzemne vodove, karakteristične veličine voda i izvedene konstante voda. Zatim su detaljno opisane telegrafske jednadžbe, opće rješenje prijenosnih jednadžbi, sva tri oblika prijenosnih jednadžbi te električne prilike na idealnom vodu. U trećem dijelu detaljno su opisani točan i približan  $\pi$  i T model voda te njihovi korekcijski oblici. U četvrtom poglavlju detaljno su opisani proračuni prijenosa pomoću  $\pi$  i T modela voda te proračun prijenosa kod vodova srednjeg napona. U petom poglavlju izračunati su i analizirani vodovi različitih naponskih nivoa pomoću točnog i približnog  $\pi$  modela. U tom su poglavlju napravljeni primjeri proračuna kod vrlo visokog napona, visokog napona i srednjeg napona pomoću približnog i točnog  $\pi$  modela. Zatim su izračunati napon i struja na početku i na kraju voda, ako je zadana induktivna odnosno kapacitivna snaga na kraju odnosno na početku elektroenergetskog voda.

## 2. ELEMENTARNI MODEL VODA

### 2.1. Vrste elektroenergetskih vodova

Razlikujemo dvije skupine energetskih vodova. To su nadzemni elektroenergetski vodovi i kabelski elektroenergetski vodovi.

- *Nadzemni elektroenergetski vodovi (zračni, dalekovodi)*

Vodići koji se koriste za prijenos i distribuciju električne energije (iznad zemlje) na velike udaljenosti. Sastoje se od jednog ili više vodiča pričvršćenih na izolatorima te odgovarajućim nosivim stupovima. Takvi su vodovi opterećeni mehanički (savijanje pod težinom snijega i jakih vjetrova) i termički (sužavaju se zimi, ljeti se rastežu). S obzirom da najveći dio izolacije pruža zrak, nadzemni vodovi su najčešće korišteni za prijenos električne energije zbog niske cijene izvedbe i količine postavljanja betonskih ili rešetkastih stupova [4].

*Osnovni elementi nadzemnog voda su:* pleteni vodiči ( $Al/Fe$ , omjeri: 6:1, 4:1, 3:1); zaštitni vodiči (užad); izolatori (suhu zrak, parafin, porculan, tvrda guma, a najčešće stakleni); spojni, ovjesni i zaštitni pribor (zatezna stezaljka,...); stupovi (betonski ili rešetkasti); uzemljivači (trakasti, štapni, prstenasti,...); temelji (najčešće betonski za betonske i rešetkaste stupove) [5].

#### ❖ Kriteriji za vodiče i dalekovode nadzemnih vodova

Vodići nadzemnih vodova odabiru se na temelju modeliranja nadzemnih vodova. U tom modeliranju tj. proračunu prijenosa mora se paziti pri među-induktivnom i madu-kapacitivnom utjecaju pojedinih faza te o utjecaju zemlje. Uz navedene kriterije valja spomenuti i uvjete o ekološkim ograničenjima i mišljenja javnosti u koje spada odabir trase elektroenergetskog voda, karakteristikama dalekovoda (buka, utjecaj elektromagnetskog polja na žive organizme, odabir užeta elektroenergetskog voda, odabir izolacija, konstrukcija betonskih ili rešetkastih stupova) [6]. Valja naglasiti da kod vodiča za nadzemne vodove postoje važni kriteriji prije korištenja na dalekovodima, to su dobra električna provodljivost (tablica 2.1), zadovoljavajuća mehanička čvrstoća i optimalna težina (tablica 2.1), dobar omjer pletenih vodiča, otpornost na koroziju pod utjecajem vode ( $H_2O$ ) i kiselih kiša, otpornost na razne atmosferske prilike, otpornost na visoka temperaturna ugrijavanja da se ne pojave preveliki ovjesi, omjer prihvatljive cijene i kvalitete [7].

- **Kabelski elektroenergetski vodovi (kabeli)**

Najčešće su to podzemni elektroenergetski vodovi. Oni zamjenjuju nadzemne vodove koji pružaju prijenos električne energije podzemnim putem. To se obično izvodi zbog estetskih razloga, te imaju dodatnu prednost od nadzemnih vodova, manje su osjetljivi na prekide tijekom velikih oluja, jakih vjetrova, velike količine snijega ili ledene kiše. Takva vrsta elektroenergetskih vodova povećava početne troškove električnog prijenosa i distribucije, ali se zato smanjuju operacijske troškove tijekom vijeka trajanja kabela [8]. Posebne vrste podzemnih vodova s visokom izolacijom mogu se koristiti i ispod vode ili mora.

Nadzemni vodovi i kabelski elektroenergetski vodovi najčešće se modeliraju nadomjesnim  $\pi$ -modelom, a koriste se i nadomjesni  $T$ -model elektroenergetskog voda, rjeđe se koriste  $\Gamma$ -model i  $I$ -model elektroenergetskog voda. Podaci potrebni za modeliranje elektroenergetskih vodova su struja  $I$ , linijski (nazivni) napon  $U$ , u proračunima se češće koristi fazni napon  $V$ . Za modeliranje mora se razlikovati uzdužnu i poprečnu granu za direktni odnosno nulti sustav kod nadzemnih vodova. U uzdužnoj grani se nalaze impedancija  $Z$ , rezistancija  $R$  i reaktancija  $X$  te potreban joj induktivitet  $L$ . U poprečnim granama odnosno poprečnoj grani nalaze se admitancija  $Y$ , konduktancija  $G$  i susceptancija  $B$  te potreban joj kapacitet  $C$ . Bitno je modelirati sve elemente u uzdužnoj i poprečnoj grani, zbog toga da se može formirati jedan od potrebnih matematičkih modela mreže. Za proračun i analize potrebni su adekvatni elementi u mreži kako bi se moglo odrediti, o kojem se nadomjesnom modelu radi te ujedno i njihova fizikalna svojstva [9].

## 2.2. Materijali za nadzemne vodove

### ➤ Bakar (*Cu*)

Rastezljiv metal s vrlo visokom toplinskom i električnom vodljivosti. Čisti bakar je mekan, savitljiv i ima crvenkasto-narančastu boju. Koristi se kao vodič topline i električne energije te kao građevinski materijal.

- Legure bakra

Bakar se najčešće miješa s cinkom (*Zn*), kositrom (*Sn*), aluminijem (*Al*), niklom (*Ni*), manganom (*Mn*) i silicijem (*Si*) za poboljšanje mehaničkih svojstava. Imaju visoku otpornost na koroziju. Najpoznatije tradicionalne vrste su bronca, mqed ili mesing.

- *Bronca*: više od 60% bakra uz dodatak jednoga (najviše kositar) ili više elemenata za leguru (fosfor, silicij, aluminij ili cink), često je viđana u omjeru: 90,0% bakra, 6% kositra, 4,0% cinka, time se poboljšava bakrena čvrstoća, tvrdoća i otpornost na koroziju. Imaju nisko talište i dobro se lijevaju, koriste se za izradu različitih ventila, zupčanika, novca, ukrasnih predmeta, itd.
- *Mesing ili mqed*: legura bakra i cinka, gdje je sadržaj cinka oko 40%. Najpoznatiji je omjer sastava: bakar 90%, cink 9,9%, željezo 0,05%, olovo 0,05%. [11] Koriste se za vijke u transformatorskim stanicama i navoje u nekim vrstama izolatora.

### ➤ Aluminij (*Al*)

Aluminij (99,5 %) je čisti aluminij. On je srebrno-bijeli, mekani, ne magnetski, žilav i jako rastezljiv metal te metal male gustoće. Otporan je na koroziju, neke kiseline i atmosferske plinove. Dobar je vodič topline i električne energije. Aluminij je treći najčešći element (nakon kisika i silicija) u Zemljinoj kori, proizvodi se od boksita.

- Legure aluminija

Aluminij se najčešće miješa s bakrom (*Cu*), manganom (*Mn*), silicijem (*Si*), cinkom (*Zn*), magnezijem (*Mg*) i željezom (*Fe*).

- *Magnalij*: slitina aluminija i magnezija, u kojoj je udio magnezija 10 - 30 %. Otporan na morsku vodu, najčešće se koristi u brodogradnji.

- *Duraluminij*: je legura aluminija, bakra, magnezija i mangana, miješa se u omjeru: bakar 2,5 – 5,5 %, magnezij 0,5 – 2 %, mangan 0,5 – 1,2 %, silicij 0,2 – 1 %. Vrlo tvrda legura, otporan na udarce, pa se koristi u građevinarstvu, za izradu prijevoznih sredstava, za oplatu aviona i okvire trkačih bicikala.
- *Aldrey*: legura aluminija (98,7 %), magnezija (0,3 - 0,5 %), silicija (0,4 - 0,7 %) i željeza (0,2 - 0,3 %), vlačna čvrstoća veća je od one čistog aluminija, električna vodljivost mu je oko  $31 \text{ Sm/mm}^2$ , prekidna čvrstoća  $350 \text{ N/mm}^2$  te rastezljivost 6,5 %. Najčešće se koristi za gradnju elektroenergetskih vodova te jakih strujnih sabirnica.
- *Silumin*: legura aluminija i silicija (2 - 12,5 %). Koristi se za kavez rotora asinkronih motora i kućišta manjih izmjeničnih motora [12].

Danas aluminij prevladava kao materijal za vodiče nadzemnih vodova i kabela. Omjer specifične mase  $\gamma$  i specifične električne vodljivosti  $\chi$  daje konstantu materijala  $\alpha$ :

$$\alpha = \frac{\gamma}{\chi} \quad (2.1)$$

Gdje je:  $\gamma$  specifična masa,

$\chi$  specifična električna vodljivost.

### ➤ Čelik (pocinčani)

Oni su legure željeza (*Fe*) i drugih elemenata, najčešće s 2,06 % ugljena (*C*), zbog svoje visoke čvrstoće i niskim troškovima, najčešće se koristi u građevinarstvu, kao materijal za zaštitnu užad (kao jezgra gdje čelična jezgra preuzima mehaničko opterećenje vodiča, poznato kao *alučel Al/Fe*, standardni omjeri: 6:1, 4:1, 3:1). Čelici imaju loša električna, ali odlična mehanička svojstva. Čelični se vodovi oblažu vodljivim materijalima kao što je *Copperweld* (čelik obložen bakrom) i *Alumoweld* (čelik obložen aluminijem) [13].

### ➤ Platina (*Pt*), srebro (*Ag*) i zlato (*Au*)

To su plemeniti metali, imaju veliku (najveću srebro) električnu i toplinsku provodnost, ne oksidiraju i otporni su na kiseline i lužine. Koriste se u industriji, zlatarstvu, čipovima i modernoj tehnologiji, kod kontakata u elektrotehnici.

Tablica 2.1. Specifične vrijednosti materijala i legura

|                                  | Električna vodljivost<br>$\chi \left[ \frac{S}{m} \cdot 10^6 \right]$ | Specifična masa<br>$\gamma \left[ \frac{kg}{m^3} \cdot 10^3 \right]$ | Prekidna čvrstoća<br>$\delta_p \left[ \frac{da\ N}{mm^2} \right]$ |
|----------------------------------|---|--|---|
| Bakar ( <i>Cu</i> )              | 56  | 8,9  | 40  |
| Aluminij ( <i>Al</i> )           | 34,8  | 2,7  | 17-19   |
| Bronza ( <i>Cu, Sn, Si</i> )     | 48-18   | 8,65-8,9   | 50-70   |
| Aldrij ( <i>Al, Mn, Si, Fe</i> ) | 30  | 2,7  | 30  |
| Čelik (pocinčani)                | 7-8   | 7,8  | 40-150  |
| Bakar – čelik                    | /   | 8,25   | 60-108  |
| Alučel (6:1)                     | /   | 3,45   | 17/120  |
| Aldrey – čelik (6:1)             | /   | 3,45   | 30/120  |

Uzvši vrijednosti aluminija (*Al*) te bakra (*Cu*), iz tablice 2.1 u izraz (2.1) dobiva se:

$$\alpha_{Cu} = \frac{8,9 \cdot 10^3}{56 \cdot 10^6} = 1,5893 \cdot 10^{-4} \approx 159 \cdot 10^{-6} \left[ \frac{\Omega kg}{m^2} \right] \quad (2.2)$$

$$\alpha_{Al} = \frac{2,7 \cdot 10^3}{34,8 \cdot 10^6} = 7,759 \cdot 10^{-5} \approx 77 \cdot 10^{-6} \left[ \frac{\Omega kg}{m^2} \right]$$

### 2.3. Karakteristične veličine voda

Karakteristične veličine pomoću kojih se definiraju električne prilike na vodu u svim pogonskim slučajevima nazivaju se konstante voda.

Brojčane vrijednosti konstanti voda ovise o:

- ❖ svojstvima materijala od kojih su konstruirani;
- ❖ svojstvima sredine koja ih okružuje (nizine, planine);
- ❖ geometrijskom odnosu dijelova voda međusobno i prema okolini.

Spomenute utjecajne veličine podložne su promjenama, kao što su promjene temperature, vlažnost i sl., zato treba pripaziti na to [14].

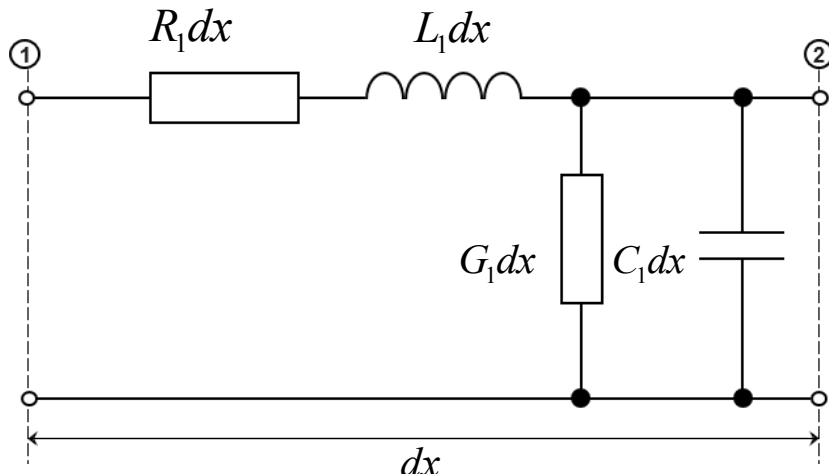
Konstante voda se mjere po jedinici dužine voda, najčešće po kilometru i po jednoj fazi. Radi se o konstantama za direktni sustav sinkronog voda ako nije naglašeno drugačije.

Osnovne konstante voda:

1. Jedinični djelatni otpor voda  $R_1 [\Omega/km]$ ,
2. Jedinični induktivitet voda  $L_1 [H/km]$ ,
3. Jedinični kapacitet voda  $C_1 [F/km]$ ,
4. Jedinični odvod voda  $G_1 [S/km]$ .

Ukratko, to su karakteristične veličine važne za opisivanje električnih prilika na elektroenergetskom vodu, koje vrijede u svim prilikama pogona. Konstantne vrijednosti ovise o karakteristikama materijala i okoline u kojoj se nalaze, te o opsegu samih elektroenergetskih vodova te njihovim udaljenostima između njih. Realni elektroenergetski vod je vod kojem su sve četiri jedinične vrijednosti (konstante) različite od nule ( $R_1 \neq 0, L_1 \neq 0, C_1 \neq 0, G_1 \neq 0$ ) [15].

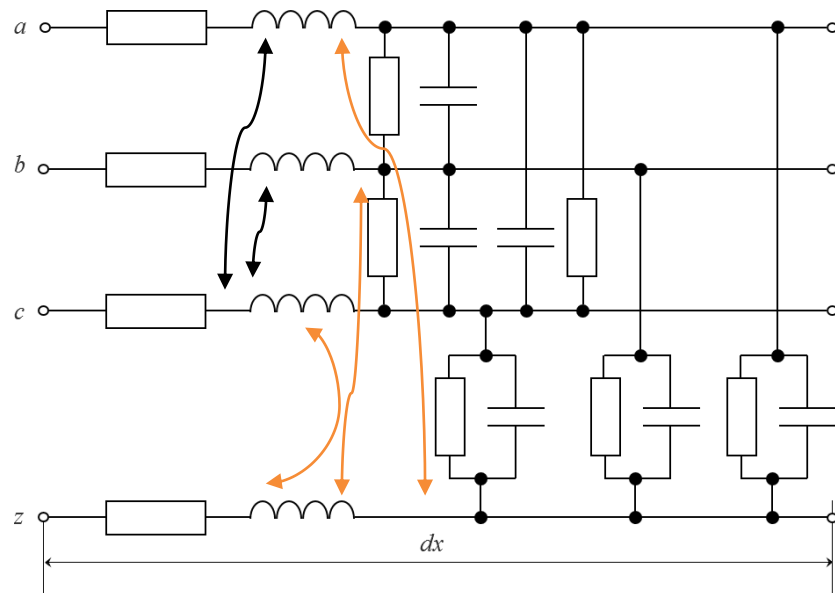
Važno je naglasiti da prolaz struje kroz otpor i odvod izaziva toplinske gubitke, pa konstante dijelimo na tople i hladne. Zbog svog položaja u elementu voda djelatni otpor voda i induktivitet voda nazivamo uzdužnim konstantama, a odvod voda i kapacitet voda nazivamo poprečnim konstantama.



Slika 2.1. Položaj konstanti voda na dužini  $dx$

U najvećem broju slučajeva koriste se jednofazni modeli elemenata mreže (slika 2.1.). Kao što je vidljivo sa slike 2.1. pod uzdužnu granu spadaju jedinični djelatni otpor voda  $R_1$  i jedinični induktivitet voda  $L_1$ , dok pod poprečnu granu spadaju jedinični odvod voda  $G_1$  te jedinični kapacitet voda  $C_1$  na nekoj udaljenosti između vodova  $dx$ .

Prema metodi simetričnosti razlikujemo direktni, inverzni te nulti sustav. Kakva god da se vektora ima, razlikuju se po fazi ili kutu (snaga odnosno napon i struja). Sustav je simetričan ako su sve tri faze jednake po iznosu i jednakom međusobno pomaknute pod nekim kutom, isto tako može biti simetričan pogonski slučaj ako su jednaki po iznosu, a fazno pomaknuti za  $120^\circ$  napon i struja u sve tri faze. Kroz takav povratni vod bez impedancije ( $Z$ ) ne teče struja, a nalazi se na zvjezdalu ( $O$ ) sustava [16].



*Slika 2.2. Trofazni model voda dužine  $dx$*

Trofazni grafički prikaz kao na slici 2.2. nam je potreban kada vod nije simetričan i/ili pogonski slučaj nije simetričan. Trofazne modele mreže se koriste za analizu prilika u mreži koje nisu simetrične, mreže s velikim opterećenjima koji nisu simetrični ili izuzetno nesimetričnim komponentama, ali i u slučaju kvara u nesimetriji. Tada prikazani povratni vodič fizički postoji u vidu zemlje i obostrano uzemljenog zaštitnog vodiča, te određenu impedanciju  $Z$ . U izvjesnim pogonskim slučajevima kroz njega teče struja. Na slici 2.2. vidljivo je da su prikazane sve konstante, uključujući međusobne utjecaje [17].

## 2.4. Izvedene konstante voda

Simboličke konstante se javljaju u obliku ovisnosti o frekvenciji i to kao:

- Jedinična reaktancija tj. jedinični uzdužni induktivni otpor

$$X_1 = \omega L_1 [\Omega/km] \quad X_1 = 2 \cdot \pi \cdot f \cdot L_1 [\Omega/km] \quad (2.3)$$

- Jedinična susceptancija tj. jedinična poprečna kapacitivna vodljivost

$$B_1 = \omega C_1 [S/km] \quad B_1 = 2 \cdot \pi \cdot f \cdot C_1 [S/km] \quad (2.4)$$

Kompleksne simboličke vrijednosti dobivaju se uvrštavanjem konstanti u formulu, pa se dobije:

- Jediničnu impedanciju tj. jedinični uzdužni prividni otpor

$$\bar{Z}_1 = R_1 + jX_1 [\Omega/km] \quad (2.5)$$

- Jedinična admitancija tj. jedinična poprečna prividna vodljivost

$$\bar{Y}_1 = G_1 + jB_1 [S/km] \quad (2.6)$$

Kod konkretnog voda važna je duljina  $\ell$  tog voda. Izvedene karakteristične veličine su:

- Valna konstanta tj. konstanta prodiranja

$$\gamma = \sqrt{\bar{Z}_1 \cdot \bar{Y}_1} [1/km] \quad (2.7)$$

- Karakteristična impedancija

$$\bar{Z}_c = \sqrt{\frac{\bar{Z}_1}{\bar{Y}_1}} [\Omega] \quad (2.8)$$

Realni i imaginarni dio su sastavni dijelovi konstante prodiranja:

$$\gamma = \alpha + \beta j = \sqrt{(R_1 + j\omega L_1)(G_1 + j\omega C_1)} \quad (2.9)$$

Gdje su:  $\alpha$  konstanta gušenja,

$\beta$  fazna konstanta.

Karakterističnu impedanciju  $\bar{Z}_c$  može se izraziti pomoću konstante prodiranja  $\gamma$

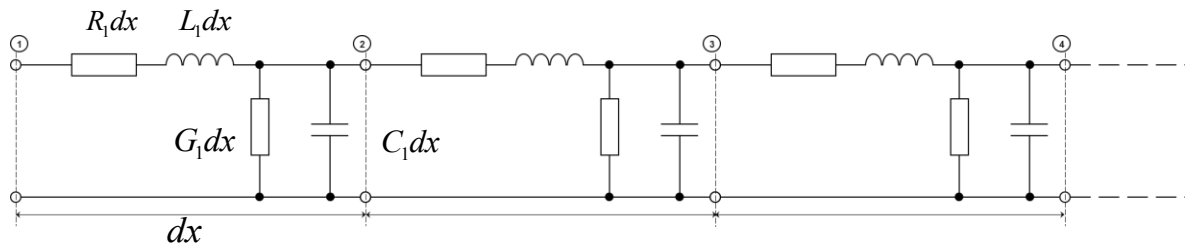
$$\bar{Z}_c = \sqrt{\frac{R_1 + j\omega L_1}{G_1 + j\omega C_1}} = \frac{\bar{Z}_1}{\gamma} = \frac{\gamma}{\bar{Y}_1} [\Omega] \quad (2.10)$$

Ako se dužinu voda  $\ell$  pomnoži jediničnim konstantama voda, dobije se:

- Rezistanciju (djelatni otpor voda)  $R = R_1 \cdot \ell [\Omega]$ ,
- Reaktanciju (induktivni otpor voda)  $X = X_1 \cdot \ell [\Omega]$ ,
- Konduktanciju (djelatni odvod voda)  $G = G_1 \cdot \ell [S]$ ,
- Susceptanciju (kapacitivnu vodljivost voda)  $B = B_1 \cdot \ell [S]$ ,
- Impedanciju (prividni otpor voda)  $\bar{Z} = R + jX [\Omega]$ ,
- Admitanciju (prividnu vodljivost voda)  $\bar{Y} = G + jB [S]$ .

Konstanta prodiranja za duljinu voda  $\ell [km]$ :

$$\Theta = \vec{\gamma} \cdot \ell = \sqrt{\bar{Z} \cdot \bar{Y}} \quad (2.11)$$

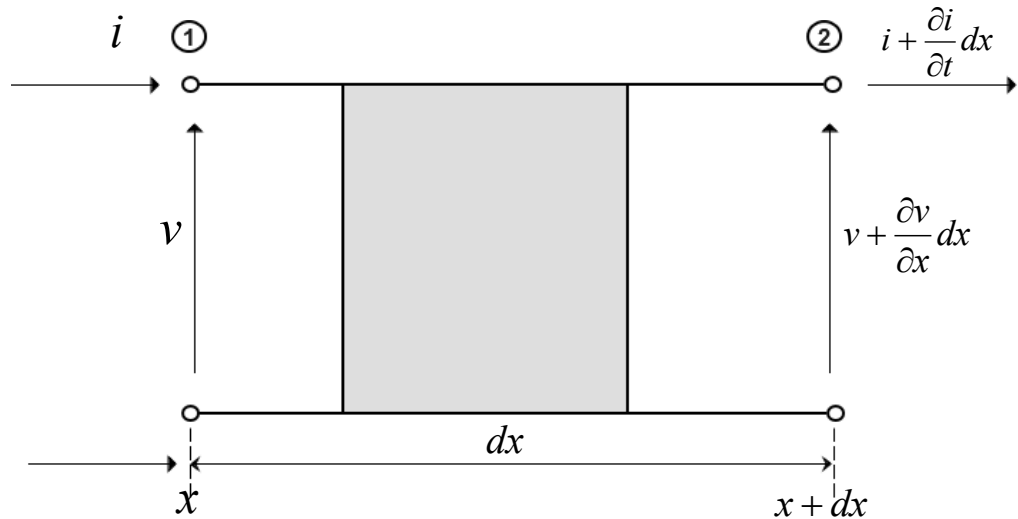


Slika 2.3. Vod kao lanac infinitezimalnih dijelova

Prikazivanje konstanata prema slikama 2.1. i 2.2. u biti nije ispravno, jer su prikazane kao koncentrirane, a one u stvari to nisu. Ako takav način prikazivanja primijenimo na sasvim kratke odsječke voda (slika 2.3.), približavamo se vjernom prikazu [18].

## 2.5. Telegrafske jednadžbe

Napon i struja na vodu mijenjaju se uzduž voda i tokom vremena. Prikazano je zbivanje na kratkom odsječku dužine  $dx$ , na dva načina: analitički prema slici 2.4. te fizikalno prema slici 2.6.:

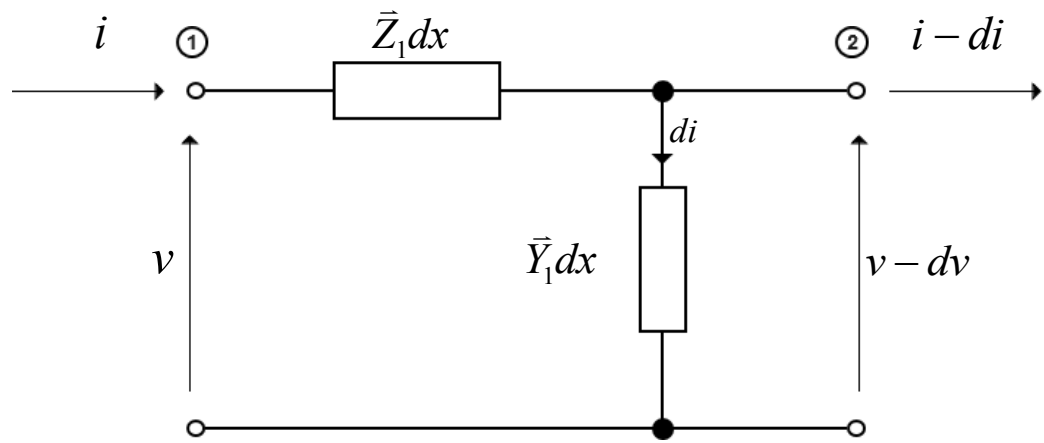


Slika 2.4. Promjena struje i napona na vodu dužine  $dx$

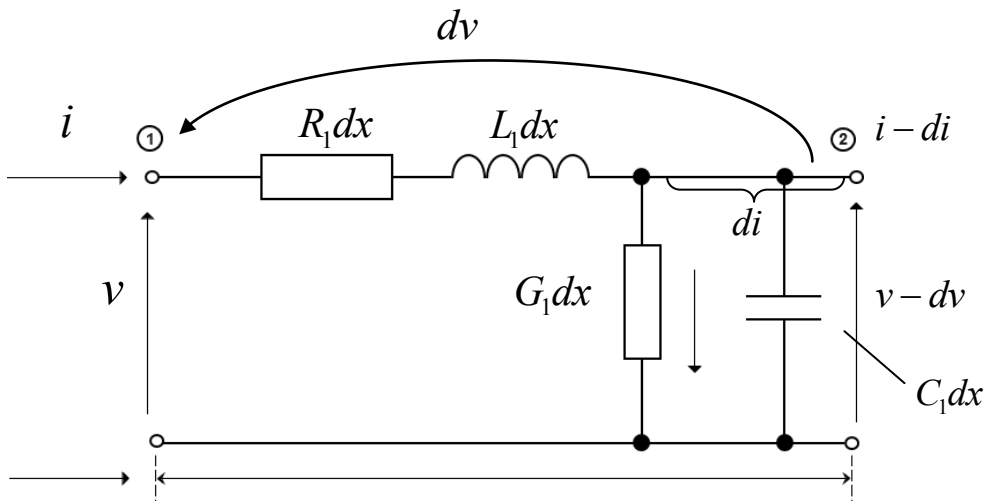
Gdje je:

$v$  momentalne vrijednosti napona,

$i$  momentalne vrijednosti struje.



Slika 2.5. Analitički prikaz promjene struje i napona na vodu dužine  $dx$



Slika 2.6. Fizikalni prikaz struje i napona na vodu dužine  $dx$

Početne jednadžbe dobivene sa slike 2.6.:

$$dv = iR_l dx + L_l \frac{\partial i}{\partial t} dx \quad (2.12)$$

$$di = vG_l dx + C_l \frac{\partial v}{\partial t} dx$$

Izjednačavanjem početnih jednadžbi analognog i fizikalnog napona i struja dobije se:

$$v + \frac{\partial v}{\partial x} dx = v - dv = v - iR_l dx + L_l \frac{\partial i}{\partial t} dx \quad (2.13)$$

$$i + \frac{\partial i}{\partial x} dx = i - di = i - vG_l dx + C_l \frac{\partial v}{\partial t} dx$$

Sređivanjem tih jednadžbi dobije se diferencijalne jednadžbe:

$$-\frac{\partial v}{\partial x} = iR_l + L_l \frac{\partial i}{\partial t} \quad (2.14)$$

$$-\frac{\partial i}{\partial x} = vG_l + C_l \frac{\partial v}{\partial t}$$

Telegrafske jednadžbe su sve diferencijalne jednadžbe, čija su rješenja prijenosne jednadžbe. Simbolična domena tj. simbolični račun izmjenične trofazne sinusne struje konstantne frekvencije

$$v = \operatorname{Re} \left[ \sqrt{2} \cdot V \cdot e^{j(\omega t + \varphi)} \right] \quad \vec{V} = V \angle \varphi \quad (2.15)$$

$$\vec{Z} = R + jX = Z \angle \varphi$$

Ako su poznate sljedeće jednadžbe:

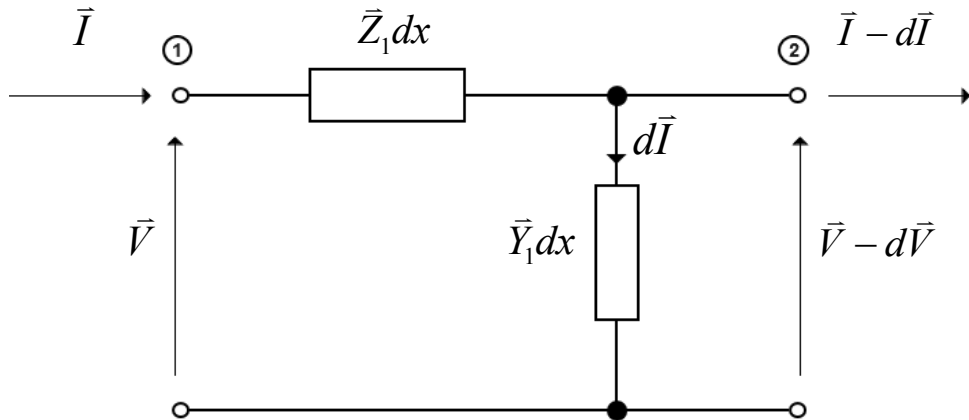
$$i = f(x, t) = i(x) \cdot \sin(\omega t + \varphi_i) \quad (2.16)$$

$$v = f(x, t) = v(x) \cdot \sin(\omega t + \varphi_v)$$

Dobiju se sljedeće jednadžbe:

$$\vec{I}(x) = I(x) \cdot e^{j\omega t} \cdot e^{j\varphi_i} \quad (2.17)$$

$$\vec{V}(x) = V(x) \cdot e^{j\omega t} \cdot e^{j\varphi_v}$$



Slika 2.7. Analitički prikaz promjena struje i napona na vodu dužine  $dx$

Pomoću analitičkog prikaza promjena napona i struja na vodu slike 2.7., dobiva se telegrafske jednadžbe u simboličkoj domeni:

$$\begin{aligned} -\frac{d\vec{V}}{dx} &= R_l \vec{I} + j\omega L_l \vec{I} \Rightarrow & -\frac{d\vec{V}}{dx} &= \vec{Z}_l \vec{I} \\ -\frac{d\vec{I}}{dx} &= G_l \vec{V} + j\omega C_l \vec{V} \Rightarrow & -\frac{d\vec{I}}{dx} &= \vec{Y}_l \vec{V} \end{aligned} \quad (2.18)$$

## 2.6. Opće rješenje prijenosnih jednadžbi

Iz telegrafskih jednadžbi (2.18) zna se da je:

$$\frac{d\vec{V}}{dx} = -\vec{Z}_1 \vec{I} \quad \frac{d\vec{I}}{dx} = \vec{Y}_1 \vec{V} \quad (2.19)$$

Kada ih se derivira po  $x$  dobije se:

$$\begin{aligned} \frac{d^2\vec{V}}{dx^2} &= -\vec{Z}_1 \frac{d\vec{I}}{dx} \Rightarrow \quad \frac{d^2\vec{V}}{dx^2} = \vec{Z}_1 \vec{Y}_1 \vec{V} = \gamma^2 \vec{V} \\ \frac{d^2\vec{I}}{dx^2} &= -\vec{Y}_1 \frac{d\vec{V}}{dx} \Rightarrow \quad \frac{d^2\vec{I}}{dx^2} = \vec{Y}_1 \vec{Z}_1 \vec{V} = \gamma^2 \vec{I} \end{aligned} \quad (2.20)$$

Valna konstanta odnosno konstanta prodiranja glasi:

$$\vec{\gamma} = \sqrt{\vec{Z}_1 \cdot \vec{Y}_1} = \alpha + j\beta [1/km] \quad (2.21)$$

Opće rješenje jednadžbi (2.21) izgleda:

$$\begin{aligned} \vec{V} &= \vec{A}_1 \cdot e^{-\gamma x} + \vec{A}_2 \cdot e^{\gamma x} = \vec{A}_1 \cdot e^{-(\alpha+j\beta)x} + \vec{A}_2 \cdot e^{(\alpha+j\beta)x} \\ \vec{I} &= \vec{B}_1 \cdot e^{-\gamma x} + \vec{B}_2 \cdot e^{\gamma x} = \vec{B}_1 \cdot e^{-(\alpha+j\beta)x} + \vec{B}_2 \cdot e^{(\alpha+j\beta)x} \end{aligned} \quad (2.22)$$

## 2.7. Oblici prijenosnih jednadžbi

Razlikujemo tri oblika prijenosnih jednadžbi:

### 2.7.1. I. Oblik prijenosnih jednadžbi

Jednadžbe (2.22)

$$\begin{aligned} \vec{V} &= \vec{A}_1 \cdot e^{-\gamma x} + \vec{A}_2 \cdot e^{\gamma x} \\ \vec{I} &= \vec{B}_1 \cdot e^{-\gamma x} + \vec{B}_2 \cdot e^{\gamma x} \end{aligned} \quad (2.23)$$

Derivira li se po  $x$  te usporedi s jednadžbama (2.18) dobije se:

$$\begin{aligned} \frac{d\vec{V}}{dx} &= -\gamma \cdot \vec{A}_1 \cdot e^{-\gamma x} + \gamma \cdot \vec{A}_2 \cdot e^{\gamma x} \Rightarrow \quad \frac{d\vec{V}}{dx} = -\vec{Z}_1 \vec{I} \\ \frac{d\vec{I}}{dx} &= -\gamma \cdot \vec{B}_1 \cdot e^{-\gamma x} + \gamma \cdot \vec{B}_2 \cdot e^{\gamma x} \Rightarrow \quad \frac{d\vec{I}}{dx} = -\vec{Y}_1 \vec{V} \end{aligned} \quad (2.24)$$

Ako se uvrsti za  $x = 0$ ,  $\vec{V} = \vec{V}_1$ ,  $\vec{I} = \vec{I}_1$  pa jednadžbe (2.22) i (2.23), uvezši u obzir (2.10) glase ovako:

$$\begin{aligned}\vec{V}_1 &= \vec{A}_1 + \vec{A}_2 & \vec{Z}_c \vec{I}_1 &= \vec{A}_1 - \vec{A}_2 \\ \vec{I}_1 &= \vec{B}_1 + \vec{B}_2 & \frac{1}{\vec{Z}_c} \vec{V}_1 &= \vec{B}_1 - \vec{B}_2\end{aligned}\tag{2.25}$$

Dobivena su dva para jednadžbi čija su rješenja:

$$\begin{aligned}\vec{A}_1 &= \frac{1}{2} (\vec{V}_1 + \vec{Z}_c \vec{I}_1) & \vec{A}_2 &= \frac{1}{2} (\vec{V}_1 - \vec{Z}_c \vec{I}_1) \\ \vec{B}_1 &= \frac{1}{2} \left( \vec{I}_1 + \frac{\vec{V}_1}{\vec{Z}_c} \right) & \vec{B}_2 &= \frac{1}{2} \left( \vec{I}_1 - \frac{\vec{V}_1}{\vec{Z}_c} \right)\end{aligned}\tag{2.26}$$

Za dobivanje  $I_a$  oblika prijenosnih jednadžbi potrebno je uvrstiti jednadžbe (2.22) u (2.26)

$$\begin{aligned}\vec{V} &= \frac{1}{2} (\vec{V}_1 + \vec{Z}_c \vec{I}_1) \cdot e^{-\gamma x} + \frac{1}{2} (\vec{V}_1 - \vec{Z}_c \vec{I}_1) \cdot e^{\gamma x} \\ \vec{I} &= \frac{1}{2} \left( \vec{I}_1 + \frac{\vec{V}_1}{\vec{Z}_c} \right) \cdot e^{-\gamma x} + \frac{1}{2} \left( \vec{I}_1 - \frac{\vec{V}_1}{\vec{Z}_c} \right) \cdot e^{\gamma x}\end{aligned}\tag{2.27}$$

Analogno izrazu jednadžbe (2.27), dobiva se  $I_b$  oblik prijenosnih jednadžbi

$$\begin{aligned}\vec{V} &= \frac{1}{2} (\vec{V}_2 + \vec{Z}_c \vec{I}_2) \cdot e^{\gamma x} + \frac{1}{2} (\vec{V}_2 - \vec{Z}_c \vec{I}_2) \cdot e^{-\gamma x} \\ \vec{I} &= \frac{1}{2} \left( \vec{I}_2 + \frac{\vec{V}_2}{\vec{Z}_c} \right) \cdot e^{\gamma x} + \frac{1}{2} \left( \vec{I}_2 - \frac{\vec{V}_2}{\vec{Z}_c} \right) \cdot e^{-\gamma x}\end{aligned}\tag{2.28}$$

Vidljivo je da se napon i struja dobiju superpozicijom dvaju voda, i to bilo gdje na vodu.

### 2.7.2. II. Oblik prijenosnih jednadžbi

Primjenom Eulerovih formula dobiva se sljedeći oblik prijenosnih jednadžbi:

$$\begin{aligned}\vec{V} &= \frac{1}{2} \vec{V}_1 (e^{-\gamma x} + e^{\gamma x}) + \frac{1}{2} \vec{Z}_c \vec{I}_1 (e^{-\gamma x} - e^{\gamma x}) \\ \vec{I} &= \frac{1}{2} \vec{I}_1 (e^{-\gamma x} + e^{\gamma x}) + \frac{1}{2} \cdot \frac{\vec{V}_1}{\vec{Z}_c} (e^{-\gamma x} - e^{\gamma x})\end{aligned}\tag{2.29}$$

Matematički nam je poznato da je:

$$ch \ \gamma x = \frac{e^{+\gamma x} + e^{-\gamma x}}{2}, \quad sh \ \gamma x = \frac{e^{+\gamma x} - e^{-\gamma x}}{2} \quad (2.30)$$

Uvrštanjem jednadžbi (2.30) u (2.29) dobiva se II<sub>a</sub> oblik prijenosnih jednadžbi:

$$\begin{aligned} \vec{V} &= \vec{V}_1 \ ch \ \gamma x - \bar{Z}_c \vec{I}_1 \ sh \ \gamma x \\ \vec{I} &= \vec{I}_1 \ ch \ \gamma x - \frac{\vec{V}_1}{\bar{Z}_c} sh \ \gamma x \end{aligned} \quad (2.31)$$

Analogno izrazu jednadžbe (2.31), dobiva se II<sub>b</sub> oblik prijenosnih jednadžbi:

$$\begin{aligned} \vec{V} &= \vec{V}_2 \ ch \ \gamma x + \bar{Z}_c \vec{I}_2 \ sh \ \gamma x \\ \vec{I} &= \vec{I}_2 \ ch \ \gamma x + \frac{\vec{V}_2}{\bar{Z}_c} sh \ \gamma x \end{aligned} \quad (2.32)$$

Izgubljen je uvid u valni karakter napona i struje uzduž voda kod ovog oblika prijenosnih jednadžbi. Ovim izrazima se može izračunati stvarne vrijednosti struje i napona uzduž voda po veličini i fazi.

### 2.7.3. III. Oblik prijenosnih jednadžbi

Poznate su električne prilike na jednom kraju voda, a tražimo električne prilike na drugom kraju voda (zadano na početku, a računamo na kraju voda ili obrnuto), tada vrijedi da je:

$$x = \ell$$

Karakterističnu impedanciju  $\bar{Z}_c$ , koristeći jednadžbu (2.11), može se izraziti pomoću konstante prodiranja  $\Theta$ :

$$\bar{Z}_c = \sqrt{\frac{R_1 + j\omega L_1}{G_1 + j\omega C_1}} = \sqrt{\frac{\bar{Z}_1}{\bar{Y}_1}} = \frac{\bar{Z}_1}{\bar{Y}} = \frac{\bar{\gamma}}{\bar{Y}_1} = \frac{\bar{Z}}{\Theta} = \frac{\Theta}{\bar{Y}} \quad [\Omega] \quad (2.33)$$

Ako se uvrsti jednadžbu (2.33) u jednadžbu (2.31), pod uvjetom da je  $x = 0$ , dobiva se III<sub>a</sub> oblik prijenosnih jednadžbi:

$$\begin{aligned} \vec{V}_2 &= \vec{V}_1 \ ch \ \Theta - \vec{I}_1 \cdot \bar{Z} \frac{sh \ \Theta}{\Theta} \\ \vec{I}_2 &= \vec{I}_1 \ ch \ \Theta - \vec{V}_1 \cdot \bar{Y} \frac{sh \ \Theta}{\Theta} \end{aligned} \quad (2.34)$$

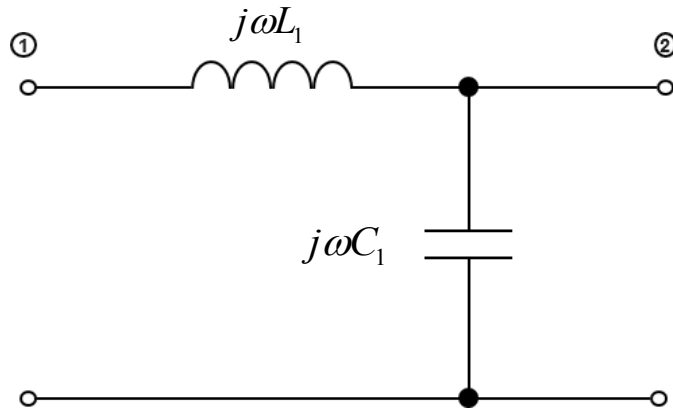
Analogno izrazu jednadžbe (2.34), dobiva se III<sub>b</sub> oblik prijenosnih jednadžbi:

$$\vec{V}_1 = \vec{V}_2 \operatorname{ch} \Theta + \vec{I}_2 \cdot \vec{Z} \frac{\operatorname{sh} \Theta}{\Theta} \quad (2.35)$$

$$\vec{I}_1 = \vec{I}_2 \operatorname{ch} \Theta + \vec{V}_2 \cdot \vec{Y} \frac{\operatorname{sh} \Theta}{\Theta}$$

## 2.8. Električne prilike na idealnom vodu

Idealni vod je vod kojem su sve četiri konstante jednake nuli tj. vod bez gubitaka ( $\mathbf{R}_1 = \mathbf{0}$ ,  $\mathbf{G}_1 = \mathbf{0}$ ).



Slika 2.8. Fizikalni prikaz idealnog voda

- Valna konstanta tj. konstanta prodiranja glasi:

$$\gamma = \sqrt{\bar{Z}_1 \cdot \bar{Y}_1} = \alpha + j\beta = \sqrt{j\omega L_1 \cdot j\omega C_1} = j\omega \sqrt{L_1 \cdot C_1} = j\beta_0 \quad (2.36)$$

S obzirom na jednadžbu (2.36), vrijedi sljedeći prijelaz:

$$e^{\gamma x} = e^{j\beta_0 x}$$

Analogno tome slijedi:

$$L_1 \cdot C_1 = \frac{1}{c^2} \quad (2.37)$$

Gdje je:  $c$  – brzina svjetlosti ( $c \approx 300\ 000\ km/s \approx 3 \cdot 10^8\ m/s$ )

Uzme li se frekvenciju  $f$  od  $50\ Hz$  te brzinu svjetlosti  $c$ , fazna konstanta  $\beta_0$  slijedi:

$$\beta_0 = \omega \sqrt{L_1 \cdot C_1} = \frac{\omega}{c} = \frac{2 \cdot \pi \cdot f}{300000} = \frac{2 \cdot \pi}{6000} = \frac{2\pi}{\lambda} \quad (2.38)$$

Zaključili smo da je dužina vala  $\lambda$  na idealnom zračnom vodu, uz frekvenciju  $f$  od  $50 \text{ Hz}$  iznosi  $6000 \text{ km}$ . Bez obzira na frekvenciju, fazna brzina uzduž idealnog zračnog voda jednak je brzini svjetlosti  $c$ .

- Karakteristična impedancija  $\bar{Z}_c$  kod idealnog voda:

$$\bar{Z}_c = \sqrt{\frac{\bar{Z}_1}{\bar{Y}_1}} = \sqrt{\frac{j\omega L_1}{j\omega C_1}} = \sqrt{\frac{L_1}{C_1}} = Z_v[\Omega] \quad (2.39)$$

Vidljivo je da su karakteristična impedancija  $\bar{Z}_c$  i valni otpor  $Z_v$ , kao realna veličina, jednaki.

Svojstvo samog voda, neovisan je o frekvenciji i obliku voda, prema tome to je čisti djelatni otpor. Valni otpor zračnih vodova iznosi oko  $400 \Omega$ .

Uvrsti li se jednakost  $\gamma = j\beta_0$ , dobije se:

$$\begin{aligned} ch \ \gamma x &= \cos \beta_0 x \\ sh \ \gamma x &= j \sin \beta_0 x \end{aligned} \quad (2.40)$$

Uvrsti li se jednakost  $\bar{Z}_c = Z_v$  u jednadžbu (2.32), dobije se:

$$\begin{aligned} \vec{V} &= \vec{V}_2 \ \cos \beta_0 x + j Z_v \vec{I}_2 \ \sin \beta_0 x \\ \vec{I} &= \vec{I}_2 \ \cos \beta_0 x + j \frac{\vec{V}_2}{Z_v} \sin \beta_0 x \end{aligned} \quad (2.41)$$

### 3. TOČAN I PRIBLIŽAN $\pi$ I T MODEL VODA

Elementi četveropola voda se u praksi raspoređuju po  $\Pi$  - shemi ili po T - shemi.

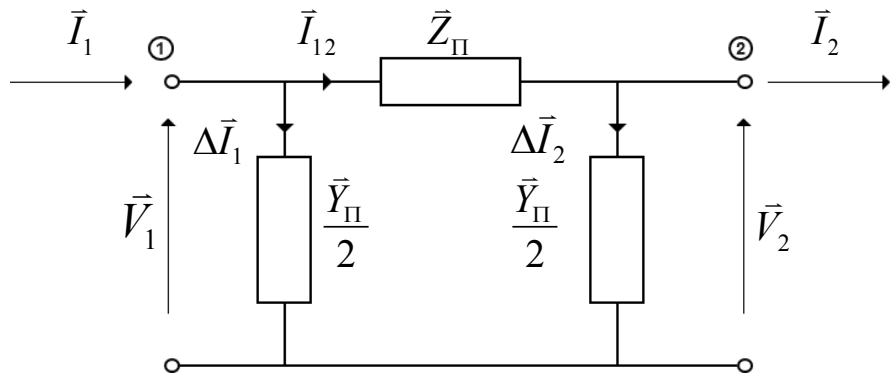
#### 3.1. Točan $\pi$ model voda

Korigiran (točan) model voda se koristi zbog valne prirode voda, kod vodova vrlo visokog naponu na velikim udaljenostima, za preciznije i točne proračune. Kod ovakvih proračuna najčešće se koristi neki od računalnih programa koji olakšavaju i ubrzavaju rad samog izračuna na potreban broj decimala, da se vidi razlika između točnog i približnog  $\pi$  modela elektroenergetskih vodova. Mora se znati da proračun polazi od osnovnih izraza za uzdužnu impedanciju  $Z$  i poprečne admitancije  $Y$  svih faznih vodiča.

Koristeći napon na početku voda  $\Pi_b$  oblika prijenosnih jednadžbi (2.32) uz jednakost  $x = \ell$  dolazi se do izraza:

$$\vec{V}_1 = \vec{V}_2 \ ch \ \gamma\ell + \vec{Z}_c \vec{I}_2 \ sh \ \gamma\ell \quad (3.1)$$

Jedan te isti napon mora se dobiti računajući četveropolom, koristeći sliku 3.1.:



Slika 3.1. Točan jednofazni  $\Pi$  model voda

Gdje je:

$\vec{Z}_\Pi$  impedancija uzdužne grane,

$\vec{Y}_\Pi$  admitancija poprečne grane.

Uz pomoć slike 3.1. dobiva se izraz za fazni napon  $V_I$  na početku voda:

$$\begin{aligned}\Delta \vec{I}_2 &= \vec{V}_2 \cdot \frac{\vec{Y}_{\Pi}}{2} \\ \vec{I}_{12} &= \vec{I}_2 + \Delta \vec{I}_2 \Rightarrow \quad \vec{I}_{12} = \vec{I}_2 + \vec{V}_2 \cdot \frac{\vec{Y}_{\Pi}}{2} \\ \vec{V}_1 &= \vec{V}_2 + \vec{I}_{12} \cdot \vec{Z}_{\Pi} \Rightarrow \quad \vec{V}_1 = \vec{V}_2 + \left( \vec{I}_2 + \vec{V}_2 \cdot \frac{\vec{Y}_{\Pi}}{2} \right) \cdot \vec{Z}_{\Pi} \\ \vec{V}_1 &= \vec{V}_2 \cdot \left( 1 + \frac{\vec{Y}_{\Pi}}{2} \cdot \vec{Z}_{\Pi} \right) + \vec{I}_2 \cdot \vec{Z}_{\Pi}\end{aligned}\tag{3.2}$$

Izjednači li se koeficijente jednadžbi (3.1) i (3.2), dobije se sljedeći izraz:

$$\begin{aligned}\vec{Z}_{\Pi} &= \vec{Z}_c \vec{I}_2 \text{ sh } \gamma \ell \\ 1 + \frac{\vec{Y}_{\Pi}}{2} \cdot \vec{Z}_{\Pi} &= 1 + \frac{\vec{Y}_{\Pi}}{2} \cdot \vec{Z}_c \text{ ch } \gamma \ell = \text{ch } \gamma \ell\end{aligned}\tag{3.3}$$

Analogno jednadžbama (3.3) dolazi se do veličine elemenata nadomjesne sheme koje se traže:

$$\begin{aligned}\vec{Z}_{\Pi} &= \vec{Z}_c \text{ sh } \gamma \ell \Rightarrow \quad \vec{Z}_{\Pi} = \vec{Z}_c \cdot \left( \frac{e^{+\gamma \ell} - e^{-\gamma \ell}}{2} \right) \\ \frac{\vec{Y}_{\Pi}}{2} &= \frac{1}{\vec{Z}_c} \cdot \frac{\text{ch } \gamma \ell - 1}{\text{sh } \gamma \ell} \Rightarrow \quad \frac{\vec{Y}_{\Pi}}{2} = \frac{1}{\vec{Z}_c} \cdot \frac{\left( \frac{e^{+\gamma \ell} + e^{-\gamma \ell}}{2} \right) - 1}{\left( \frac{e^{+\gamma \ell} - e^{-\gamma \ell}}{2} \right)}\end{aligned}\tag{3.4}$$

Karakteristična impedancija  $\vec{Z}_c$  i valna konstanta tj. konstanta prodiranja  $\gamma$  su izvedeni iz impedancije uzdužne grane  $\vec{Z}_{\Pi}$  i admitancije poprečne grane  $\vec{Y}_{\Pi}$  [19].

### 3.1.1. Korekcijski oblici $\pi$ modela voda

Koristeći se karakterističnu impedanciju  $\vec{Z}_c$  u izrazu (2.2) i (2.22), uz uvjet da je impedancija  $\vec{Z} = \vec{Z}_1 \cdot \ell$ , dobije se:

$$\vec{Z}_c = \sqrt{\frac{\vec{Z}}{\vec{Y}}} = \frac{\vec{Z}}{\Theta} = \frac{\frac{\vec{Z}}{2}}{\frac{\Theta}{2}}\tag{3.5}$$

Uzme li se karakterističnu admitanciju  $\frac{1}{\bar{Z}_c}$  u izrazu (2.2) i (2.22), uz uvjet da je admitancija  $\vec{Y} = \vec{Y}_1 \cdot \ell$ , dobije se:

$$\frac{1}{\bar{Z}_c} = \frac{\vec{Y}}{\Theta} = \frac{\frac{\vec{Y}}{2}}{\frac{\Theta}{2}} \quad (3.6)$$

Uvezši u obzir uvjet da je konstanta prodiranja  $\Theta = \sqrt{\bar{Z} \cdot \bar{Y}}$ , dobije se:

$$\frac{ch \gamma \ell - 1}{sh \gamma \ell} = th \frac{\Theta}{2} \quad (3.7)$$

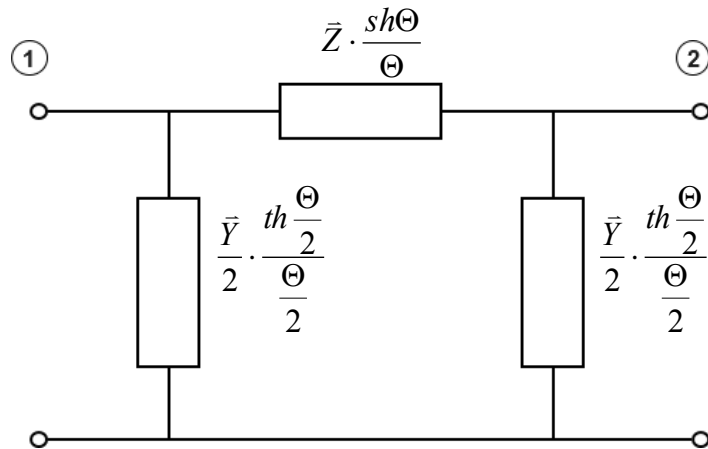
Uvrsti li se izraz (3.5) u (3.4), dobije se:

$$\bar{Z}_{\Pi} = \bar{Z}_c sh \gamma \ell = \bar{Z} \cdot \frac{sh \Theta}{\Theta} \Rightarrow \bar{Z}_{\Pi} = \bar{Z} \cdot \frac{\frac{e^{+\Theta} - e^{-\Theta}}{2}}{\Theta} \quad (3.8)$$

Uvrstivši izraz (3.6) u (3.4), dobije se:

$$\frac{\bar{Y}_{\Pi}}{2} = \frac{1}{\bar{Z}_c} \cdot \frac{ch \gamma \ell - 1}{sh \gamma \ell} = \frac{\frac{\bar{Y}}{2}}{\frac{\Theta}{2}} \cdot \frac{ch \Theta - 1}{sh \Theta} = \frac{\bar{Y}}{2} \cdot \frac{th \Theta / 2}{\Theta / 2} \quad (3.9)$$

Dobivši jednadžbe (3.8) te (3.9) dolazi se do shematskog modela s koncentriranim parametrima slika 3.2.:



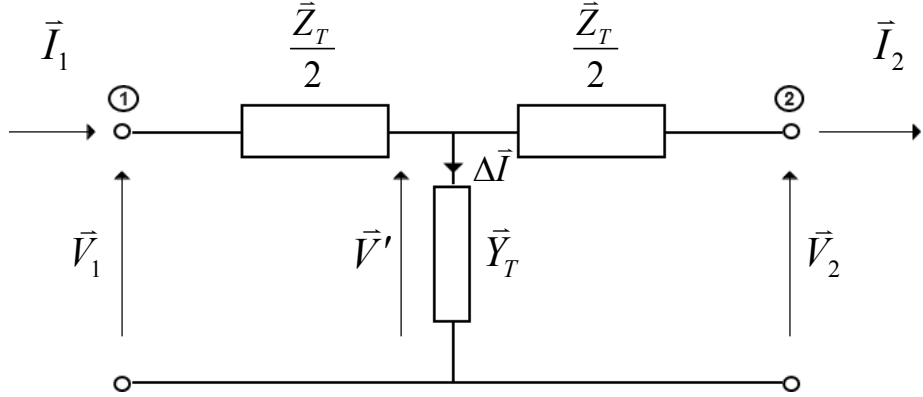
Slika 3.2. Točan nadomjesni  $\Pi$  model voda

### 3.2. Točan T model voda

Koristi li se struju na početku voda  $I_1$  oblika prijenosnih jednadžbi (2.21) uz jednakost  $x = \ell$  dolazi se do izraza:

$$\bar{I}_1 = \bar{I}_2 \ ch \ \gamma\ell + \vec{V}_2 \cdot \frac{1}{\bar{Z}_c} sh \ \gamma\ell \quad (3.10)$$

Jednu te istu struju mora se dobiti računajući četveropolom, koristeći sliku 3.3.:



Slika 3.3. Točan jednofazni T model voda

Gdje je:

$\bar{Z}_T$  impedancija uzdužne grane,

$\bar{Y}_T$  admitancija poprečne grane.

Uz pomoć slike 3.3. dobiva se izraz za struju  $I_1$  na početku voda:

$$\begin{aligned} \vec{V}' &= \vec{V}_2 + \bar{I}_2 \cdot \frac{\bar{Z}_T}{2} \\ \Delta \bar{I} &= \vec{V}' \cdot \bar{Y}_T \Rightarrow \quad \Delta \bar{I} = \left( \vec{V}_2 + \bar{I}_2 \cdot \frac{\bar{Z}_T}{2} \right) \cdot \bar{Y}_T \\ \bar{I}_1 &= \bar{I}_2 + \Delta \bar{I} \Rightarrow \quad \bar{I}_1 = \bar{I}_2 + \vec{V}_2 \cdot \bar{Y}_T + \bar{I}_2 \cdot \frac{\bar{Z}_T}{2} \cdot \bar{Y}_T \\ \bar{I}_1 &= \bar{I}_2 \cdot \left( 1 + \frac{\bar{Z}_T}{2} \cdot \bar{Y}_T \right) + \vec{V}_2 \cdot \bar{Y}_T \end{aligned} \quad (3.11)$$

Izjednači li se koeficijente jednadžbi (3.10) i (3.11), dobije se sljedeći izraz:

$$\begin{aligned} \vec{Y}_T &= \frac{1}{\bar{Z}_c} sh \gamma \ell \\ 1 + \frac{\bar{Z}_T}{2} \cdot \vec{Y}_T &= 1 + \frac{\bar{Z}_T}{2} \cdot \frac{1}{\bar{Z}_c} sh \gamma \ell = ch \gamma \ell \end{aligned} \quad (3.12)$$

Analogno jednadžbama (3.12) dolazi se do veličine elemenata nadomjesne sheme koja se traže:

$$\begin{aligned} \vec{Y}_T &= \frac{1}{\bar{Z}_c} sh \gamma \ell \Rightarrow \quad \vec{Y}_T = \frac{1}{\bar{Z}_c} \cdot \left( \frac{e^{+\gamma \ell} - e^{-\gamma \ell}}{2} \right) \\ \frac{\bar{Z}_T}{2} &= \bar{Z}_c \cdot \frac{ch \gamma \ell - 1}{sh \gamma \ell} \Rightarrow \quad \frac{\bar{Z}_T}{2} = \bar{Z}_c \cdot \frac{\left( \frac{e^{+\gamma \ell} + e^{-\gamma \ell}}{2} \right) - 1}{\left( \frac{e^{+\gamma \ell} - e^{-\gamma \ell}}{2} \right)} \end{aligned} \quad (3.13)$$

Impedancija uzdužne grane  $\bar{Z}_T$  i admitancija poprečne grane  $\vec{Y}_T$  izvedene su iz jediničnih konstanti voda [19].

### 3.2.1. Korekcijski oblici T modela voda

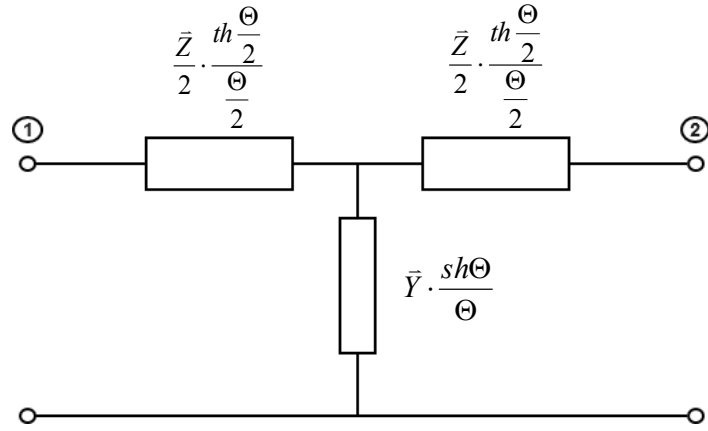
Uvrsti li se izraz (3.5) u (3.13), dobije se:

$$\vec{Y}_T = \frac{1}{\bar{Z}_c} sh \gamma \ell = \vec{Y} \cdot \frac{sh \Theta}{\Theta} \Rightarrow \quad \vec{Y}_T = \vec{Y} \cdot \frac{\frac{e^{+\Theta} - e^{-\Theta}}{2}}{\Theta} \quad (3.14)$$

Uvrsti li se izraz (3.6) u (3.13), dobije se:

$$\frac{\bar{Z}_T}{2} = \bar{Z}_c \cdot \frac{ch \gamma \ell - 1}{sh \gamma \ell} = \frac{\bar{Z}/2}{\Theta/2} \cdot \frac{ch \Theta - 1}{sh \Theta} = \frac{\bar{Z}}{2} \cdot \frac{th \Theta/2}{\Theta/2} \quad (3.15)$$

Dobivši jednadžbe (3.14) te (3.15) dolazi se do shematskog modela s koncentriranim parametrima slika 3.4.:



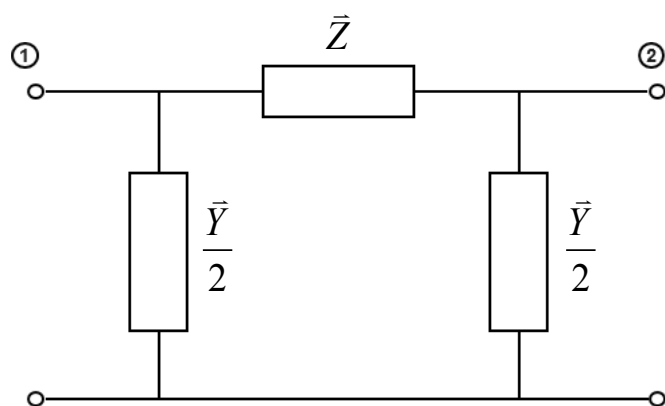
Slika 3.4. Točan nadomjesni T model voda

### 3.3. Približan $\pi$ i T model voda

Veličine elemenata približnog  $\pi$  modela voda:

$$\bar{Z}_\Pi = \bar{Z} = \bar{Z}_1 \cdot \ell \quad [\Omega] \quad (3.16)$$

$$\frac{\bar{Y}_\Pi}{2} = \frac{\bar{Y}}{2} = \frac{\bar{Y}_1}{2} \cdot \ell \quad [S]$$

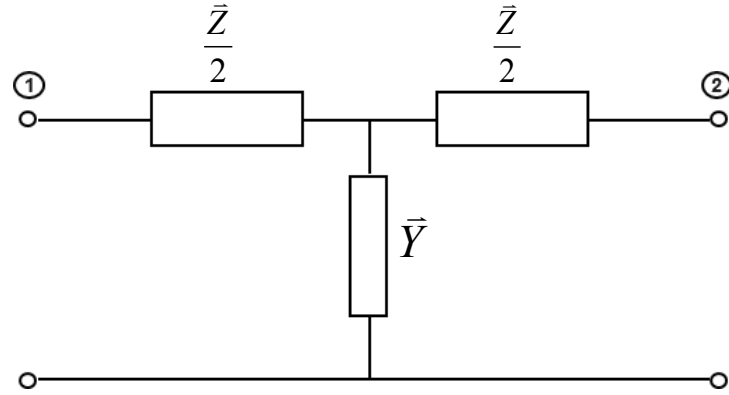


Slika 3.5. Približan jednofazni  $\Pi$  model voda

Veličine elemenata približnog T modela voda:

$$\vec{Y}_T = \vec{Y} = \vec{Y}_1 \cdot \ell [S] \quad (3.17)$$

$$\frac{\vec{Z}_T}{2} = \frac{\vec{Z}}{2} = \frac{\vec{Z}_1}{2} \cdot \ell [\Omega]$$



Slika 3.6. Približan jednofazni T model voda

Kod kraćih vodova duljine  $\ell < 200 \text{ km}$  se zanemaruje korekcijske faktore  $\frac{sh\Theta}{\Theta}$  i  $\frac{th\Theta/2}{\Theta/2}$ ,

kao što je vidljivo na slikama 3.5. te 3.6., gdje greška  $\Delta$  ne prelazi 0,5%. Zanemaruju se jer su približno jednaki jedan:

$$sh \Theta \approx \Theta, \quad ch \Theta \approx 1, \quad th \Theta \approx \Theta \quad (3.18)$$

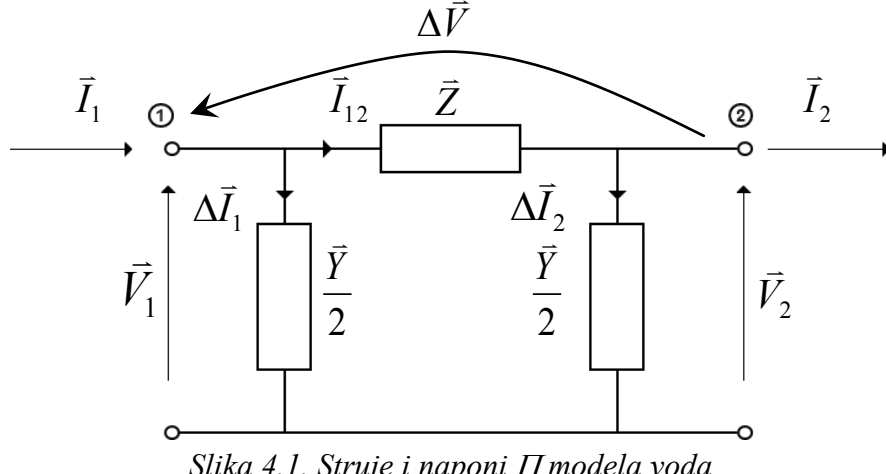
$$\frac{sh \Theta}{\Theta} \approx 1 \quad (3.19)$$

$$\frac{th \Theta/2}{\Theta/2} \approx 1$$

## 4. PRORAČUN PRIJENOSA POMOĆU $\pi$ i T MODELA VODA

### 4.1. Proračun prijenosa pomoću $\pi$ modela voda

U proračunu prijenosa pomoću  $\pi$  modela voda prikazati će se, uz pomoć slike 4.1. dvije prilike na vodu.



Slika 4.1. Struje i naponi  $\Pi$  modela voda

Jedna od prilika na vodu je, ako su zadane prilike na početku voda linijski napon  $U_1$ , trofazna djelatna snaga  $P_1$  i trofazna jalova snaga  $Q_1$ . Struju na početku voda  $\bar{I}_1$  dobiti će se pomoću prividne snage na ulazu  $\bar{S}_1$ . Fazni napon  $\bar{V}_1$  dobije se tako da se linijski napon  $U_1$  podijeli sa  $\sqrt{3}$ .

$$\bar{S}_1 = P_1 + jQ_1 = 3 \cdot \bar{V}_1 \cdot \bar{I}_1^* \Rightarrow \quad \bar{I}_1 = \frac{P_1 - jQ_1}{3 \cdot \bar{V}_1} = \frac{\bar{S}_1^*}{3 \cdot \bar{V}_1} \quad (4.1)$$

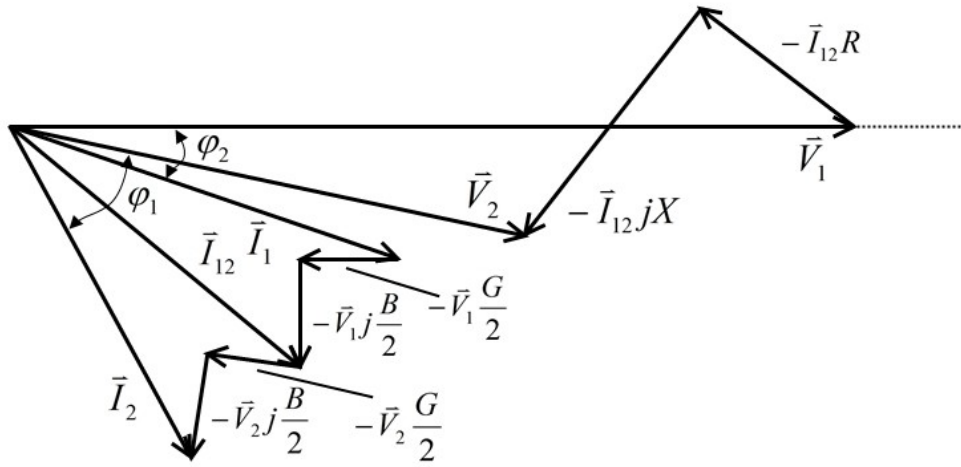
Proračun izgleda ovako:

$$\begin{aligned} \Delta\bar{I}_1 &= \bar{V}_1 \cdot \frac{\bar{Y}}{2} \\ \bar{I}_{12} &= \bar{I}_1 - \Delta\bar{I}_1 \end{aligned} \quad (4.2)$$

$$\begin{aligned} \bar{V}_2 &= \bar{V}_1 - \Delta\bar{V} = \bar{V}_1 - \bar{I}_{12} \cdot \bar{Z} \\ \Delta\bar{I}_2 &= \bar{V}_2 \cdot \frac{\bar{Y}}{2} \end{aligned} \quad (4.3)$$

$$\bar{I}_2 = \bar{I}_{12} - \Delta\bar{I}_2$$

Prepostavi se da se radi o induktivnoj jalovoj snazi na početku voda  $Q_1$ . Vektorski dijagram prikazan je na slici 4.2. Na slikama 4.2., 4.3., 4.5. i 4.6. vrijednosti rezistancije  $R$  i konduktancije  $G$  namjerno su prenaglašene, radi bolje preglednosti vektorskog prikaza.



Slika 4.2. Vektorski dijagram na početku voda za zadane prilike

Druga od prilika na vodu je, ako su zadane prilike na kraju voda linijski napon  $U_2$ , trofazne djelatne snage  $P_2$  i trofazne jalove snage  $Q_2$ . Mora se znati da li je prividna snaga  $S_2$  kapacitivna ili induktivna. Potrebno je izračunati fazni napon jer se računa za jednu fazu. Struju na kraju voda  $\bar{I}_2$  dobiti će se pomoću prividne snage na ulazu  $\bar{S}_2$ . Fazni napon  $\bar{V}_2$  dobije se tako da se linijski napon  $U_2$  podijeli sa  $\sqrt{3}$ .

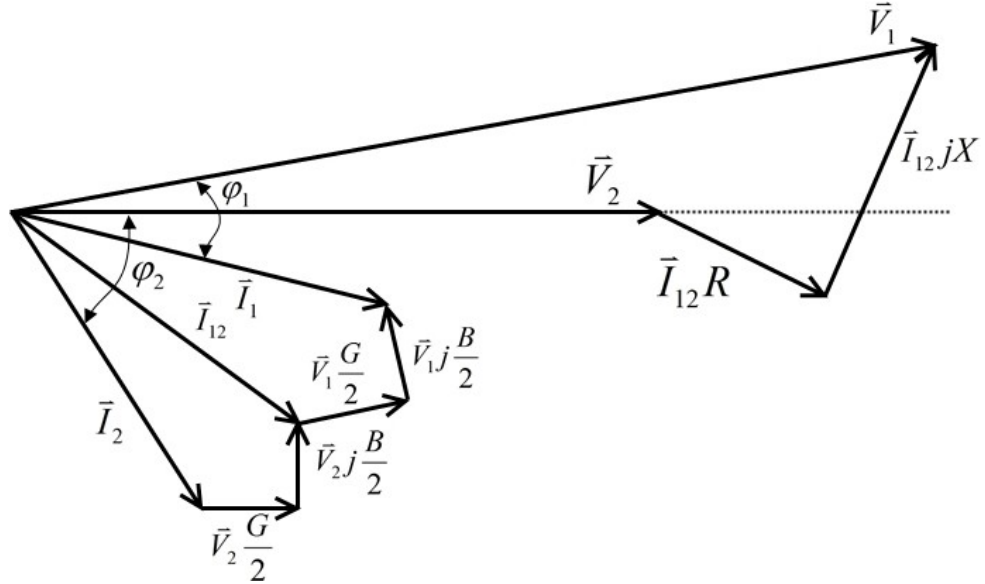
$$\bar{S}_2 = P_2 + jQ_2 = 3 \cdot \bar{V}_2 \cdot \bar{I}_2^* \Rightarrow \bar{I}_2 = \frac{P_2 - jQ_2}{3 \cdot \bar{V}_2} = \frac{\bar{S}_2^*}{3 \cdot \bar{V}_2} \quad (4.4)$$

Proračun izgleda ovako:

$$\begin{aligned} \Delta\bar{I}_2 &= \bar{V}_2 \cdot \frac{\bar{Y}}{2} \\ \bar{I}_{12} &= \bar{I}_2 + \Delta\bar{I}_2 \end{aligned} \quad (4.5)$$

$$\begin{aligned} \bar{V}_1 &= \bar{V}_2 + \Delta\bar{V} = \bar{V}_2 + \bar{I}_{12} \cdot \bar{Z} \\ \Delta\bar{I}_1 &= \bar{V}_1 \cdot \frac{\bar{Y}}{2} \\ \bar{I}_1 &= \bar{I}_{12} + \Delta\bar{I}_1 \end{aligned} \quad (4.6)$$

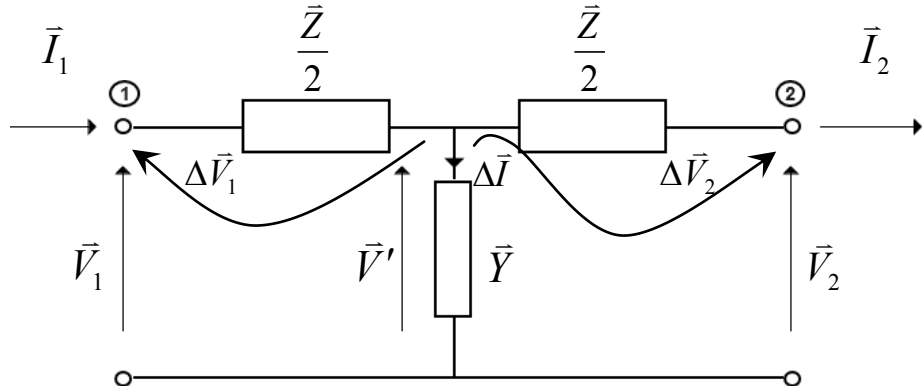
Prepostavi se da se radi o induktivnoj jalovoj snazi na kraju voda  $Q_2$ . Vektorski dijagram prikazan je na slici 4.3.



Slika 4.3. Vektorski dijagram na kraju voda za zadane prilike

#### 4.2. Proračun prijenosa pomoću T modela voda

U proračunu prijenosa pomoću T modela voda prikazani su uz pomoć slike 4.4. za dvije prilike na vodu.



Slika 4.4. Struje i naponi T modela voda

Jedna od prilika na vodu je, ako su zadane prilike na početku voda linijski napon  $U_1$ , trofazne djelatne  $P_1$  i jalove snage  $Q_1$ . Struju na početku voda  $\vec{I}_1$  dobije se pomoću prividne snage na ulazu  $\vec{S}_1$ . Fazni napon  $\vec{V}_1$  dobije se tako da se linijski napon  $U_1$  podijeli sa  $\sqrt{3}$ .

$$\vec{S}_1 = P_1 + jQ_1 = 3 \cdot \vec{V}_1 \cdot \vec{I}_1^* \Rightarrow \quad \vec{I}_1 = \frac{P_1 - jQ_1}{3 \cdot \vec{V}_1} = \frac{\vec{S}_1^*}{3 \cdot \vec{V}_1} \quad (4.7)$$

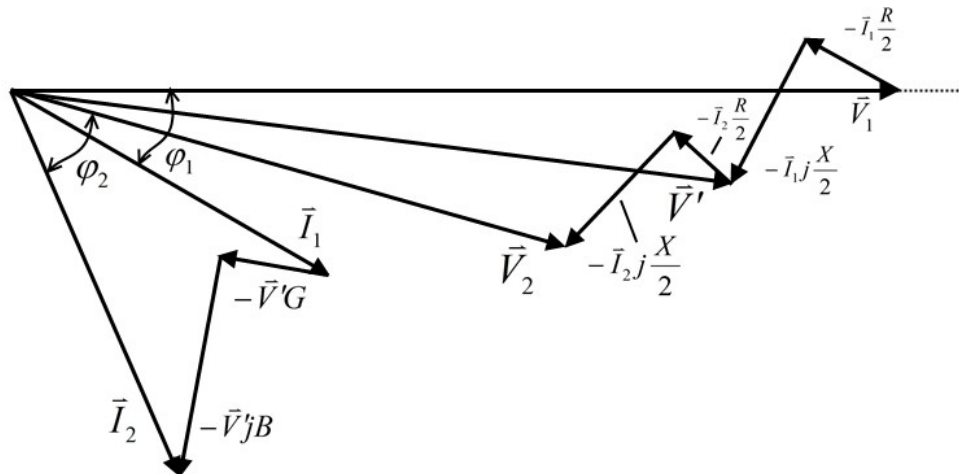
Proračun pomoću kojih se dobiva struja  $I_2$  i fazni napon  $V_2$  na kraju voda, izgleda ovako:

$$\begin{aligned}\bar{V}' &= \bar{V}_1 - \Delta \bar{V}_1 \\ \bar{V}' &= \bar{V}_1 - \vec{I}_1 \cdot \frac{\bar{Z}}{2}\end{aligned}\tag{4.8}$$

$$\begin{aligned}\Delta \vec{I} &= \vec{V}' \cdot \vec{Y} \\ \vec{I}_2 &= \vec{I}_1 - \Delta \vec{I}\end{aligned}\tag{4.9}$$

$$\vec{V}_2 = \vec{V}' - \Delta \vec{V}_2 = \vec{V}' - \vec{I}_2 \cdot \frac{\vec{Z}}{2}$$

Prepostavi se da se radi o induktivnoj jalovoj snazi na početku voda  $Q_I$ . Vektorski dijagram prikazan je na slici 4.5.



Slika 4.5. Vektorski dijagram na početku voda za zadane prilike

Druga od prilika na vodu je, ako su zadane prilike na kraju voda linijski napon  $U_2$ , trofaznu djelatnu ili radnu snagu  $P_2$  i trofaznu jalovu snagu  $Q_2$ . Mora se znati da li je prividna snaga  $P_2$  kapacitivna ili induktivna. Potrebno je izračunati fazni napon jer se računa za jednu fazu. Struju na kraju voda  $\bar{I}_2$  računa se pomoću prividne snage na ulazu  $\bar{S}_2$ . Fazni napon  $\vec{V}_2$  dobije se tako da se linijski napon  $U_2$  podijeli sa  $\sqrt{3}$  [20].

$$\vec{S}_2 = P_2 + jQ_2 = 3 \cdot \vec{V}_2 \cdot \vec{I}_2^* \Rightarrow \quad \vec{I}_2 = \frac{P_2 - jQ_2}{3 \cdot \vec{V}_2} = \frac{\vec{S}_2^*}{3 \cdot \vec{V}_2} \quad (4.10)$$

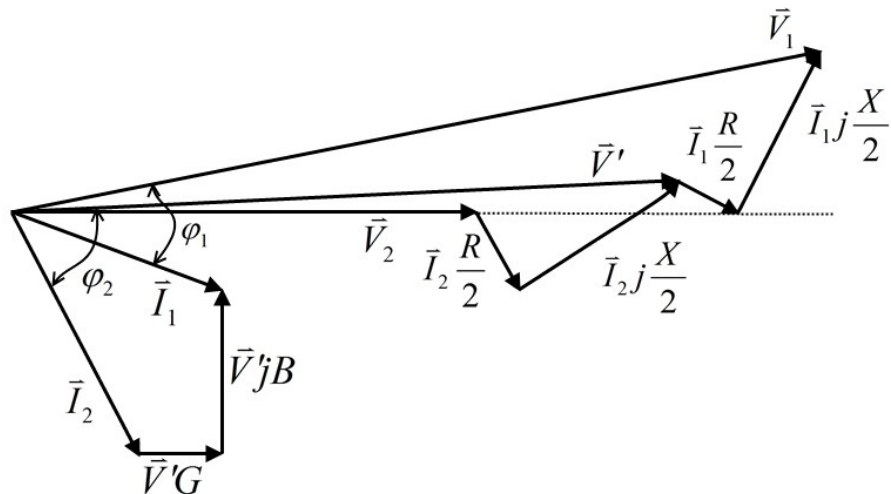
Proračun pomoću kojih se dobiva struja  $I_1$  i fazni napon  $V_1$  na početku voda, izgleda ovako:

$$\begin{aligned}\vec{V}' &= \vec{V}_2 + \Delta \vec{V}_2 \\ \vec{V}' &= \vec{V}_2 + \vec{I}_2 \cdot \frac{\vec{Z}}{2}\end{aligned}\tag{4.11}$$

$$\begin{aligned}\Delta \vec{I} &= \vec{V}' \cdot \vec{Y} \\ \vec{I}_1 &= \vec{I}_2 + \Delta \vec{I}\end{aligned}\tag{4.12}$$

$$\vec{V}_1 = \vec{V}' + \Delta \vec{V}_1 = \vec{V}' + \vec{I}_1 \cdot \frac{\vec{Z}}{2}$$

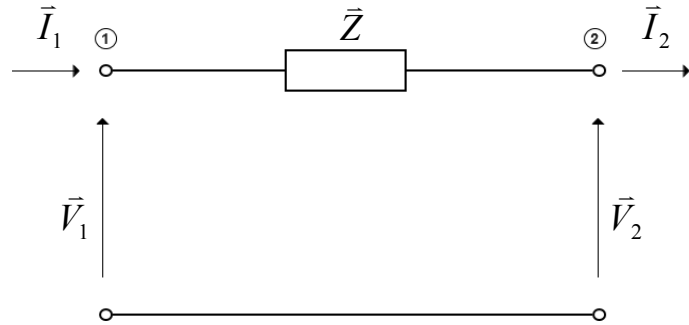
Prepostavi se da se radi o induktivnoj jalovoj snazi na kraju voda  $Q_2$ . Vektorski dijagram prikazan je na slici 4.6.



Slika 4.6. Vektorski dijagram na kraju voda za zadane prilike

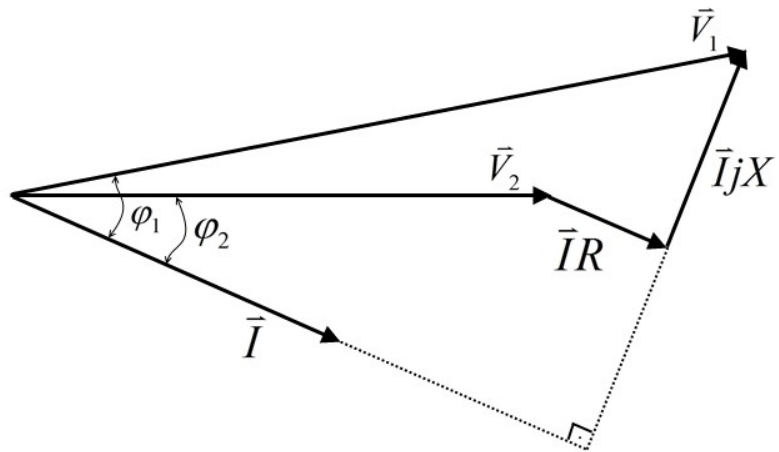
### 4.3. Proračun prijenosa kod vodova srednjeg napona

$$\begin{aligned}\bar{I} &= \bar{I}_1 = \bar{I}_2 \\ \vec{V}_1 &= \vec{V}_2 + \bar{I} \cdot \vec{Z} \\ \vec{Z} &= R + jX\end{aligned}\tag{4.13}$$



Slika 4.7. Približan nadomjesni model voda srednjeg napona

Vektorski dijagram struje i napona prikazan je na slici 4.8.:

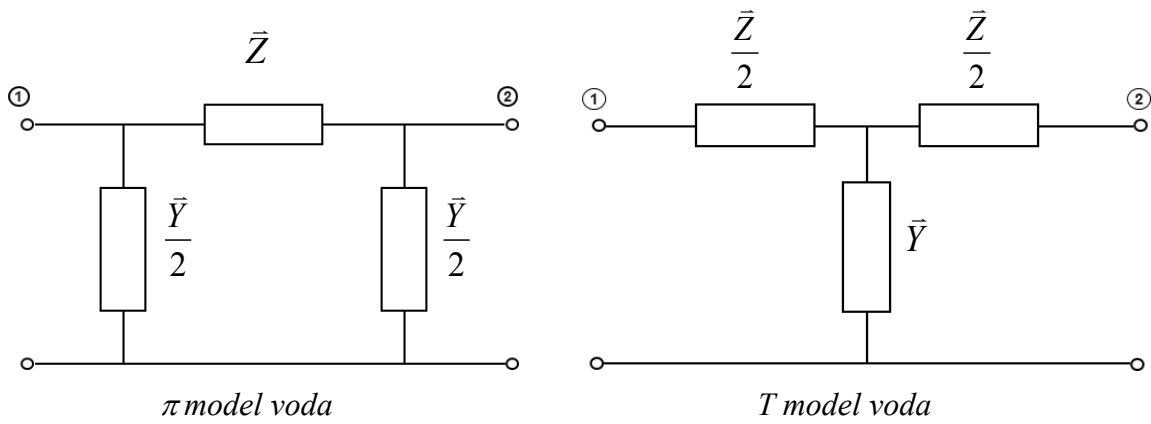


Slika 4.8. Vektorski dijagram struje i napona kod voda srednjeg napona

## 5. ANALIZA VODOVA RAZLIČITIH NAPONSKIH NIVOA POMOĆU TOČNOG I PRIBLIŽNOG $\pi$ MODELA

U *poglavlju 3.3*, spominje se zanemarivanje za korekcijske faktore  $\frac{sh\Theta}{\Theta}$  i  $\frac{th\Theta/2}{\Theta/2}$ , kod kraćih vodova duljine  $\ell < 200 \text{ km}$ . U ovom poglavlju se govori o tome što se zanemaruje na različitim udaljenostima elektroenergetskih vodova na različitim naponskim razinama.

### 5.1. Vodovi vrlo visokog napona



*Slika 5.1. Približni nadomjesni modeli voda*

Uz pomoć slike 5.1. kod  $\pi$  modela voda, dobiva se sljedeće izraze:

$$\bar{Z} = R + jX = R + j\omega L = R + j2\cdot\pi\cdot f\cdot L \quad (5.1)$$

$$\frac{\bar{Y}}{2} = \frac{G}{2} + j\frac{B}{2} = \frac{G}{2} + j\frac{\omega C}{2} = \frac{G}{2} + j\frac{2\cdot\pi\cdot f\cdot C}{2} \quad (5.2)$$

Gdje je:  $\bar{Z}$  impedancija tj. uzdužni prividni otpor,

$\bar{Y}$  admitancija tj. poprečna prividna vodljivost,

$X$  reaktancija tj. uzdužni induktivni otpor,

$G$  konduktancija ili odvod voda,

$B$  susceptancija tj. poprečna kapacitivna vodljivost.

Odnosno kod T modela voda:

$$\frac{\bar{Z}}{2} = \frac{R}{2} + j\frac{X}{2} = \frac{R}{2} + j\frac{\omega L}{2} = \frac{R}{2} + j\frac{2\cdot\pi\cdot f\cdot L}{2} \quad (5.3)$$

$$\bar{Y} = G + jB = G + j\omega C = G + j2\cdot\pi\cdot f\cdot C \quad (5.4)$$

### 5.1.1. Primjer proračuna približnog i točnog $\pi$ modela voda kod vrlo visokog napona

Kod nadzemnog elektroenergetskog voda vrlo visokog napona uzet je nazivni napon **400 kV**. Zbog lakše usporedbe, izračun je prikazan tabličnim i grafičkim prikazom.

Valja napomenuti da se izračunata impedancija  $\bar{Z}$  te admitancija  $\bar{Y}$  elektroenergetskog voda dobiva u kompleksnom broju, pošto je kut isti zbog istih zadanih jediničnih vrijednosti, zanemaruje se. Zbog istog kuta uzima se modul impedancije  $|Z|$ ,  $\pi$  - modul impedancije  $|Z_{\Pi}|$ , admitancije  $|Y|$  te  $\pi$  - modul admitancije  $|Y_{\Pi}|$  elektroenergetskog voda, izračunatih impedancija  $\bar{Z}$  i admitancija  $\bar{Y}$  elektroenergetskog voda, pomoću kojih se dobiva linearni graf.

$$R = R_1 \cdot \ell, \quad X_1 = \omega L_1 = 2 \cdot \pi \cdot f \cdot L_1, \quad X = X_1 \cdot \ell, \quad |Z| = \sqrt{(\text{Re})^2 + (\text{Im})^2} \quad (5.5)$$

$$G = G_1 \cdot \ell, \quad B_1 = \omega C_1 = 2 \cdot \pi \cdot f \cdot C_1, \quad B = B_1 \cdot \ell, \quad |Y| = \sqrt{(\text{Re})^2 + (\text{Im})^2} \quad (5.6)$$

- **Približan  $\pi$ -model voda**

Računajući s približnim  $\pi$  modelom voda, duljina voda mijenja se svakih 20 km. Uz pomoć izraza (5.1), (5.2), (5.5) i (5.6) te slike 5.1., izračuna se impedancija  $\bar{Z}$  i admitancija  $\bar{Y}$  elektroenergetskog voda, ako su zadani sljedeći podaci:

- jedinični otpor  **$R_1 = 0,01 \Omega/km$** ;
- jedinični induktivitet  **$L_1 = 1,7 mH/km$** ;
- jedinični kapacitet  **$C_1 = 8,5 nF/km$** ;
- jedinični odvod  **$G_1 = 80 nS/km$** .

*Ako je duljina voda 100 km slijedi:*

$$R = 0,01 \Omega/km \cdot 100 km = 1 \Omega, \quad X_1 = 2 \cdot \pi \cdot 50 Hz \cdot 1,7 \cdot 10^{-3} H/km = 0,53407 \Omega/km,$$

$$X = 0,53407 \Omega/km \cdot 100 km = 53,40708 \Omega,$$

$$\bar{Z} = 1 + j53,40708 \Omega = 53,41644 \angle 88,92731^\circ \Omega,$$

$$|Z| = \sqrt{(\text{Re})^2 + (\text{Im})^2} = 53,41644123 \Omega,$$

$$G = 80 \cdot 10^{-9} S/km \cdot 100 km = 0,8 \cdot 10^{-5} S,$$

$$B_1 = 2 \cdot \pi \cdot 50 Hz \cdot 8,5 \cdot 10^{-9} F/km = 0,26703 \cdot 10^{-5} S/km,$$

$$B = 2,670354 \cdot 10^{-6} S/km \cdot 100 km = 26,70537 \cdot 10^{-5} S,$$

$$\frac{\bar{Y}}{2} = \frac{0,8 \cdot 10^{-5}}{2} + j \frac{26,70537 \cdot 10^{-5}}{2} S = 0,4 \cdot 10^{-5} + j13,35268 \cdot 10^{-5} S ,$$

$$|Y| = \sqrt{(\text{Re})^2 + (\text{Im})^2} = 1,335866996 \cdot 10^{-4} S = 13,35866996 \cdot 10^{-5} S .$$

Dobiveni rezultati prikazani su u tablici 5.1. analogno tablici grafički prikaz, prikazan je na slikama 5.2. i 5.3.

*Tablica 5.1. Rezultati približnog π modela voda kod nazivnog napona 400 kV*

|              | R/Ω | X/Ω       | Z /Ω      | G[·10 <sup>-5</sup> S] | B[·10 <sup>-5</sup> S] | Y ·10 <sup>-5</sup> S] |
|--------------|-----|-----------|-----------|------------------------|------------------------|------------------------|
| <b>100km</b> | 1   | 53,40708  | 53,41644  | 0,8                    | 26,70537               | 13,35867               |
| <b>120km</b> | 1,2 | 64,08852  | 64,09975  | 0,96                   | 32,04424               | 16,02931               |
| <b>140km</b> | 1,4 | 74,76994  | 74,78305  | 1,12                   | 37,38495               | 18,70086               |
| <b>160km</b> | 1,6 | 85,45136  | 85,46634  | 1,28                   | 42,72566               | 21,37241               |
| <b>180km</b> | 1,8 | 96,13278  | 96,14963  | 1,44                   | 48,06636               | 24,04396               |
| <b>200km</b> | 2   | 106,81414 | 106,83286 | 1,6                    | 53,40707               | 26,71552               |

- **Točan π - model voda**

Računajući s točnim π modelom voda, duljina voda mijenja se svakih 20 km. Uz pomoć izraza (5.1), (5.2), (5.5) i (5.6) te slike 5.1., izračuna se π - impedancije  $\bar{Z}_\Pi$  i π - admitancije  $\bar{Y}_\Pi$  elektroenergetskog voda, ako su zadani sljedeći podaci:

- jedinični otpor **R<sub>1</sub> = 0,01 Ω/km**;
- jedinični induktivitet **L<sub>1</sub> = 1,7 mH/km**;
- jedinični kapacitet **C<sub>1</sub> = 8,5 nF/km**;
- jedinični odvod **G<sub>1</sub> = 80 nS/km**.

*Ako je duljina voda 100 km slijedi:*

$$R = 0,01 \Omega/km \cdot 100 km = 1 \Omega, \quad X_1 = 2 \cdot \pi \cdot 50Hz \cdot 1,7 \cdot 10^{-3} H/km = 0,53407 \Omega/km,$$

$$X = 0,53407 \Omega/km \cdot 100 km = 53,40708 \Omega,$$

$$\bar{Z} = 1 + j53,40708 \Omega = 53,41644 \angle 88,92731^\circ \Omega,$$

$$\bar{\Theta} = \gamma \cdot \ell = (2,906842466 \cdot 10^{-5} + j1,194237334 \cdot 10^{-3}) \cdot 100 = 0,002907 + j0,119237 ,$$

$$sh \bar{\Theta} = \frac{e^{0,002907} - e^{-0,002907}}{2} \cdot \cos(0,119237) + j \left[ \left( \frac{e^{0,002907} + e^{-0,002907}}{2} \right) \cdot \sin(0,119237) \right]$$

$$sh \bar{\Theta} = 2,886363456 \cdot 10^{-3} + j0,1189551621,$$

$$\bar{Z}_{\Pi} = Z \cdot \frac{sh \bar{\Theta}}{\bar{\Theta}} = 0,991471584 + j53,280808 \Omega ,$$

$$|Z_{\Pi}| = \sqrt{(\text{Re})^2 + (\text{Im})^2} = 53,29003206 \Omega ,$$

$$G = 80 \cdot 10^{-9} S/km \cdot 100 km = 0,8 \cdot 10^{-5} S,$$

$$B_1 = 2 \cdot \pi \cdot 50 Hz \cdot 8,5 \cdot 10^{-9} F/km = 0,26703 \cdot 10^{-5} S/km,$$

$$B = 2,670354 \cdot 10^{-6} S/km \cdot 100 km = 26,70537 \cdot 10^{-5} S,$$

$$\frac{\bar{Y}}{2} = \frac{0,8 \cdot 10^{-5}}{2} + j \frac{26,70537 \cdot 10^{-5}}{2} S = 0,4 \cdot 10^{-5} + j13,35268 \cdot 10^{-5} S ,$$

$$\bar{\Theta} = 0,002907 + j0,119237 \Rightarrow \frac{\bar{\Theta}}{2} = 0,001454 + j0,059619 ,$$

$$sh \bar{\Theta} = \frac{e^{0,002907} - e^{-0,002907}}{2} \cdot \cos(0,119237) + j \left[ \left( \frac{e^{0,002907} + e^{-0,002907}}{2} \right) \cdot \sin(0,119237) \right]$$

$$sh \bar{\Theta} = 2,886363456 \cdot 10^{-3} + j0,1189551621,$$

$$ch \bar{\Theta} = \frac{e^{0,002907} + e^{-0,002907}}{2} \cdot \cos(0,119237) + j \left[ \left( \frac{e^{0,002907} - e^{-0,002907}}{2} \right) \cdot \sin(0,119237) \right]$$

$$ch \bar{\Theta} = 0,9929038826 + j3,458016823 \cdot 10^{-4} ,$$

$$\tanh \frac{\bar{\Theta}}{2} = \frac{ch \bar{\Theta} - 1}{sh \bar{\Theta}} = 1,45868646 \cdot 10^{-3} + j0,05968910931 ,$$

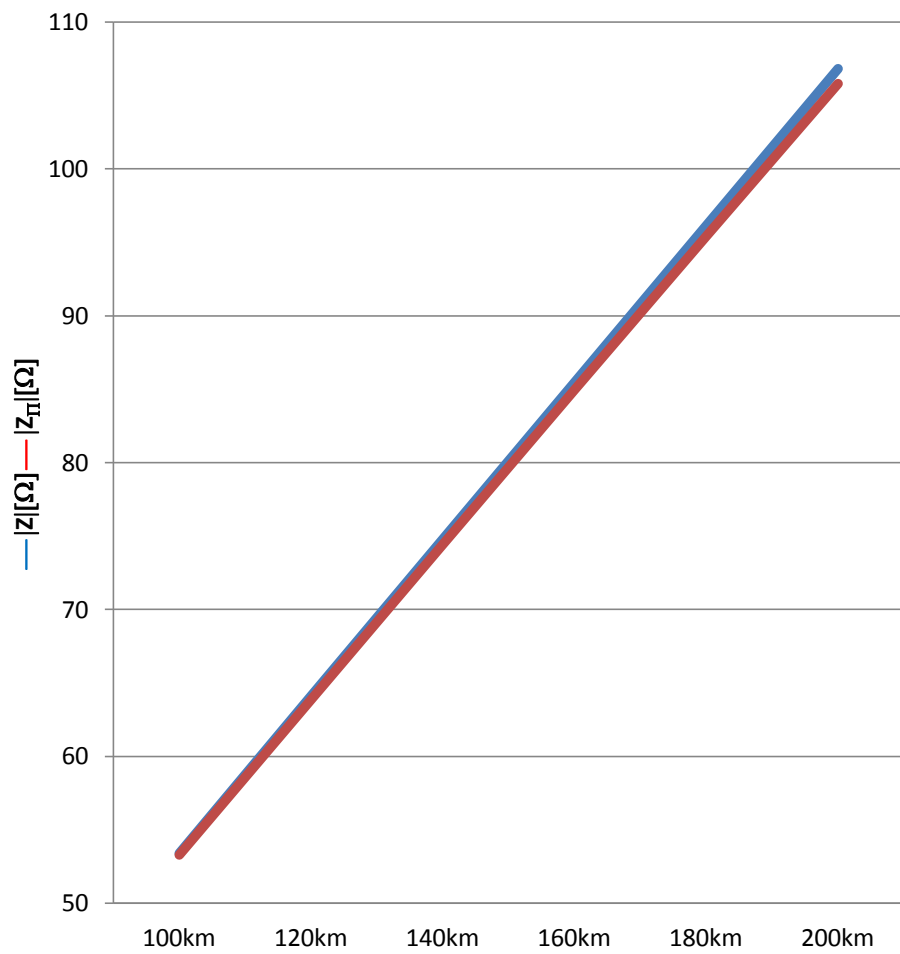
$$\frac{\bar{Y}_{\Pi}}{2} = \frac{\bar{Y}}{2} \cdot \frac{\tanh \frac{\bar{\Theta}}{2}}{\frac{\bar{\Theta}}{2}} = 4,011371371 \cdot 10^{-6} + j1,336837845 \cdot 10^{-4} S ,$$

$$|Y_{\Pi}| = \sqrt{(\text{Re})^2 + (\text{Im})^2} = 1,337439544 \cdot 10^{-4} S = 13,37439544 \cdot 10^{-5} S .$$

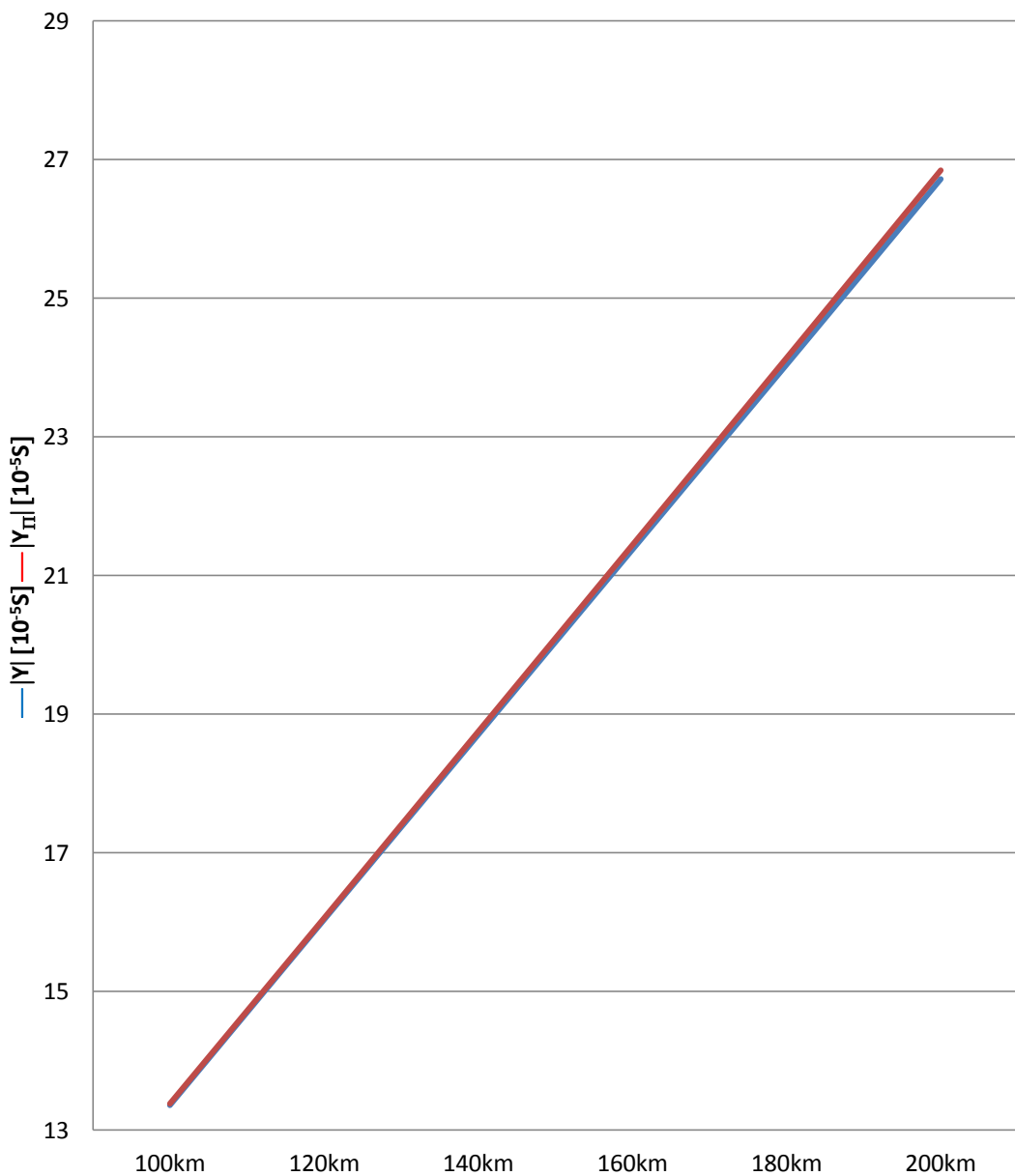
Dobiveni rezultati prikazani su u tablici 5.2., analogno tome grafički prikaz (slike 5.2. i 5.3.) dokazuje da su s porastom duljine voda impedancije  $\bar{Z}$ ,  $\pi$  - impedancije  $\bar{Z}_{\Pi}$ , admitancije  $\bar{Y}$  te  $\pi$  - admitancije  $\bar{Y}_{\Pi}$  elektroenergetskog voda **linearne**.

Tablica 5.2. Rezultati  $\pi$ -modul impedancije  $|Z_{\Pi}|$  i  $\pi$ -modul admitancije  $|Y_{\Pi}|$  elektroenergetskog voda točnog  $\pi$  modela voda kod vrlo visokog napona

|       | $R/\Omega$ | $X/\Omega$ | $ Z_{\Pi} /\Omega$ | $G[\cdot 10^{-5}S]$ | $B[\cdot 10^{-5}S]$ | $ Y_{\Pi} [\cdot 10^{-5}S]$ |
|-------|------------|------------|--------------------|---------------------|---------------------|-----------------------------|
| 100km | 1          | 53,40708   | 53,290032          | 0,8                 | 26,70537            | 13,37439544                 |
| 120km | 1,2        | 64,08852   | 63,880704          | 0,96                | 32,04424            | 16,05678151                 |
| 140km | 1,4        | 74,76994   | 74,435331          | 1,12                | 37,38495            | 18,74451715                 |
| 160km | 1,6        | 85,45136   | 84,947521          | 1,28                | 42,72566            | 21,4376407                  |
| 180km | 1,8        | 96,13278   | 95,411281          | 1,44                | 48,06636            | 24,13692405                 |
| 200km | 2          | 106,81414  | 105,82059          | 1,6                 | 53,40707            | 26,84317768                 |



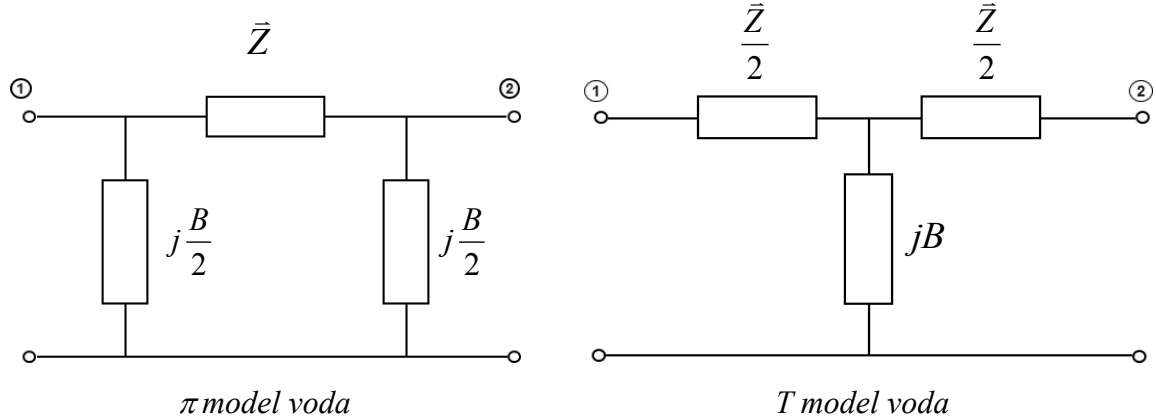
Slika 5.2. Dijagram modul impedancije  $|Z|$  i  $\pi$ -modul impedancije  $|Z_{\Pi}|$  dobivene tablicama 5.1. i 5.2. kod nazivnog napona 400 kV



Slika 5.3. Grafički prikaz duljine voda, modul admitancije  $|Y|$  te  $\pi$ -modul admitancije  $|Y_\pi|$  kod nazivnog napona 400 kV dobiven tablicama 5.1. i 5.2.

Analogno primjeru na nazivnom naponu od **400 kV**, računaju se proračuni na nazivnim naponima **220 kV** te **110 kV** za približan i točan  $\pi$  - model elektroenergetskog voda.

## 5.2. Vodovi visokog napona



Slika 5.4. Približni nadomjesni modeli voda

Uz pomoć slike 5.4. kod  $\pi$  modela voda, dobiva se sljedeći izraz:

$$\vec{Z} = R + jX = R + j\omega L = R + j2 \cdot \pi \cdot f \cdot L \quad (5.7)$$

Uz uvjet da je konduktancija odnosno djelatni odvod voda  $G \approx \infty$ , tada vrijedi:

$$\frac{\vec{Y}}{2} = j\frac{B}{2} = j\frac{\omega C}{2} = j\frac{2 \cdot \pi \cdot f \cdot C}{2} \quad (5.8)$$

Gdje je:  $\vec{Z}$  impedancija (uzdužni prividni otpor),

$R$  rezistancija (uzdužni djelatni otpor),

$X$  reaktancija (uzdužni induktivni otpor),

$\vec{Y}$  admitancija (poprečna prividna vodljivost),

$B$  susceptancija (poprečna kapacitivna vodljivost).

Odnosno kod T modela voda:

$$\frac{\vec{Z}}{2} = \frac{R}{2} + j\frac{X}{2} = \frac{R}{2} + j\frac{\omega L}{2} = \frac{R}{2} + j\frac{2 \cdot \pi \cdot f \cdot L}{2} \quad (5.9)$$

$$\vec{Y} = jB = j\omega C = j2 \cdot \pi \cdot f \cdot C \quad (5.10)$$

### 5.2.1. Primjer proračuna približnog i točnog $\pi$ modela voda kod visokog napona

Kod nadzemnog elektroenergetskog voda visokog napona uzeti su nazivni naponi **220 kV** i **110 kV**. Svaki nazivni napon računa se zasebno, analogno tome svaki je izračun prikazan tabličnim i grafičkim prikazom.

Valja napomenuti da se izračunata impedancija  $\bar{Z}$  te admitancija  $\bar{Y}$  elektroenergetskog voda dobiva u kompleksnom broju, pošto je kut isti zbog istih zadanih jediničnih vrijednosti, zanemaruje se. Zbog istog kuta uzima se modul impedancije  $|Z|$ ,  $\pi$  - modul impedancije  $|Z_\Pi|$ , admitancije  $|Y|$  te  $\pi$  - modul admitancije  $|Y_\Pi|$  elektroenergetskog voda, izračunatih impedancija  $\bar{Z}$  i admitancija  $\bar{Y}$  elektroenergetskog voda, pomoću kojih se dobiva linearni graf.

$$R = R_1 \cdot \ell, \quad X_1 = \omega L_1 = 2 \cdot \pi \cdot f \cdot L_1, \quad X = X_1 \cdot \ell, \quad |Z| = \sqrt{(\text{Re})^2 + (\text{Im})^2} \quad (5.11)$$

$$B_1 = \omega C_1 = 2 \cdot \pi \cdot f \cdot C_1, \quad B = B_1 \cdot \ell, \quad |Y| = \sqrt{(\text{Im})^2} = \text{Im} \quad (5.12)$$

- **Približan  $\pi$ -model voda**

U prvom dijelu proračuna uzet je nazivni napon od **220 kV**. Računajući s približnim  $\pi$  modelom voda, duljina voda za navedeni nazivni napon mijenja se svakih 20 km. Uz pomoć izraza (5.7), (5.8), (5.11) i (5.12) te slike 5.4., izračuna se impedancija  $\bar{Z}$  odnosno admitancija  $\bar{Y}$  elektroenergetskog voda, ako su zadani sljedeći podaci:

- jedinični otpor  **$R_1 = 0,06 \Omega/km$** ;
- jedinični induktivitet  **$L_1 = 1,5 mH/km$** ;
- jedinični kapacitet  **$C_1 = 9 nF/km$** .

Dobiveni rezultati prikazani su u tablici 5.3. analogno tablici grafički prikaz, prikazan je na slikama 5.5. i 5.6.

Tablica 5.3. Iznosi modul impedancija  $|Z|$  i modul admitancija  $|Y|$  nazivnog napona 220 kV kod približnog  $\pi$  modela voda

|       | $R/\Omega$ | $X/\Omega$ | $ Z /\Omega$ | $B[\cdot 10^{-5} \text{S}]$ | $ Y [\cdot 10^{-5} \text{S}]$ |
|-------|------------|------------|--------------|-----------------------------|-------------------------------|
| 100km | 6          | 47,12389   | 47,50433     | 28,27433                    | 14,13716                      |
| 120km | 7,2        | 56,54867   | 57,00519     | 33,9292008                  | 16,9646004                    |
| 140km | 8,4        | 65,97345   | 66,50606     | 39,58407                    | 19,79204                      |
| 160km | 9,6        | 75,39822   | 76,00692     | 45,23893                    | 22,61947                      |
| 180km | 10,8       | 84,823002  | 85,50779     | 50,893801                   | 25,4469005                    |
| 200km | 12         | 94,24778   | 95,00865     | 56,54867                    | 28,27434                      |

- **Točan  $\pi$ -model voda**

U drugom dijelu proračuna uzet je nazivni napon od **220 kV**. Računajući s točnim  $\pi$  modelom voda, duljina voda za navedeni nazivni napon mijenja se svakih 20 km. Uz pomoć izraza (5.7), (5.8), (5.11) i (5.12) te slike 5.4., izračuna se  $\pi$  - impedancije  $\vec{Z}_\Pi$  odnosno  $\pi$  - admitancije  $\vec{Y}_\Pi$  elektroenergetskog voda, ako su zadani sljedeći podaci:

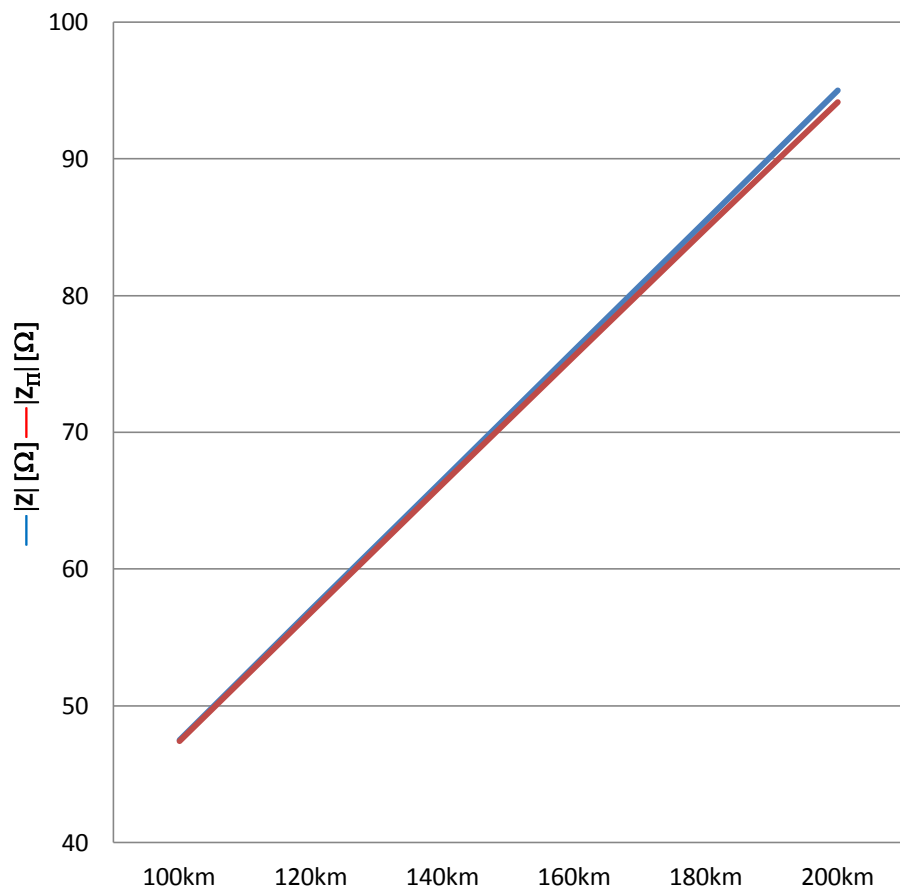
- jedinični otpor  **$R_1 = 0,06 \Omega/km$** ;
- jedinični induktivitet  **$L_1 = 1,5 mH/km$** ;
- jedinični kapacitet  **$C_1 = 9 nF/km$** .

Dobiveni rezultati prikazani su u tablici 5.4., analogno tome grafički prikaz (slike 5.5. i 5.6.) dokazuje da su s porastom duljine voda impedancije  $\vec{Z}$ ,  $\pi$  - impedancije  $\vec{Z}_\Pi$ , admitancije  $\vec{Y}$  te  $\pi$  - admitancije  $\vec{Y}_\Pi$  elektroenergetskog voda **linearne**.

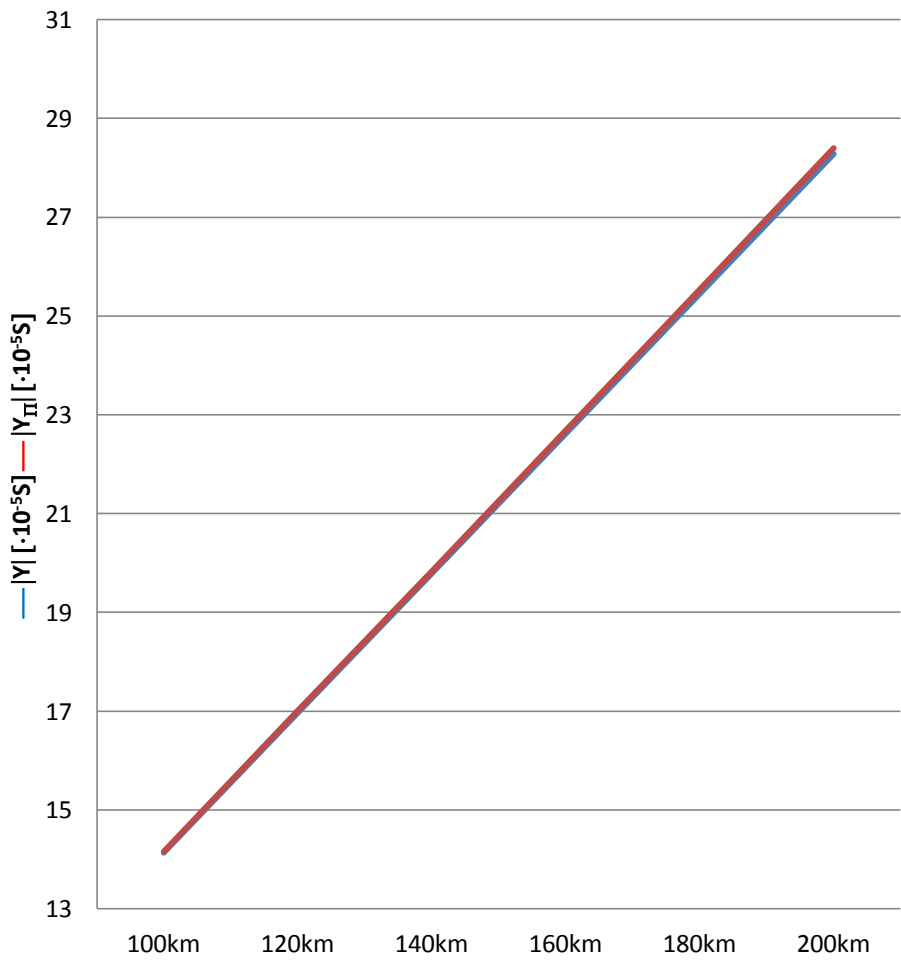
Dobiveni rezultati prikazani su u tablici 5.4.

Tablica 5.4. Rezultati  $\pi$ -modul impedancije  $|Z_\Pi|$  te  $\pi$ -modul admitancije  $|Y_\Pi|$  točnog  $\pi$  modela voda kod nazivnog napona 220 kV

|              | $R/\Omega$ | $X/\Omega$ | $ Z_\Pi /\Omega$ | $B[\cdot 10^{-5}S]$ | $ Y_\Pi [\cdot 10^{-5}S]$ |
|--------------|------------|------------|------------------|---------------------|---------------------------|
| <b>100km</b> | 6          | 47,12389   | 47,41606         | 28,27433            | 14,1528777                |
| <b>120km</b> | 7,2        | 56,54867   | 56,82308         | 33,9292008          | 17,0048199                |
| <b>140km</b> | 8,4        | 65,97345   | 66,21698         | 39,58407            | 19,8352239                |
| <b>160km</b> | 9,6        | 75,39822   | 75,57557         | 45,23893            | 22,6839829                |
| <b>180km</b> | 10,8       | 84,823002  | 84,89390         | 50,893801           | 25,5388381                |
| <b>200km</b> | 12         | 94,24778   | 94,16699         | 56,54867            | 28,4005814                |



Slika 5.5. Graficki prikaz modul impedancije  $|Z|$  i  $\pi$ -modul impedancije  $|Z_\Pi|$  u ovisnosti sa duljinom voda  $\ell$  kod nazivnog napona 220 kV pomoću tablica 5.3 i 5.4.



Slika 5.6. Karakteristike duljine voda  $\ell$ , modul admitancije  $|Y|$  i  $\pi$ -modul admitancije  $|Y_{\pi}|$  pomoću tablica 5.3 i 5.4. kod nazivnog napona 220 kV

- **Približan  $\pi$ -model voda**

U trećem dijelu proračuna uzet je nazivni napon od **110 kV**. Računajući s približnim  $\pi$  modelom voda, duljina voda za navedeni nazivni napon mijenja se svakih 20 km. Uz pomoć izraza (5.7), (5.8), (5.11) i (5.12) te slike 5.4., izračuna se impedancija  $\bar{Z}$  odnosno admitancija  $\bar{Y}$  elektroenergetskog voda, ako su zadani sljedeći podaci:

- jedinični otpor  **$R_1 = 0,12 \Omega/km$** ;
- jedinični induktivitet  **$L_1 = 1,3 mH/km$** ;
- jedinični kapacitet  **$C_1 = 9,5 nF/km$** .

Dobiveni rezultati prikazani su u tablici 5.5. analogno tablici grafički prikaz, prikazan je na slikama 5.7. i 5.8.

*Tablica 5.5. Dobiveni rezultati modul impedancije  $|Z|$  te modul admitancije  $|Y|$  nazivnog napona 110 kV kod približnog  $\pi$  modela voda*

|              | R/Ω  | X/Ω      | Z /Ω     | B[·10 <sup>-3</sup> S] | Y /·10 <sup>-3</sup> S] |
|--------------|------|----------|----------|------------------------|-------------------------|
| <b>60km</b>  | 7,2  | 24,50442 | 25,54029 | 17,90708               | 8,95354                 |
| <b>80km</b>  | 9,6  | 32,67256 | 34,05372 | 23,876104              | 11,93805                |
| <b>100km</b> | 12   | 40,84071 | 42,56717 | 29,84513               | 14,92257                |
| <b>120km</b> | 14,4 | 49,00885 | 51,08059 | 35,81416               | 17,90708                |
| <b>140km</b> | 16,8 | 57,17699 | 59,59403 | 41,78318               | 20,89159                |
| <b>160km</b> | 19,2 | 65,34513 | 68,10746 | 47,75221               | 23,876105               |

- **Točan  $\pi$  - model voda**

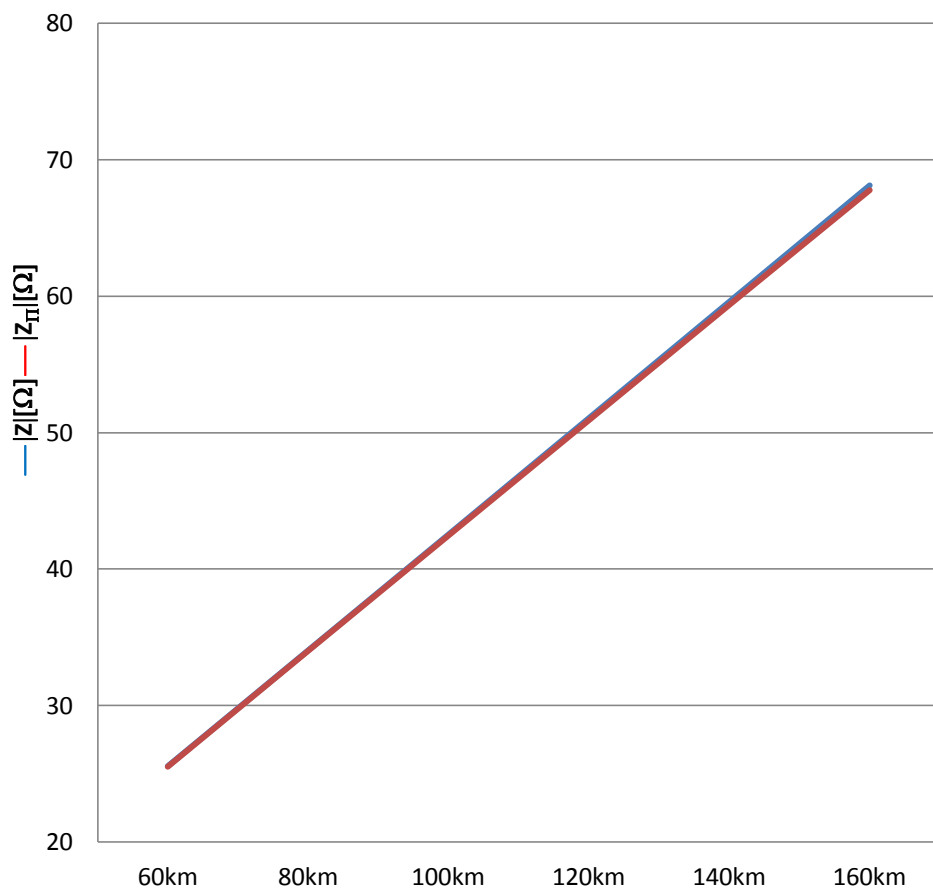
U četvrtom dijelu proračuna uzet je nazivni napon od **110 kV**. Računajući s točnim  $\pi$  modelom voda, duljina voda za navedeni nazivni napon mijenja se svakih 20 km. Uz pomoć izraza (5.7), (5.8), (5.11) i (5.12) te slike 5.4., izračuna se  $\pi$  - impedancije  $\bar{Z}_{\Pi}$  odnosno  $\pi$  - admitancije  $\bar{Y}_{\Pi}$  elektroenergetskog voda, ako su zadani sljedeći podaci:

- jedinični otpor **R<sub>1</sub> = 0,12 Ω/km**;
- jedinični induktivitet **L<sub>1</sub> = 1,3 mH/km**;
- jedinični kapacitet **C<sub>1</sub> = 9,5 nF/km**.

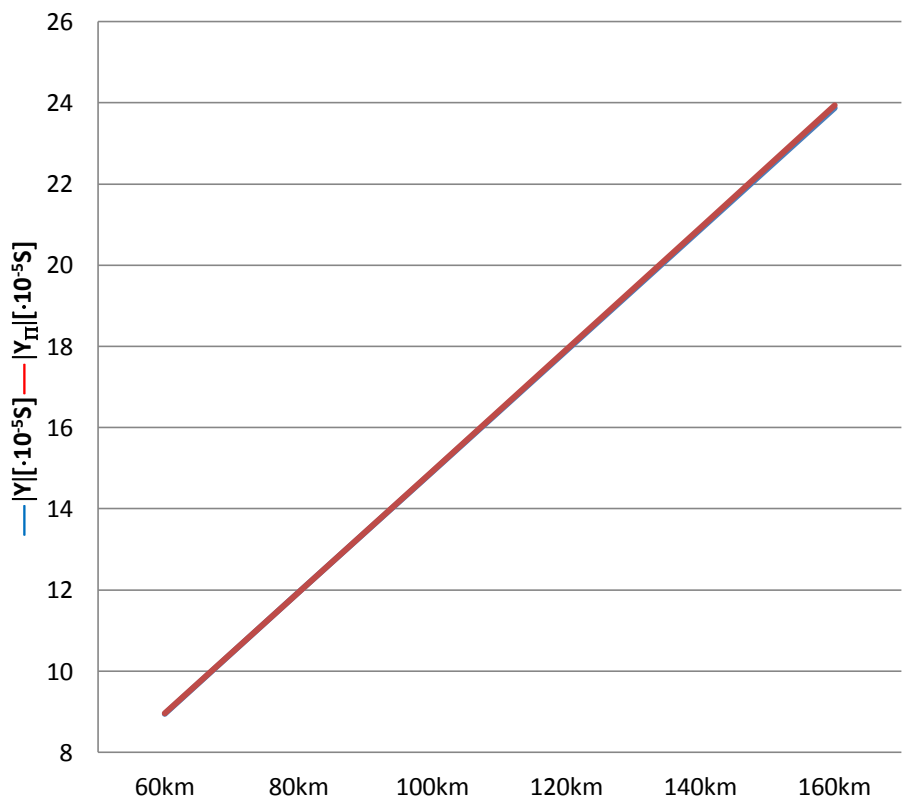
Dobiveni rezultati prikazani su u tablici 5.6., analogno tome karakteristike (slike 5.7. i 5.8.) dokazuju da su s porastom duljine voda impedancije  $\bar{Z}$ ,  $\pi$  - impedancije  $\bar{Z}_{\Pi}$ , admitancije  $\bar{Y}$  te  $\pi$  - admitancije  $\bar{Y}_{\Pi}$  elektroenergetskog voda **linearne**.

Tablica 5.6. Dobiveni iznosi rezistancije  $R$ , reaktancije  $X$ ,  $\pi$ -modul impedancije  $|Z_{\Pi}|$ , susceptancije  $B$  te  $\pi$ -modul admitancije  $|Y_{\Pi}|$  nazivnog napona 110 kV kod točnog  $\pi$  modela voda

|              | $R/\Omega$ | $X/\Omega$ | $ Z_{\Pi} /\Omega$ | $B[\cdot 10^{-5}S]$ | $ Y_{\Pi} [\cdot 10^{-5}S]$ |
|--------------|------------|------------|--------------------|---------------------|-----------------------------|
| <b>60km</b>  | 7,2        | 24,50442   | 25,52162           | 17,90708            | 8,95615287                  |
| <b>80km</b>  | 9,6        | 32,67256   | 34,00947           | 23,876104           | 11,9458163                  |
| <b>100km</b> | 12         | 40,84071   | 42,48075           | 29,84513            | 14,9377451                  |
| <b>120km</b> | 14,4       | 49,00885   | 50,93131           | 35,81416            | 17,9333159                  |
| <b>140km</b> | 16,8       | 57,17699   | 59,35704           | 41,78318            | 20,9332769                  |
| <b>160km</b> | 19,2       | 65,34513   | 67,75384           | 47,75221            | 23,9383749                  |

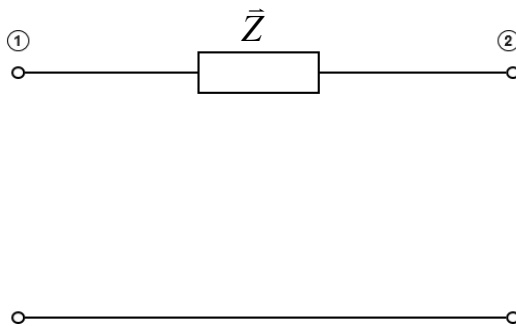


Slika 5.7. Karakteristika modul impedancije  $|Z|$  i  $\pi$ -modul impedancije  $|Z_{\Pi}|$  u ovisnosti s duljinom voda  $\ell$  iz tablica 5.5 i 5.6. kod nazivnog napona 110 kV



Slika 5.8. Grafički prikaz duljine voda  $\ell$  u ovisnosti o modul admitancije  $|Y|$  i  $\pi$ -modul admitancije  $|Y_{\Pi}|$  kod nazivnog napona 110 kV iz tablica 5.5 i 5.6.

### 5.3. Vodovi srednjeg napona



Slika 5.9. Približan nadomjesni model voda srednjeg napona

Uz pomoć slike 5.9. kod  $\pi$  modela voda, dobiva se sljedeći izraz:

$$\bar{Z} = R + jX = R + j\omega L = R + j2 \cdot \pi \cdot f \cdot L \quad (5.13)$$

Gdje je:

$\bar{Z}$  impedancija tj. uzdužni prividni otpor,

$X$  reaktancija tj. uzdužni induktivni otpor.

Uz uvjet da je poprečna kapacitivna vodljivost (susceptancija)  $B \approx \infty$ , pa se samim time zanemaruje i poprečna prividna vodljivost (admitancija)  $\bar{Y} \approx \infty$ .

Odnosno kod T modela voda slijedi izraz:

$$\frac{\bar{Z}}{2} = \frac{R}{2} + j \frac{X}{2} = \frac{R}{2} + j \frac{\omega L}{2} = \frac{R}{2} + j \frac{2 \cdot \pi \cdot f \cdot L}{2} \quad (5.14)$$

### 5.3.1. Primjer proračuna približnog $\pi$ modela voda kod srednjeg napona

Kod nadzemnog elektroenergetskog voda srednjeg napona uzeti su nazivni naponi **35, 20 i 10 kV**. Svaki nazivni napon računa se zasebno, analogno tome svaki je izračun prikazan tabličnim i grafičkim prikazom.

Valja napomenuti da se izračunata impedancija  $\bar{Z}$  elektroenergetskog voda dobiva u kompleksnom broju, pošto je kut isti zbog istih zadanih jediničnih vrijednosti, zanemaruje se. Zbog istog kuta uzima se modul impedancije  $|Z|$  elektroenergetskog voda, izračunatih impedancija  $\bar{Z}$  elektroenergetskog voda, pomoću kojih se dobiva linearni graf.

$$R = R_1 \cdot \ell, \quad X_1 = \omega L_1 = 2 \cdot \pi \cdot f \cdot L_1, \quad X = X_1 \cdot \ell, \quad |Z| = \sqrt{(\text{Re})^2 + (\text{Im})^2} \quad (5.15)$$

- **Približan  $\pi$ -model voda**

U prvom dijelu proračuna uzet je nazivni napon od **35 kV**. Računajući s približnim  $\pi$  modelom voda, duljina voda za navedeni nazivni napon mijenja se svakih 10 km. Uz pomoć izraza (5.13) i (5.15) te slike 5.9., izračuna se impedancija  $\bar{Z}$  elektroenergetskog voda, ako su zadani sljedeći podaci:

- jedinični otpor  **$R_1 = 0,2 \Omega/km$** ;
- jedinični induktivitet  **$L_1 = 1,2 mH/km$** .

*Ako je duljina voda 10 km slijedi:*

$$R = 0,2 \Omega/km \cdot 10 km = 2 \Omega,$$

$$X = 0,53407 \Omega/km \cdot 10 km = 3,769911184 \Omega,$$

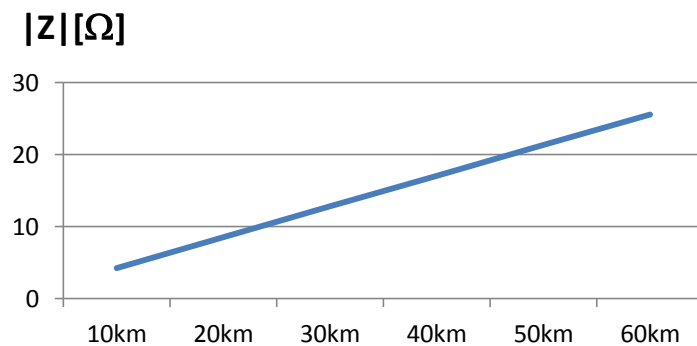
$$\bar{Z} = 2 + j3,769911184 \Omega = 4,267578978 \angle 1,083034619^\circ \Omega,$$

$$|Z_{\Pi}| = \sqrt{(Re)^2 + (Im)^2} = 4,267578978 \Omega.$$

Dobiveni rezultati prikazani su u tablici 5.7., analogno tome grafički prikaz (slika 5.10.) dokazuje da je s porastom duljine impedancije  $\bar{Z}$  elektroenergetskog voda **linearan**.

*Tablica 5.7. Rezultati rezistancije R, reaktancije X i modul impedancije Z/približnog  $\pi$  modela voda kod nazivnog napona 35 kV*

|             | R/Ω | X/Ω      | Z /Ω     |
|-------------|-----|----------|----------|
| <b>10km</b> | 2   | 3,76991  | 4,26758  |
| <b>20km</b> | 4   | 7,53982  | 8,53516  |
| <b>30km</b> | 6   | 11,30973 | 12,80273 |
| <b>40km</b> | 8   | 15,07964 | 17,07031 |
| <b>50km</b> | 10  | 18,84956 | 21,33789 |
| <b>60km</b> | 12  | 22,61947 | 25,60548 |



*Slika 5.10. Grafički prikaz modul impedancije |Z| u ovisnosti sa duljinom voda  $\ell$  kod nazivnog napona 35 kV*

Analogno primjeru na nazivnom naponu od 35 kV, računaju se proračuni na nazivnim naponima 20 kV te 10 kV za približan  $\pi$  - model elektroenergetskog voda.

- Približan  $\pi$ -model voda

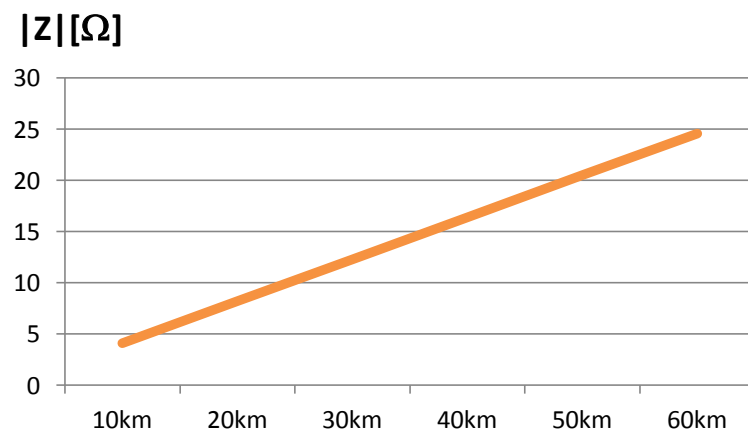
U drugom dijelu proračuna uzet je nazivni napon od **20 kV**. Računajući s približnim  $\pi$  modelom voda, duljina voda za navedeni nazivni napon mijenja se svakih 10 km. Uz pomoć izraza (5.13) i (5.15) te slike 5.9., izračuna se impedancija  $\bar{Z}$  elektroenergetskog voda, ako su zadani sljedeći podaci:

- jedinični otpor  **$R_1 = 0,22 \Omega/km$** ;
- jedinični induktivitet  **$L_1 = 1,1 mH/km$** ;

Dobiveni rezultati prikazani su u tablici 5.8. analogno tome grafički prikaz (slika 5.11.) dokazuje da je s porastom duljine impedancije  $\bar{Z}$  elektroenergetskog voda **linearan**.

*Tablica 5.8. Dobiveni iznosi modul impedancije  $|Z|$  približnog  $\pi$  modela voda kod nazivnog napona 20 kV*

|             | $R/\Omega$ | $X/\Omega$ | $ Z /\Omega$ |
|-------------|------------|------------|--------------|
| <b>10km</b> | 2,2        | 3,45575    | 4,09661      |
| <b>20km</b> | 4,4        | 6,911504   | 8,19322      |
| <b>30km</b> | 6,6        | 10,36726   | 12,28984     |
| <b>40km</b> | 8,8        | 13,82301   | 16,38645     |
| <b>50km</b> | 11         | 17,27876   | 20,48306     |
| <b>60km</b> | 13,2       | 20,73451   | 24,57966     |



*Slika 5.11. Karakteristika duljine voda  $\ell$  u ovisnosti sa modul impedancijama  $|Z|$  nazivnog napona 20 kV kod približnog  $\pi$  modela voda*

- Približan  $\pi$ -model voda

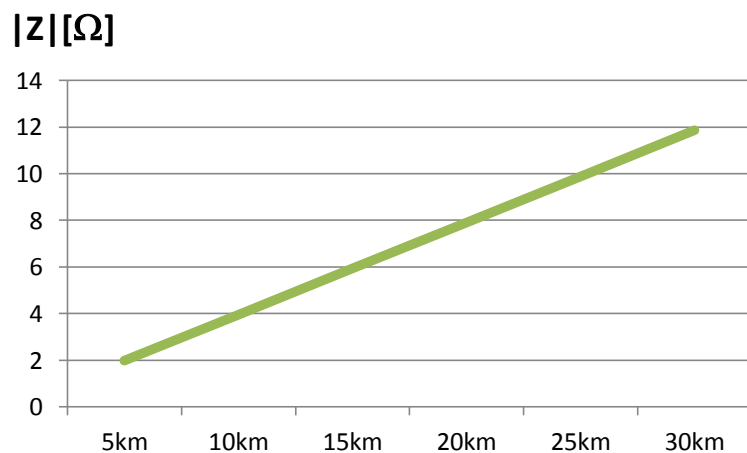
U trećem dijelu proračuna uzet je nazivni napon od **10 kV**. Računajući s približnim  $\pi$  - modelom voda, duljina voda za navedeni nazivni napon mijenja se svakih 5 km. Uz pomoć izraza (5.13) i (5.15) te slike 5.9., izračuna se impedancija  $\bar{Z}$  elektroenergetskog voda, ako su zadani sljedeći podaci:

- jedinični otpor  **$R_1 = 0,24 \Omega/km$** ;
- jedinični induktivitet  **$L_1 = 1,0 mH/km$** ;

Dobiveni rezultati prikazani su u tablici 5.9. analogno tome grafički prikaz (slika 5.12.) dokazuje da je s porastom duljine impedancije  $\bar{Z}$  elektroenergetskog voda **linearan**.

*Tablica 5.9. Dobiveni rezultati rezistancija R, reaktancija X te modul impedancija |Z|/ približnog  $\pi$  modela voda kod nazivnog napona 10 kV*

|             | R/ $\Omega$ | X/ $\Omega$ | Z / $\Omega$ |
|-------------|-------------|-------------|--------------|
| <b>5km</b>  | 1,2         | 1,57079     | 1,97671      |
| <b>10km</b> | 2,4         | 3,14159     | 3,95343      |
| <b>15km</b> | 3,6         | 4,71239     | 5,93014      |
| <b>20km</b> | 4,8         | 6,28319     | 7,90686      |
| <b>25km</b> | 6           | 7,85398     | 9,88357      |
| <b>30km</b> | 7,2         | 9,42478     | 11,86029     |



*Slika 5.12. Grafički prikaz duljine voda  $\ell$  u ovisnosti sa modul impedancijama |Z|/ približnog  $\pi$  modela voda kod nazivnog napona 10 kV*

## 5.4. Izračun napona i struja na početku i na kraju voda

Prepostavi se da je napon na početku ili na kraju voda jednak nazivnom naponu. Snaga na početku ili na kraju voda uzima se ovisno o nazivnom naponu.

Proračuni su raspodijeljeni tako da se analizira i uspoređuju približan i točan  $\pi$  - model elektroenergetskog voda kod vrlo visokog napona, nazivnog napona **400 kV** te srednjeg napona, nazivnog napona **20 kV**. Zbog preglednosti i bolje analize uzeta je **induktivna** (npr.  $S = 100 + j10MVA$ ) te **kapacitivna** (npr.  $S = 100 - j10MVA$ ) **prividna snaga  $S$ , kada je zadana samo čisti radni teret djelatne snage  $P$ , a poslije postepeno se povećava jalovi dio prividne snage  $S$ , sve dok se ne dobije čistu jalovu snagu  $Q$ .**

Za svaku takvu analizu uzima se prividna snaga  $S_2$  kada je zadana na kraju elektroenergetskog voda, a potom i prividna snaga  $S_1$  kada je zadana na početku elektroenergetskog voda ako je duljina voda *160 km* za **400 kV**, odnosno *20 km* za **20 kV** sa istim vrijednostima jediničnog otpora  $R_I$ , jediničnog induktiviteta  $L_I$ , jediničnog kapaciteta  $C_I$ , te jediničnog odvoda  $G_I$  kao u *poglavlju 5.1.1*.

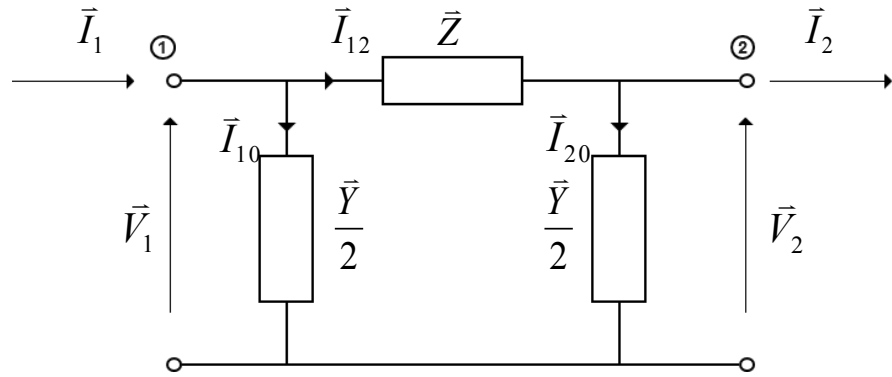
Kod srednjeg napona, nazivnog napona **20 kV** nije uzeta analiza s točnim  $\pi$  - model elektroenergetskog voda zbog toga što su gotovo jednaki iznosi prividne snage  $S$  kao i s približnim  $\pi$  - model elektroenergetskog voda, pa se ne izračunavaju.

### 5.4.1. Analiza približnog i točnog $\pi$ - modela voda kod vrlo visokog napona te zadanom induktivnom snagom na kraju voda

- **Približan  $\pi$ -model voda**

Primjenom približnog  $\pi$  - modela elektroenergetskog voda, određuje se napon i struju na početku voda ako su podaci na kraju voda:

- nazivni napon  **$U_2 = 400 \text{ kV}$**
- duljina voda  **$l = 160 \text{ km}$**
- induktivna snaga na kraju voda od  **$S_2 = 100 + j0 \text{ MVA}$**  do  **$S_2 = 0 + j100 \text{ MVA}$**



Slika 5.13. Struje i naponi približnog  $\Pi$ -modela voda

Uz pomoć slike 5.13. dobiva se izraze za izračun struja i napona približnog  $\pi$  - modela elektroenergetskog voda, te prividnu snagu na početku elektroenergetskog voda  $S_1$ .

**Ako je zadana prividna snaga na kraju voda  $S_2 = 100 + j0 \text{ MVA}$  slijedi:**

$$V_2 = \frac{U_2}{\sqrt{3}} = 230940,1077 \text{ V} = 230,9401077 \text{ kV},$$

$$\bar{I}_2 = \frac{\bar{S}_2^*}{\sqrt{3} \cdot \bar{U}_2^*} = 144,33757 \text{ A},$$

$$\bar{I}_{20} = \bar{V}_2 \cdot \frac{\bar{Y}}{2} \Rightarrow \bar{I}_{12} = \bar{I}_2 + \bar{I}_{20} = 145,8155867 + j49,335343 \text{ A},$$

$$\Delta \bar{V} = 3982,465243 - j12539,07091 \text{ V} = 3,982465 - j12,539071 \text{ kV},$$

$$\bar{V}_1 = \bar{V}_2 + (\bar{I}_{12}) \cdot \bar{Z} = 226957,6425 + j12539,07091 \text{ V},$$

$$\bar{U}_1 = \bar{V}_1 \cdot \sqrt{3} = 393,102168 + j21,718308 \text{ kV},$$

$$\bar{I}_1 = \bar{I}_{12} + (\bar{V}_1) \cdot \left( \frac{\bar{Y}}{2} \right) = 144,5894152 + j97,9001684 \text{ A},$$

$$\bar{S}_1 = \sqrt{3} \cdot \bar{U}_1 \cdot \bar{I}_1^* = 102,12975 - j61,218523 \text{ MVA},$$

$$\Delta \bar{S} = \bar{S}_1 - \bar{S}_2 = 2,12965 - j61,218523 \text{ MVA}.$$

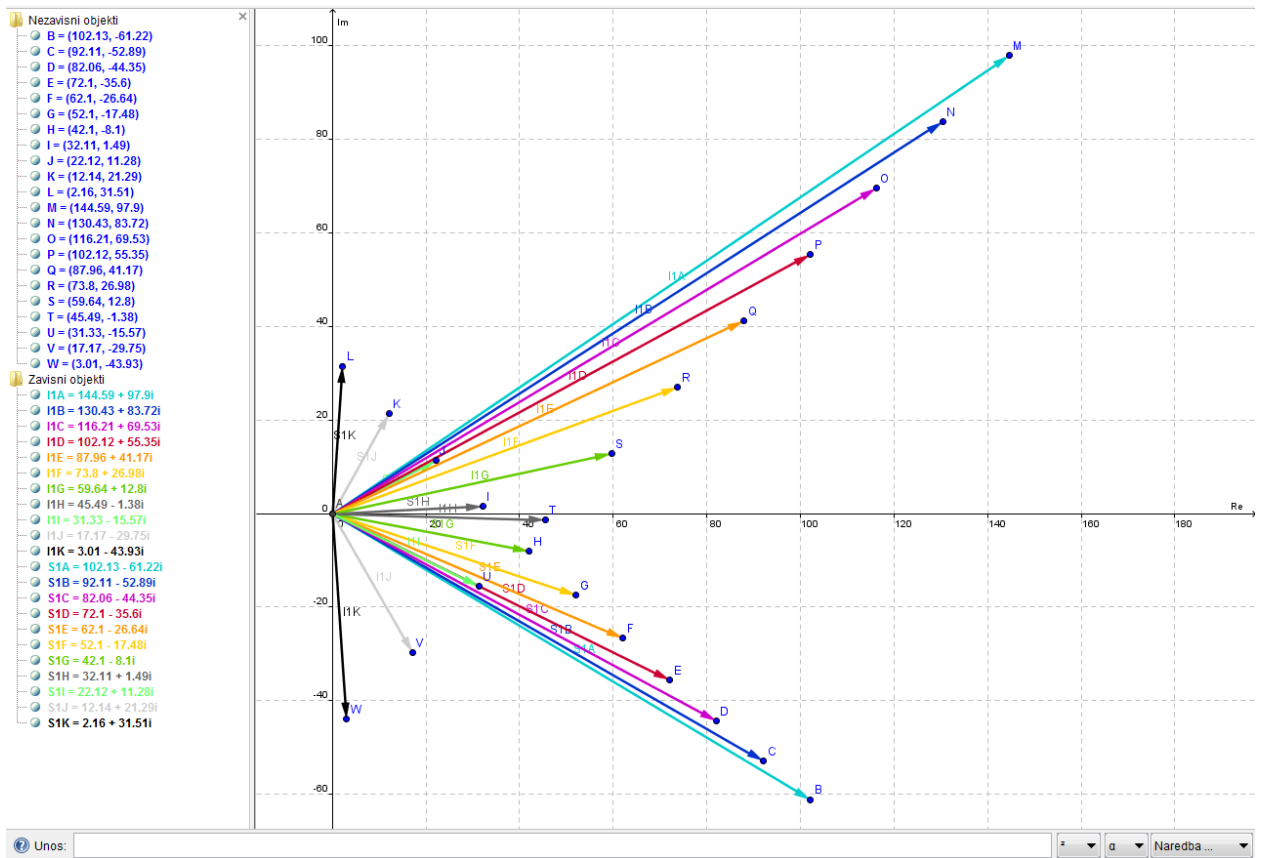
Na isti se način izračunava i ostali dio proračuna.

Dobiveni rezultati prikazani su u tablicama 5.10 i 5.11.

Tablica 5.10. Rezultati struja  $I_1$ , fazni naponi  $V_1$  te prividne snage  $S_1$  na početku voda, ako su zadani parametri induktivne prividne snage  $S_2$  na kraju voda i duljine voda  $\ell$  od 160 km približnog  $\pi$  modela voda kod nazivnog napona 400 kV

| $S_2/\text{MVA}$ | $I_1/\text{A}$       | $V_1/\text{kV}$       | $S_1/\text{MVA}$    |
|------------------|----------------------|-----------------------|---------------------|
| <b>100+j0</b>    | 144,58942+j97,900168 | 226,95764+j12,539071  | 102,12975-j61,21852 |
| <b>90+j10</b>    | 130,43182+j83,716919 | 228,16793+j11,282593  | 92,11471-j52,889722 |
| <b>80+j20</b>    | 116,21233+j69,533624 | 229,37812+j10,020728  | 82,06003-j44,354879 |
| <b>70+j30</b>    | 102,116637+j55,35043 | 230,58851+j8,7696379  | 72,09679-j35,602942 |
| <b>60+j40</b>    | 87,959045+j41,167181 | 231,79880+j7,5131603  | 62,09429-j26,644958 |
| <b>50+j50</b>    | 73,801450+j26,983942 | 233,00909+j6,2566825  | 52,09572-j17,477254 |
| <b>40+j60</b>    | 59,643865+j12,800692 | 234,21938+j5,0002055  | 42,10127-j8,0998158 |
| <b>30+j70</b>    | 45,486270-j1,3825541 | 235,42967+j3,7437276  | 32,11093+j1,487347  |
| <b>20+j80</b>    | 31,328826-j15,565796 | 236,63996+j2,4872629  | 22,12481+j11,28424  |
| <b>10+j90</b>    | 17,171090-j29,749046 | 237,85025+j1,2307728  | 12,14260+j21,29085  |
| <b>0+j100</b>    | 3,013495-j43,9322951 | 239,06054-j0,02570509 | 2,164611+j31,50720  |

Vektorski dijagram (slika 5.14.) opisuje ovisnost prividne snage  $S_1$  na početku elektroenergetskog voda i pripadajuće joj struje  $I_1$  na početku voda približnog  $\pi$  modela voda po vrijednostima iz tablice 5.10.



Slika 5.14. Vektorski dijagram struja  $I_1$  i prividnih snaga  $S_1$  na početku voda, ako su zadani parametri induktivne prividne snage  $S_2$  na kraju voda približnog  $\pi$  modela voda kod nazivnog napona 400 kV

Tablica 5.11. Gubici faznog napona  $\Delta V$  i prividne snage  $\Delta S$ , ako su zadani parametri prividne snage  $S_2$  na kraju voda i duljine voda  $\ell$  od 160 km nazivnog napona 400 kV kod približnog  $\pi$  modela voda

| S <sub>2</sub> /MVA | $\Delta V/kV$        | $\Delta S/MVA$       |                      |
|---------------------|----------------------|----------------------|----------------------|
|                     |                      | Real                 | Imaginary            |
| 100+j0              | 3,98247-j12,53907    | 2,12965-j61,21852    | 61,255552∠-1,536023° |
| 90+j10              | 2,77218-j11,282593   | 2,11470802-j62,88972 | 62,925264∠-1,537183° |
| 80+j20              | 1,56199-j10,020729   | 2,06003046-j64,35488 | 64,387843∠-1,538797° |
| 70+j30              | 0,35159-j8,7696379   | 2,0969793-j65,602942 | 65,636448∠-1,538842° |
| 60+j40              | -0,85869-j7,5131603  | 2,0942906-j66,644958 | 66,677856∠-1,539382° |
| 50+j50              | -2,06898-j6,2566825  | 2,0957163-j67,477254 | 67,509791∠-1,539748° |
| 40+j60              | -3,27927-j5,0002055  | 2,1012657-j68,099816 | 68,132226∠-1,539950° |
| 30+j70              | -4,48956-j3,7437276  | 2,1109251-j68,512653 | 68,545165∠-1,539995° |
| 20+j80              | -5,69985-j2,48726288 | 2,1248076-j68,715763 | 68,748606∠-1,539884° |
| 10+j90              | -6,91014-j1,23077278 | 2,1442601-j68,709145 | 68,742596∠-1,539599° |
| 0+j100              | -8,120431+j0,0257058 | 2,1646114-j68,492798 | 68,526994∠-1,539203° |

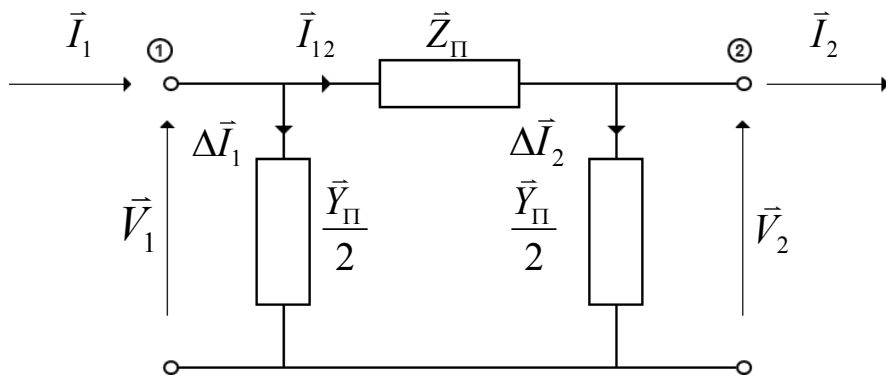
- Točan  $\pi$ -model voda

Primjenom točnog  $\pi$  - modela elektroenergetskog voda, određuje se napon i struju na početku voda ako su podaci na kraju voda:

- nazivni napon  $\mathbf{U}_2 = 400 \text{ kV}$

- duljina voda  $l = 160 \text{ km}$

- induktivna snaga na kraju voda od  $S_2 = 100 + j0 \text{ MVA}$  do  $S_2 = 0 + j100 \text{ MVA}$



Slika 5.15. Struje i naponi točnog jednofaznog  $\Pi$ -modela voda

Uz pomoć slike 5.15., dobiva se izraze za izračun struja i napona točnog  $\pi$  - modela elektroenergetskog voda, te prividnu snagu na početku elektroenergetskog voda  $S_1$ .

**Ako je zadana prividna snaga na kraju voda  $S_2 = 100 + j0 \text{ MVA}$  slijedi:**

$$\bar{Z}_1 = (R_1 + j2 \cdot \pi \cdot f \cdot L_1) = (0,01 + j2 \cdot \pi \cdot 50 \cdot 1,7 \cdot 10^{-3}) = 0,01 + j0,5340707511 \Omega$$

$$\bar{Z}_1 = 0,01 + j0,5340707511 \Omega = 0,5341643635 \angle 1,552074404 \Omega ,$$

$$\frac{\bar{Y}_1}{2} = 4 \cdot 10^{-8} + j1,335176878 \cdot 10^{-6} \quad S = 1,335775915 \cdot 10^{-6} \angle 1,540846707 \quad S ,$$

$$\bar{Z} = (R_1 + j2 \cdot \pi \cdot f \cdot L_1) \cdot l = (0,01 + j2 \cdot \pi \cdot 50 \cdot 1,7 \cdot 10^{-3}) \cdot 160 = 1,6 + j85,45132 \Omega ,$$

$$\frac{\bar{Y}}{2} = 0,64 \cdot 10^{-5} + j21,36283 \cdot 10^{-5} \quad S ,$$

$$\bar{\gamma} = \sqrt{\bar{Z} \cdot \bar{Y}} = 1,194591053 \cdot 10^{-3} \angle 1,5464605560 = 2,906842466 \cdot 10^{-5} + j1,194237334 \cdot 10^{-3} ,$$

$$\bar{\Theta} = \gamma \cdot \ell = 4,650947946 \cdot 10^{-3} + j0,1910779734$$

$$\bar{\Theta} = 0,004651 + j0,191078 = 0,1911345684 \angle 1,546460556 ,$$

$$sh \bar{\Theta} = \frac{e^{0,004651} - e^{-0,004651}}{2} \cdot \cos(0,191078) + j \left[ \left( \frac{e^{0,004651} + e^{-0,004651}}{2} \right) \cdot \sin(0,191078) \right]$$

$$sh \bar{\Theta} = 4,566369 \cdot 10^{-3} + j0,189919,$$

$$ch \bar{\Theta} = \frac{e^{0,004651} + e^{-0,004651}}{2} \cdot \cos(0,191078) + j \left[ \left( \frac{e^{0,004651} - e^{-0,004651}}{2} \right) \cdot \sin(0,191078) \right]$$

$$ch \bar{\Theta} = 0,9818106938 + j8,83308945 \cdot 10^{-4},$$

$$\tanh \frac{\bar{\Theta}}{2} = \frac{ch \bar{\Theta} - 1}{sh \bar{\Theta}} = 2,346852 \cdot 10^{-3} + j0,0958304,$$

$$\bar{Z}_{\Pi} = Z \cdot \frac{sh \bar{\Theta}}{\bar{\Theta}} = 1,565067138 + j84,93286605 \Omega,$$

$$\frac{\bar{Y}_{\Pi}}{2} = \frac{\bar{Y}}{2} \cdot \frac{\tanh \frac{\bar{\Theta}}{2}}{\frac{\bar{\Theta}}{2}} = 6,451408522 \cdot 10^{-6} + j2,142797008 \cdot 10^{-4} S,$$

$$V_2 = \frac{U_2}{\sqrt{3}} = 230940,1077 V = 230,9401077 kV,$$

$$\bar{I}_2 = \frac{\bar{S}_2^*}{\sqrt{3} \cdot \bar{U}_2^*} = 144,3375673 A,$$

$$\bar{I}_{20} = \bar{V}_2 \cdot \frac{\bar{Y}_{\Pi}}{2} = 1,489888979 + j49,48577718 A,$$

$$\bar{I}_{12} = \bar{I}_2 + \bar{I}_{20} = 145,8274563 + j49,48577718 A,$$

$$\Delta \bar{V} = (\bar{I}_{12}) \cdot (\bar{Z}_{\Pi}) = 3,974739125 - j12,46299237 kV,$$

$$\bar{V}_1 = \bar{V}_2 + (\bar{I}_{12}) \cdot \bar{Z}_{\Pi} = 226965,3686 + j12462,99237 V,$$

$$\bar{U}_1 = (\bar{V}_1) \cdot \sqrt{3} = 393115,5499 + j21586,53601 V,$$

$$\bar{I}_1 = \bar{I}_{12} + (\bar{V}_1) \cdot \left( \frac{\bar{Y}_{\Pi}}{2} \right) = 144,6211363 + j98,20025231 A,$$

$$\bar{S}_1 = \sqrt{3} \cdot \bar{U}_1 \cdot \bar{I}_1^* = 102,1435755 - j61,45693302 MVA,$$

$$\Delta \bar{S} = \bar{S}_1 - \bar{S}_2 = 2,1435755 - j61,45693302 MVA.$$

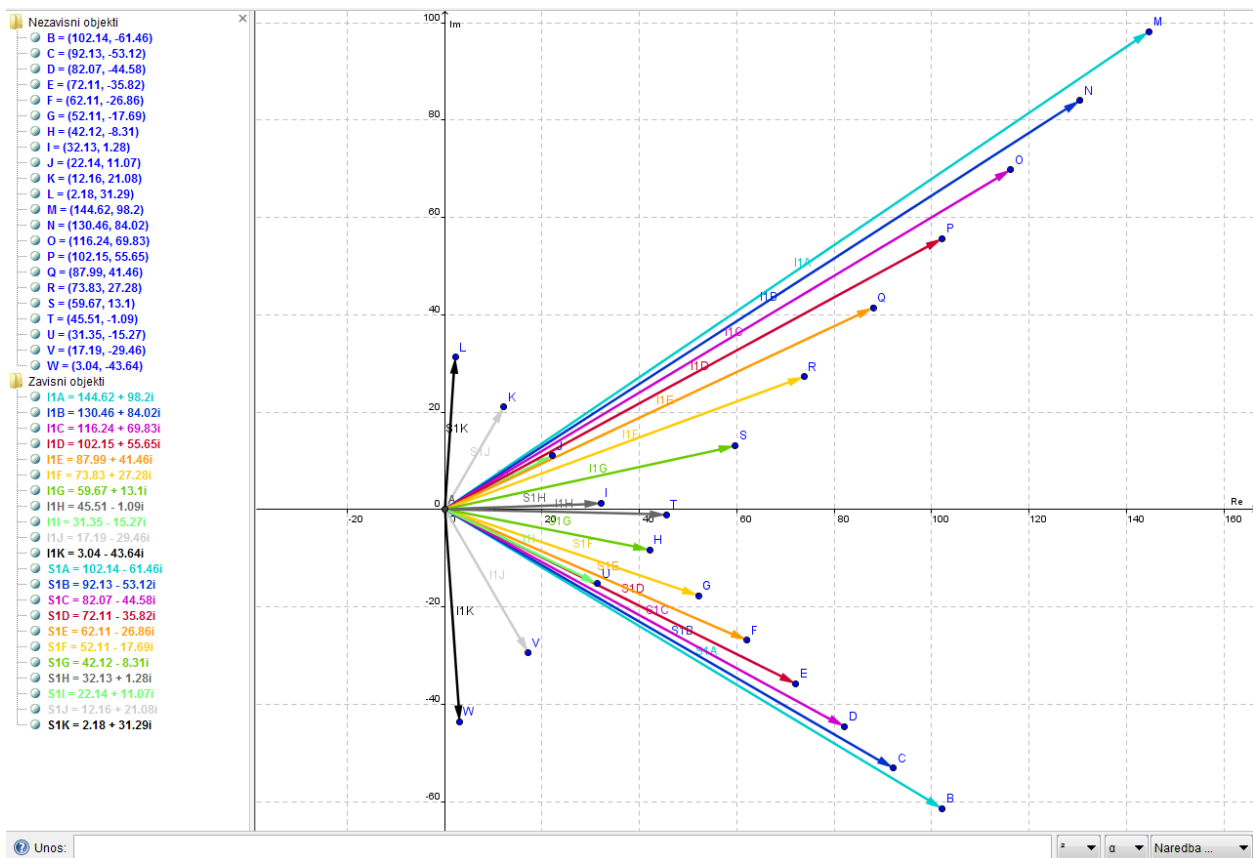
Na isti se način izračunava i ostali dio proračuna.

Dobiveni rezultati prikazani su u tablicama 5.12 i 5.13.

Tablica 5.12. Dobiveni rezultati struja  $I_1$ , faznih napona  $V_1$  te prividnih snaga  $S_1$  na početku voda, ako su zadani parametri induktivne prividne snage  $S_2$  na kraju voda i duljine voda  $\ell$  od 160 km točnog  $\pi$  modela voda kod nazivnog napona 400 kV

| $S_2/\text{MVA}$ | $I_1/\text{A}$       | $V_1/\text{kV}$       | $S_1/\text{MVA}$    |
|------------------|----------------------|-----------------------|---------------------|
| <b>100+j0</b>    | 144,621136+j98,20025 | 226,965368+j12,46299  | 102,14358-j61,45693 |
| <b>90+j10</b>    | 130,462668+j84,01628 | 228,168679+j11,21450  | 92,129087-j53,12043 |
| <b>80+j20</b>    | 116,242299+j69,83227 | 229,371891+j9,960657  | 82,074874-j44,57913 |
| <b>70+j30</b>    | 102,145734+j55,64835 | 230,575300+j8,717522  | 72,112197-j35,82203 |
| <b>60+j40</b>    | 87,9872656+j41,46438 | 231,778611+j7,469032  | 62,109795-j26,86013 |
| <b>50+j50</b>    | 73,8287948+j27,28042 | 232,98192+j6,2205414  | 52,111420-j17,68977 |
| <b>40+j60</b>    | 59,6703338+j13,09646 | 234,18523+j4,9720519  | 42,117082-j8,310938 |
| <b>30+j70</b>    | 45,5118629-j1,087511 | 235,38854+j3,7235615  | 32,126765+j1,27636  |
| <b>20+j80</b>    | 31,3533951-j15,27147 | 236,59185+j2,4750713  | 22,140479+j11,0721  |
| <b>10+j90</b>    | 17,1949312-j29,45544 | 237,79516+j1,2265815  | 12,158226+j21,0764  |
| <b>0+j100</b>    | 3,0364604-j43,639413 | 238,99847-j0,02190888 | 2,1799965+j31,2891  |

Vektorski dijagram (slika 5.16.) opisuje ovisnost prividne snage  $S_1$  na početku elektroenergetskog voda i pripadajuće joj struje  $I_1$  na početku voda pomoću točnog  $\pi$  - modela voda po vrijednostima iz tablice 5.12.



Slika 5.16. Vektorski dijagram struja  $I_1$  i prividnih snaga  $S_1$  na početku voda, ako su zadani parametri induktivne prividne snage  $S_2$  na kraju voda točnog  $\pi$  modela voda kod nazivnog napona 400 kV

Tablica 5.13. Dobiveni rezultati gubitaka faznog napona  $\Delta V$  i prividne snage  $\Delta S$ , ako su zadani parametri induktivne prividne snage  $S_2$  na kraju voda i duljine voda  $\ell$  od 160 km nazivnog napona 400 kV kod točnog  $\pi$  modela voda

| $S_2/\text{MVA}$ | $\Delta V/\text{kV}$  | $\Delta S/\text{MVA}$ |                      |
|------------------|-----------------------|-----------------------|----------------------|
| <b>100+j0</b>    | 3,9747391-j12,462992  | 2,1435755-j61,4569330 | 61,494305∠-1,535931° |
| <b>90+j10</b>    | 2,7714283-j11,214502  | 2,1290865-j63,1204313 | 63,156329∠-1,537079° |
| <b>80+j20</b>    | 1,5682170-j9,9606573  | 2,0748742-j64,5791286 | 64,612452∠-1,538678° |
| <b>70+j30</b>    | 0,3648076-j8,7175219  | 2,1121967-j65,8220346 | 65,855916∠-1,538718° |
| <b>60+j40</b>    | -0,838503-j7,46903184 | 2,1097950-j66,8601332 | 66,893413∠-1,539251° |
| <b>50+j50</b>    | -2,041813-j6,22054144 | 2,1114203-j67,6897720 | 67,722694∠-1,539614° |
| <b>40+j60</b>    | -3,245124-j4,97205189 | 2,1170816-j68,3109385 | 68,343737∠-1,539814° |
| <b>30+j70</b>    | -4,448435-j3,72356148 | 2,1267650-j68,7236383 | 68,756539∠-1,539859° |
| <b>20+j80</b>    | -5,651745-j2,47507134 | 2,1404795-j68,9278755 | 68,961103∠-1,539752° |
| <b>10+j90</b>    | -6,855056-j1,22658153 | 2,1582259-j68,9236127 | 68,957395∠-1,539493° |
| <b>0+j100</b>    | -8,058366+j0,0219089  | 2,1799965-j68,7109405 | 61,745514∠-1,539079° |

5.4.2. Analiza približnog i točnog  $\pi$  - modela voda kod vrlo visokog napona te zadanim kapacitivnom snagom na kraju voda

- **Približan  $\pi$ - model voda**

Primjenom približnog  $\pi$  - modela elektroenergetskog voda, određuje se napon i struju na početku voda ako su podaci na kraju voda:

- nazivni napon  $U_2 = 400 \text{ kV}$

- duljina voda  $l = 160 \text{ km}$

- kapacitivna snaga na kraju voda od  $S_2 = 100 - j0 \text{ MVA}$  do  $S_2 = 0 - j100 \text{ MVA}$

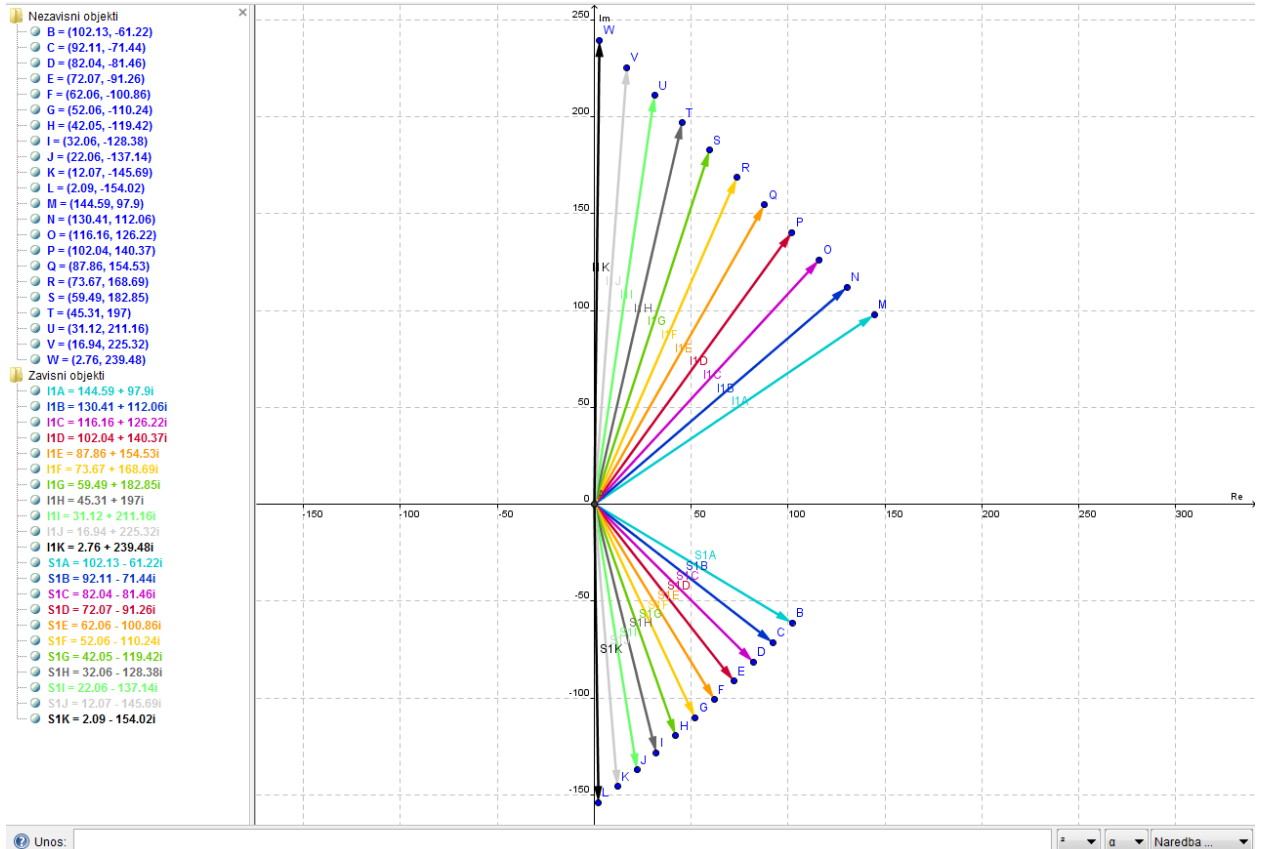
Uz pomoć slike 5.13. dobiva se izraze za izračun struja i napona približnog  $\pi$  - modela elektroenergetskog voda, te prvidnu snagu na početku elektroenergetskog voda  $S_1$ .

Dobiveni rezultati prikazani su u tablicama 5.14 i 5.15.

*Tablica 5.14. Dobiveni rezultati struja  $I_1$ , faznih napona  $V_1$  te prvidnih snaga  $S_1$  na početku voda, ako su zadani parametri kapacitivne prvidne snage  $S_2$  na kraju voda i duljine voda  $l$  od 160 km nazivnog napona 400 kV kod približnog  $\pi$ - modela voda*

| $S_2/\text{MVA}$ | $I_1/\text{A}$       | $V_1/\text{kV}$       | $S_1/\text{MVA}$    |
|------------------|----------------------|-----------------------|---------------------|
| <b>100-j0</b>    | 144,58941+j97,900168 | 226,95764+j12,539071  | 102,12975-j61,21852 |
| <b>90-j10</b>    | 130,40617+j112,05776 | 225,70116+j11,328781  | 92,106905-j71,44267 |
| <b>80-j20</b>    | 116,16102+j126,2153  | 224,44459+j10,113104  | 82,044423-j81,46077 |
| <b>70-j30</b>    | 102,03967+j140,37294 | 223,18821+j8,9082020  | 72,073568-j91,26179 |
| <b>60-j40</b>    | 87,856428+j154,53054 | 221,93173+j7,69791246 | 62,06308-j100,85675 |
| <b>50-j50</b>    | 73,673182+j168,68813 | 220,67525+j6,4876229  | 52,05669-j110,24199 |
| <b>40-j60</b>    | 59,489936+j182,84572 | 219,4188+j5,27733335  | 42,05444-j119,41751 |
| <b>30-j70</b>    | 45,306689+j197,00331 | 218,1623+j4,06704379  | 32,05629-j128,38329 |
| <b>20-j80</b>    | 31,123444+j211,16090 | 216,90582+j2,8567542  | 22,06227-j137,13935 |
| <b>10-j90</b>    | 16,940198+j225,31849 | 215,64934+j1,6464647  | 12,07236-j145,68568 |
| <b>0-j100</b>    | 2,7569517+j239,47609 | 214,39287+j0,4361751  | 2,086573-j154,02229 |

Vektorski dijagram (slika 5.17.) opisuje ovisnost prividne snage  $S_1$  na početku elektroenergetskog voda i pripadajuće joj struje  $I_1$  na početku voda približnog  $\pi$  modela voda po vrijednostima iz tablice 5.14.



Slika 5.17. Dobiveni vektorski dijagram struja  $I_1$  i prividnih snaga  $S_1$  na početku voda, ako su zadani parametri kapacitivne prividne snage  $S_2$  na kraju voda nazivnog napona 400 kV kod približnog  $\pi$ -modela voda

Tablica 5.15. Izračunati rezultati gubitaka faznog napona  $\Delta V$  i prividne snage  $\Delta S$ , ako su zadani parametri kapacitivne prividne snage  $S_2$  na kraju voda i duljine voda  $l$  od 160 km nazivnog napona 400 kV kod približnog  $\pi$ -modela voda

| $S_2/\text{MVA}$ | $\Delta V/\text{kV}$ | $\Delta S/\text{MVA}$ |                      |
|------------------|----------------------|-----------------------|----------------------|
| <b>100-j0</b>    | 3,982465-j12,5390707 | 2,129748-j61,21852365 | 61,255559∠-1,536021° |
| <b>90-j10</b>    | 5,238943-j11,3287811 | 2,106906-j61,44267221 | 61,478785∠-1,536519° |
| <b>80-j20</b>    | 6,4955213-j10,113104 | 2,044423-j61,46077411 | 61,494767∠-1,537545° |
| <b>70-j30</b>    | 7,751898-j8,90820201 | 2,073568-j61,26178777 | 61,296870∠-1,536962° |
| <b>60-j40</b>    | 9,008376-j7,69791246 | 2,0630755-j60,8567548 | 60,891714∠-1,536909° |
| <b>50-j50</b>    | 10,264853-j6,4876229 | 2,0566995-j60,2419946 | 60,277093∠-1,536669° |
| <b>40-j60</b>    | 11,521331-j5,2773334 | 2,0544405-j59,4175073 | 59,453014∠-1,536234° |
| <b>30-j70</b>    | 12,777808-j4,0670438 | 2,0562983-j58,3832926 | 58,419493∠-1,535590° |
| <b>20-j80</b>    | 14,034286-j2,8567542 | 2,0622729-j57,1393509 | 57,176555∠-1,534719° |
| <b>10-j90</b>    | 15,290763-j1,6464647 | 2,07236446-j55,685682 | 55,724231∠-1,533598° |
| <b>0-j100</b>    | 16,547241-j0,4361751 | 2,08657287-j54,022286 | 54,062567∠-1,532191° |

- **Točan  $\pi$ -model voda**

Primjenom točnog  $\pi$  - modela elektroenergetskog voda, određuje se napon i struju na početku voda ako su podaci na kraju voda:

- nazivni napon  **$U_2 = 400 \text{ kV}$**
- duljina voda  **$l = 160 \text{ km}$**
- kapacitivna snaga na kraju voda od  **$S_2 = 100 - j0 \text{ MVA}$**  do  **$S_2 = 0 - j100 \text{ MVA}$**

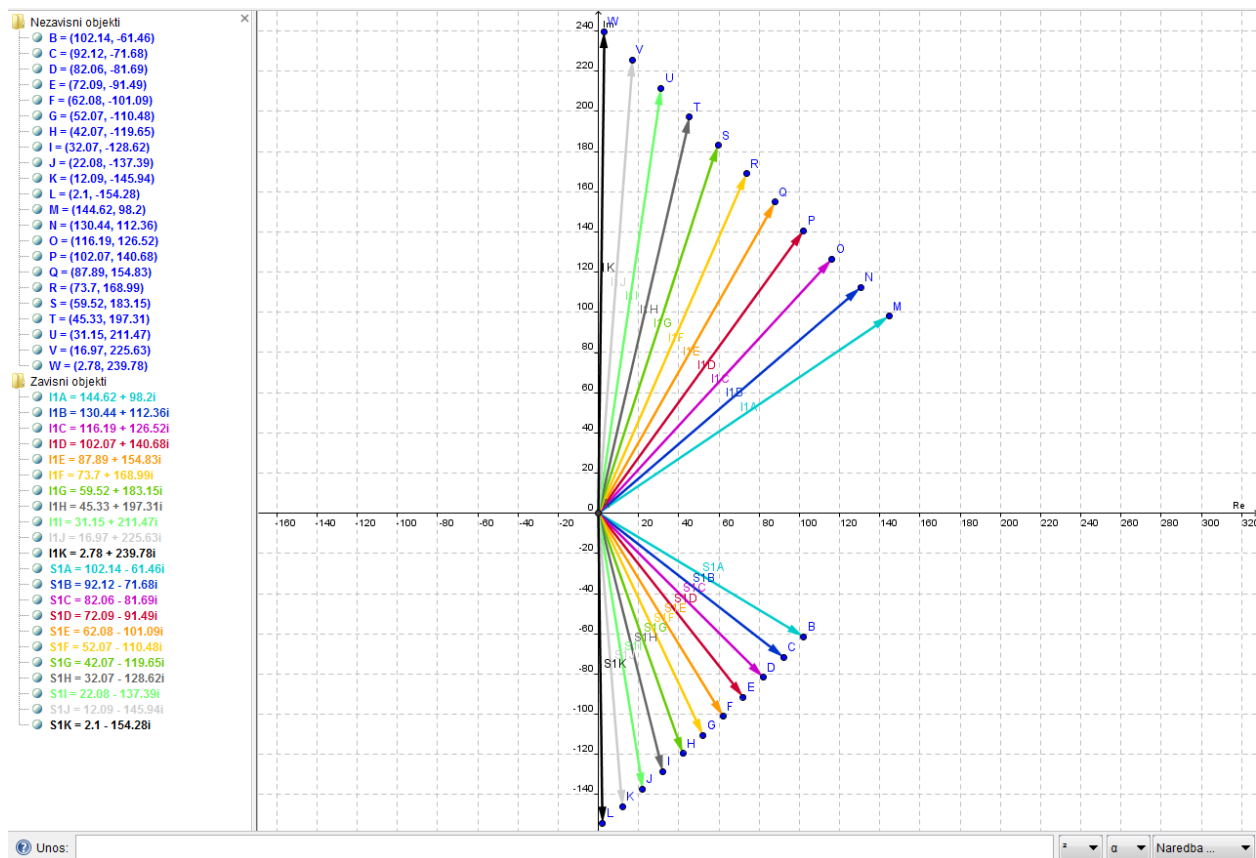
Uz pomoć slike 5.15., dobiva se izraze za izračun struja i napona točnog  $\pi$  - modela elektroenergetskog voda, te prividnu snagu na početku elektroenergetskog voda  $S_I$ .

Dobiveni rezultati prikazani su u tablicama 5.16 i 5.17.

Tablica 5.16. Rezultati struja  $I_1$ , faznih napona  $V_1$  te prividnih snaga  $S_1$  na početku voda, ako su zadani parametri kapacitivne prividne snage  $S_2$  na kraju voda i duljine voda  $\ell$  od 160 km točnog  $\pi$ -modela voda kod nazivnog napona 400 kV

| $S_2/\text{MVA}$ | $I_1/\text{A}$       | $V_1/\text{kV}$      | $S_1/\text{MVA}$    |
|------------------|----------------------|----------------------|---------------------|
| <b>100-j0</b>    | 144,621136+j98,20025 | 226,965369+j12,46299 | 102,14358-j61,45693 |
| <b>90-j10</b>    | 130,43717+j112,35872 | 225,716878+j11,25968 | 92,120983-j71,67774 |
| <b>80-j20</b>    | 116,19130+j126,51713 | 224,468289+j10,05102 | 82,058666-j81,69373 |
| <b>70-j30</b>    | 102,06924+j140,67566 | 223,219898+j8,853061 | 72,087885-j91,49394 |
| <b>60-j40</b>    | 87,885271+j154,83412 | 221,971408+j7,649750 | 62,077379-j101,0893 |
| <b>50-j50</b>    | 73,701305+j168,99259 | 220,722918+j6,446439 | 52,070903-j110,4763 |
| <b>40-j60</b>    | 59,517339+j183,15106 | 219,474428+j5,243129 | 42,068456-j119,6547 |
| <b>30-j70</b>    | 45,333373+j197,30953 | 218,225938+j4,039819 | 32,070037-j128,6248 |
| <b>20-j80</b>    | 31,149406+j211,46799 | 216,977448+j2,836508 | 22,075648-j137,3863 |
| <b>10-j90</b>    | 16,965371+j225,62646 | 215,728957+j1,633198 | 12,085243-j145,9394 |
| <b>0-j100</b>    | 2,781474+j239,784928 | 214,480467+j0,429887 | 2,098957-j154,28396 |

Vektorski dijagram (slika 5.18.) opisuje ovisnost prividne snage  $S_1$  na početku elektroenergetskog voda i pripadajuće joj struje  $I_1$  na početku voda točnog  $\pi$ -modela voda po vrijednostima iz tablice 5.16.



Slika 5.18. Vektorski dijagram dobivenih struja  $I_1$  i prividnih snaga  $S_1$  na početku voda sa tablice 5.16., ako su zadani parametri kapacitivne prividne snage  $S_2$  na kraju voda točnog  $\pi$ -modela voda kod nazivnog napona 400 kV

Tablica 5.17. Rezultati izračunatih gubitaka faznog napona  $\Delta V$  i prividne snage  $\Delta S$ , ako su zadani parametri kapacitivne prividne snage  $S_2$  na kraju voda i duljine voda  $\ell$  od 160 km nazivnog napona 400 kV kod točnog  $\pi$ -modela voda

| $S_2/\text{MVA}$ | $\Delta V/\text{kV}$ | $\Delta S/\text{MVA}$ |                      |
|------------------|----------------------|-----------------------|----------------------|
| 100-j0           | 3,9747391-j12,462992 | 2,1435755-j61,4569330 | 61,494305∠-1,535911° |
| 90-j10           | 5,2232293-j11,259682 | 2,1209829-j61,6777355 | 61,714193∠-1,536422° |
| 80-j20           | 6,4718181-j10,051016 | 2,0586659-j61,6937305 | 61,728069∠-1,537439° |
| 70-j30           | 7,7202095-j8,8530608 | 2,0878849-j61,4939407 | 61,529375∠-1,536857° |
| 60-j40           | 8,9686996-j7,6497503 | 2,0773794-j61,0893436 | 61,124655∠-1,536804° |
| 50-j50           | 10,217189-j6,4464397 | 2,0709031-j60,4762798 | 60,511727∠-1,536566° |
| 40-j60           | 11,465679-j5,2431292 | 2,0684557-j59,6547496 | 59,690599∠-1,536136° |
| 30-j70           | 12,71417-j4,03981867 | 2,0700374-j58,6247528 | 58,661288∠-1,535501° |
| 20-j80           | 13,962660-j2,8365081 | 2,0756482-j57,3862895 | 57,423815∠-1,534642° |
| 10-j90           | 15,211150-j1,6331976 | 2,0852429-j55,9393596 | 55,978212∠-1,533537° |
| 0-j100           | 16,459640-j0,4298871 | 2,0989569-j54,2839632 | 54,324527∠-1,532149° |

5.4.3. Analiza približnog i točnog  $\pi$  - modela voda kod vrlo visokog napona te zadanim induktivnom snagom na početku voda

- **Približan  $\pi$ -model voda**

Primjenom približnog  $\pi$  - modela elektroenergetskog voda, određuje se napon i struju na kraju elektroenergetskog voda ako su podaci na početku elektroenergetskog voda:

- nazivni napon  $\mathbf{U}_1 = 400 \text{ kV}$
- duljina voda  $l = 160 \text{ km}$
- induktivna snaga na početku voda od  $S_1 = 100 + j0 \text{ MVA}$  do  $S_1 = 0 + j100 \text{ MVA}$

Uz pomoć slike 5.13. dobiva se izraze za izračun struja i napona približnog  $\pi$  - modela elektroenergetskog voda, te prividnu snagu na kraju elektroenergetskog voda  $S_2$ .

**Ako je zadana prividna snaga na kraju voda  $S_1 = 100 + j0 \text{ MVA}$  slijedi:**

$$\bar{Z} = (R_1 + j2\pi f L_1) \cdot l = 1,6 + j85,45132 \Omega ,$$

$$\bar{Y} = (G_1 + j2\pi f C_1) \cdot l = 1,28 \cdot 10^{-5} + j42,72566 \cdot 10^{-5} \text{ S} ,$$

$$\frac{\bar{Y}}{2} = 0,64 \cdot 10^{-5} + j21,36283 \cdot 10^{-5} \text{ S} ,$$

$$V_1 = \frac{U_1}{\sqrt{3}} = 230940,1077 \text{ V} = 230,9401077 \text{ kV} ,$$

$$\bar{I}_1 = \frac{\bar{S}_1^*}{\sqrt{3} \cdot \bar{U}_1^*} = 144,3375673 \text{ A} ,$$

$$\bar{I}_{10} = \bar{V}_1 \cdot \frac{\bar{Y}}{2} = 1,4780167 + j49,335343 \text{ A} ,$$

$$\bar{I}_{12} = \bar{I}_1 + \bar{I}_{10} = 145,815584 + j49,335343 \text{ A} ,$$

$$\Delta \bar{V} = (\bar{I}_{12}) \cdot (\bar{Z}) = 3,982465248 - j12,53907068 \text{ kV} ,$$

$$\bar{V}_2 = \bar{V}_1 - ((\bar{I}_{12}) \cdot (\bar{Z})) = 234922,6657 - j12539,34481 \text{ V} ,$$

$$\bar{U}_2 = (\bar{V}_2) \cdot \sqrt{3} = 406897,9928 - j21718,78231 \text{ V} ,$$

$$\bar{I}_2 = \bar{I}_{12} - (\bar{V}_2) \cdot \left( \frac{\bar{Y}}{2} \right) = 141,63332 - j0,7705348982 \text{ A} ,$$

$$\bar{S}_2 = \sqrt{3} \cdot \bar{U}_2 \cdot \bar{I}_2^* = 99,84761726 - j4,784918773 \text{ MVA} ,$$

$$\Delta \bar{S} = \bar{S}_1 - \bar{S}_2 = -0,15238274 - j4,784918773 \text{ MVA} .$$

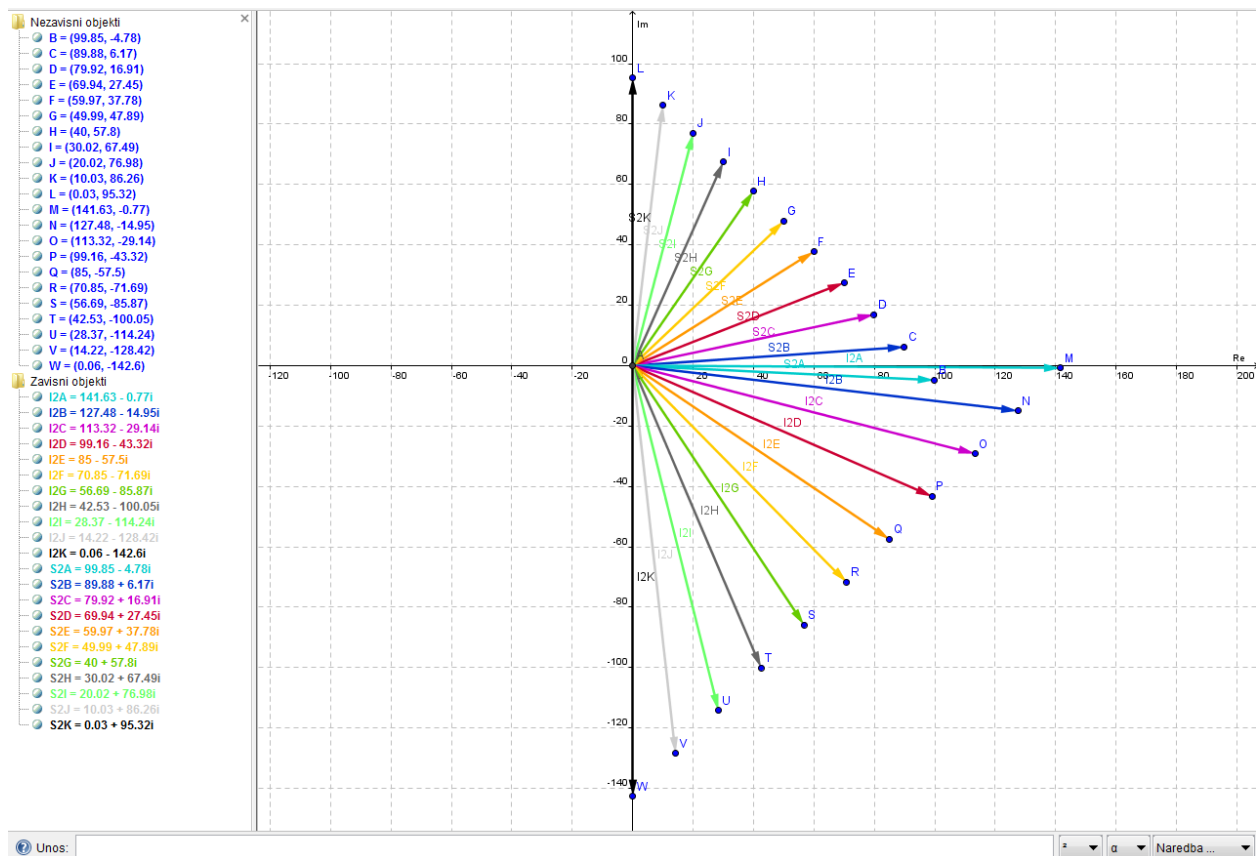
Na isti se način izračunava i ostali dio proračuna.

Dobiveni rezultati prikazani su u tablicama 5.18 i 5.19.:

*Tablica 5.18. Rezultati struja  $I_2$ , faznih napona  $V_2$  te prividnih snaga  $S_2$  na kraju voda, ako su zadani parametri induktivne prividne snage  $S_1$  na početku voda i duljine voda  $\ell$  od 160 km nazivnog napona 400 kV kod približnog  $\pi$ -modela voda*

| <b>S<sub>1</sub>/MVA</b> | <b>I<sub>2</sub>/A</b> | <b>V<sub>2</sub>/kV</b> | <b>S<sub>2</sub>/MVA</b> |
|--------------------------|------------------------|-------------------------|--------------------------|
| <b>100+j0</b>            | 141,63332-j0,7705349   | 234,922666-j12,539345   | 99,847617-j4,784919      |
| <b>90+j10</b>            | 127,47579-j14,953763   | 233,712283-j11,282593   | 89,884123+j6,16986       |
| <b>80+j20</b>            | 113,318196-j29,13701   | 232,501994-j10,026116   | 79,916512+j16,9148       |
| <b>70+j30</b>            | 99,1606041-j43,32026   | 231,291704-j8,7696379   | 69,944784+j27,4500       |
| <b>60+j40</b>            | 85,0025109-j57,50350   | 230,081415-j7,5131604   | 59,968593+j37,7755       |
| <b>50+j50</b>            | 70,8454206-j71,68675   | 228,871125-j6,2566828   | 49,988977+j47,8913       |
| <b>40+j60</b>            | 56,6878289-j85,86999   | 227,660836-j5,0002052   | 40,00489+j57,79735       |
| <b>30+j70</b>            | 42,530238-j100,05324   | 226,450546-j3,7437276   | 30,01670+j67,49367       |
| <b>20+j80</b>            | 28,372646-j114,23649   | 225,240257-j2,4872501   | 20,02439+j76,98026       |
| <b>10+j90</b>            | 14,215054-j128,41973   | 224,029967-j1,2307725   | 10,02796+j86,25712       |
| <b>0+j100</b>            | 0,0574621-j142,60298   | 222,819677+j0,025705    | 0,02741+j95,324253       |

Vektorski dijagram (slika 5.19.) opisuje ovisnost prividne snage  $S_2$  na kraju elektroenergetskog voda i pripadajuće joj struje  $I_2$  na kraju voda približnog  $\pi$  modela voda po vrijednostima iz tablice 5.18.



Slika 5.19. Vektorski dijagram dobivenih struja  $I_2$  i prividnih snaga  $S_2$  na kraju voda iz tablice 5.18., ako su zadani parametri induktivne prividne snage  $S_1$  na početku voda približnog  $\pi$ -modela voda kod nazivnog napona 400 kV

Tablica 5.19. Izračunati gubici faznog napona  $\Delta V$  i prividne snage  $\Delta S$ , ako su zadani parametri induktivne prividne snage  $S_1$  na početku voda i duljine voda  $\ell$  od 160 km nazivnog napona 400 kV kod približnog  $\pi$ -modela voda

| $S_1/\text{MVA}$ | $\Delta V/\text{kV}$  | $\Delta S/\text{MVA}$ |
|------------------|-----------------------|-----------------------|
| <b>100+j0</b>    | 3,982465-j12,5390707  | -0,1523827-j4,7849188 |
| <b>90+j10</b>    | 2,772176-j11,2825931  | -0,1158767-j3,8301380 |
| <b>80+j20</b>    | 1,561886-j10,0261155  | -0,0834876-j3,0851859 |
| <b>70+j30</b>    | 0,3515966-j8,7696379  | -0,0552158-j2,5499609 |
| <b>60+j40</b>    | -0,8586929-j7,5131604 | -0,0314069-j2,2244518 |
| <b>50+j50</b>    | -2,0689825-j6,2566828 | -0,0110229-j2,1086924 |
| <b>40+j60</b>    | -3,2792721-j5,0002052 | 0,0048983-j2,20264901 |
| <b>30+j70</b>    | -4,4895616-j3,7437276 | 0,0167026-j2,50633278 |
| <b>20+j80</b>    | -5,6998512-j2,4872501 | 0,02438998-j3,0197437 |
| <b>10+j90</b>    | -6,9101407-j1,2307725 | 0,02796053-j3,7428817 |
| <b>0+j100</b>    | -8,120430+j0,0257051  | 0,02741419-j4,6757471 |

- **Točan  $\pi$ - model voda**

Primjenom točnog  $\pi$  - modela elektroenergetskog voda, određuje se napon i struju na kraju elektroenergetskog voda ako su podaci na početku elektroenergetskog voda:

- nazivni napon  $U_1 = 400 \text{ kV}$
- duljina voda  $l = 160 \text{ km}$
- induktivna snaga na početku voda od  $S_1 = 100 + j0 \text{ MVA}$  do  $S_1 = 0 + j100 \text{ MVA}$

Uz pomoć slike 5.15. dobiva se izraze za izračun struja i napona točnog  $\pi$  - modela elektroenergetskog voda, te prividnu snagu na kraju elektroenergetskog voda  $S_2$ .

*Ako je zadana prividna snaga na kraju voda  $S_1 = 100 + j0 \text{ MVA}$  slijedi:*

$$\bar{Z}_{\Pi} = Z \cdot \frac{sh \frac{\Theta}{2}}{\bar{\Theta}} = 1,565067138 + j84,93286605 \Omega,$$

$$\frac{\bar{Y}_{\Pi}}{2} = \frac{\bar{Y}}{2} \cdot \frac{\tanh \frac{\bar{\Theta}}{2}}{\frac{\bar{\Theta}}{2}} = 6,451408522 \cdot 10^{-6} + 2,142797008 \cdot 10^{-4} S,$$

$$V_1 = \frac{U_1}{\sqrt{3}} = 230940,1077 V = 230,9401077 kV ,$$

$$\bar{I}_1 = \frac{\bar{S}_1^*}{\sqrt{3} \cdot \bar{U}_1^*} = 144,3375673 A ,$$

$$\bar{I}_{10} = \bar{V}_1 \cdot \frac{\bar{Y}_{\Pi}}{2} = 1,489888979 + j49,48577718 A ,$$

$$\bar{I}_{12} = \bar{I}_1 + \bar{I}_{10} = 145,8274563 + j49,48577718 A ,$$

$$\Delta \bar{V} = (\bar{I}_{12}) \cdot (\bar{Z}_{\Pi}) = 3,974739125 - j12,46299237 kV ,$$

$$\bar{V}_2 = \bar{V}_1 - ((\bar{I}_{12}) \cdot (\bar{Z}_{\Pi})) = 234914,8468 - j12462,99237 V ,$$

$$\bar{U}_2 = (\bar{V}_2) \cdot \sqrt{3} = 406884,4502 - j21586,536 V ,$$

$$\bar{I}_2 = \bar{I}_{12} - (\bar{V}_2) \cdot \left( \frac{\bar{Y}_{\Pi}}{2} \right) = 141,6413584 - j0,7713020506 A ,$$

$$\bar{S}_2 = \sqrt{3} \cdot \bar{U}_2 \cdot \bar{I}_2^* = 99,84981224 - j4,752254598 MVA ,$$

$$\Delta \bar{S} = \bar{S}_1 - \bar{S}_2 = -0,15018776 - j4,752254598 MVA .$$

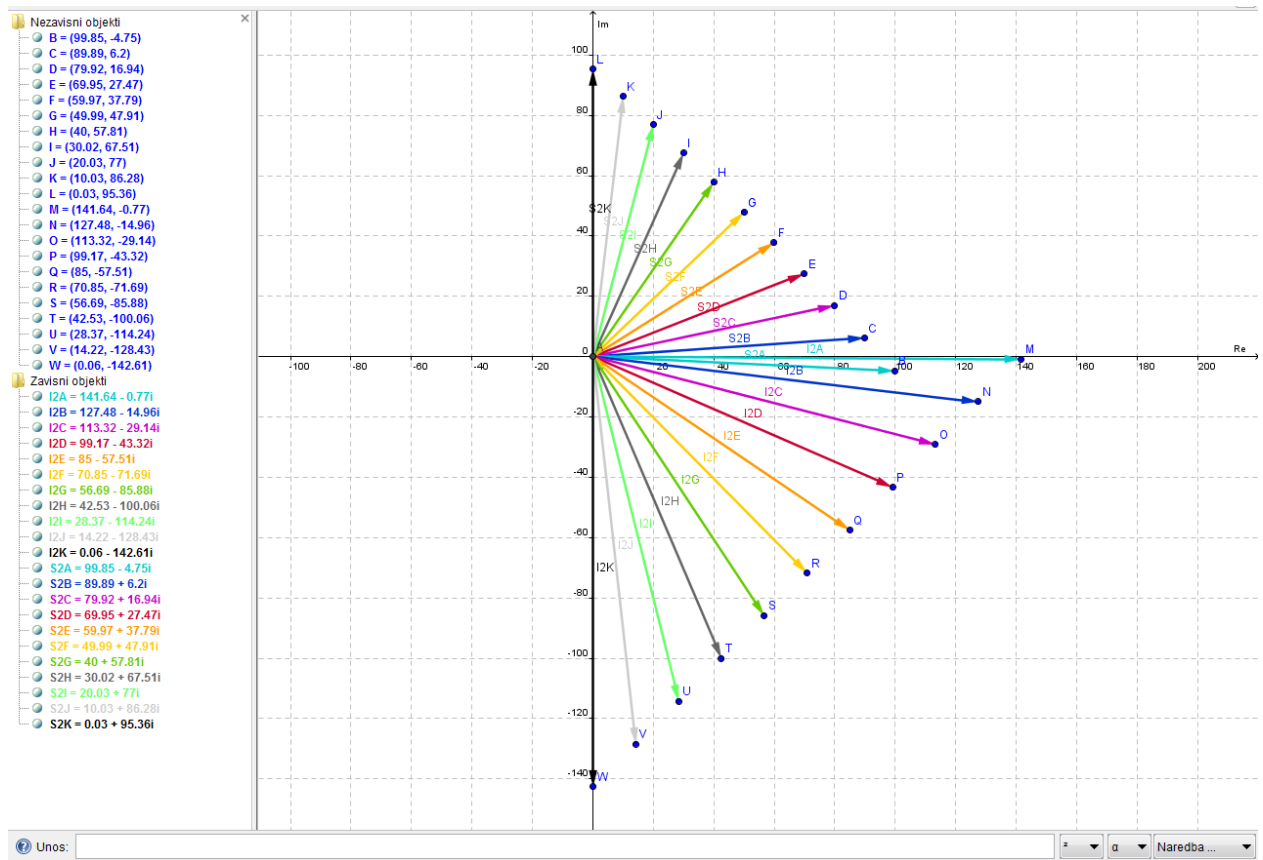
Na isti se način izračunava i ostali dio proračuna.

Dobiveni rezultati prikazani su u tablicama 5.20. i 5.21.:

*Tablica 5.20. Dobiveni rezultati struja  $I_2$ , faznih napona  $V_2$  te prividnih snaga  $S_2$  na kraju voda, ako su zadani parametri induktivne prividne snage  $S_1$  na početku voda i duljine voda  $\ell$  od 160 km točnog  $\pi$ -modela voda kod nazivnog napona 400 kV*

| $S_1/\text{MVA}$ | $I_2/\text{A}$       | $V_2/\text{kV}$       | $S_2/\text{MVA}$    |
|------------------|----------------------|-----------------------|---------------------|
| <b>100+j0</b>    | 141,64136-j0,7730205 | 234,914847-j12,462992 | 99,849812-j4,752255 |
| <b>90+j10</b>    | 127,48289-j14,955268 | 233,711536-j11,214502 | 89,885814+j6,19668  |
| <b>80+j20</b>    | 113,32442-j29,139235 | 232,508226-j9,9660121 | 79,917788+j16,9372  |
| <b>70+j30</b>    | 99,165956-j43,323201 | 231,304915-j8,7175219 | 69,945732+j27,4692  |
| <b>60+j40</b>    | 85,007488-j57,507167 | 230,101605-j7,4690319 | 59,969647+j37,7927  |
| <b>50+j50</b>    | 70,849019-j71,691133 | 228,898294-j6,2205475 | 49,989533+j47,9078  |
| <b>40+j60</b>    | 56,690553-j85,875099 | 227,694984-j4,9720516 | 40,005389+j57,8144  |
| <b>30+j70</b>    | 42,53209-j100,059066 | 226,491673-j3,7235615 | 30,017218+j67,5125  |
| <b>20+j80</b>    | 28,37362-j114,243032 | 225,288363-j2,4750714 | 20,025017+j77,0022  |
| <b>10+j90</b>    | 14,21515-j128,426998 | 224,085052-j1,2265812 | 10,028786+j86,2834  |
| <b>0+j100</b>    | 0,056682-j142,610964 | 222,881742+j0,021909  | 0,0285271+j95,3561  |

Vektorski dijagram (slika 5.20.) opisuje ovisnost prividne snage  $S_2$  na kraju elektroenergetskog voda i pripadajuće joj struje  $I_2$  na kraju voda točnog  $\pi$  modela voda po vrijednostima iz tablice 5.20.



Slika 5.20. Dobiven vektorski dijagram iz struja  $I_2$  i prividnih snaga  $S_2$  na kraju voda pomoću tablice 5.20., ako su zadani parametri induktivne prividne snage  $S_1$  na početku voda nazivnog napona 400 kV kod točnog  $\pi$ -modela voda

Tablica 5.21. Gubici faznog napona  $\Delta V$  i prividne snage  $\Delta S$ , ako su zadani parametri induktivne prividne snage  $S_1$  na početku voda i duljine voda  $\ell$  od 160 km nazivnog napona 400 kV kod točnog  $\pi$ -modela voda

| $S_1/\text{MVA}$ | $\Delta V/\text{kV}$  | $\Delta S/\text{MVA}$ |                      |
|------------------|-----------------------|-----------------------|----------------------|
| <b>100+j0</b>    | 3,9747391-j12,462992  | -0,1501878-j4,7522546 | 4,7546272∠-1,602389° |
| <b>90+j10</b>    | 2,7714286-j11,214502  | -0,1141855-j3,8033153 | 3,8050289∠-1,600809° |
| <b>80+j20</b>    | 1,5681181-j9,9660121  | -0,0822124-j3,0628426 | 3,0639458∠-1,597632° |
| <b>70+j30</b>    | 0,3648075-j8,7175219  | -0,0542683-j2,5308364 | 2,5314182∠-1,592236° |
| <b>60+j40</b>    | -0,838503-j7,46903187 | -0,0303532-j2,2072967 | 2,2075054∠-1,584547° |
| <b>50+j50</b>    | -2,041814-j6,22054175 | -0,0104668-j2,0922248 | 2,0922509∠-1,575799° |
| <b>40+j60</b>    | -3,245124-j4,97205162 | 0,00538977-j2,1856169 | 2,1856235∠-1,568330° |
| <b>30+j70</b>    | -4,448435-j3,72356149 | 0,01721768-j2,4874769 | 2,4875365∠-1,563875° |
| <b>20+j80</b>    | -5,651745-j2,47507137 | 0,02501654-j2,9978034 | 2,9979078∠-1,562452° |
| <b>10+j90</b>    | -6,855056-j1,22658125 | 0,02878635-j3,7165964 | 3,7167079∠-1,563051° |
| <b>0+j100</b>    | -8,058366+j0,0219089  | 0,02852710-j4,6438560 | 4,6439436∠-1,564653° |

5.4.4. Analiza približnog i točnog  $\pi$  - modela voda kod vrlo visokog napona te zadanim kapacitivnom snagom na početku voda

- **Približan  $\pi$ - model voda**

Primjenom približnog  $\pi$  - modela elektroenergetskog voda, određuje se napon i struju na kraju elektroenergetskog voda ako su podaci na početku elektroenergetskog voda:

- nazivni napon  $\mathbf{U}_1 = 400 \text{ kV}$

- duljina voda  $l = 160 \text{ km}$

- kapacitivna snaga na početku voda od  $S_1 = 100 - j0 \text{ MVA}$  do  $S_1 = 0 - j100 \text{ MVA}$

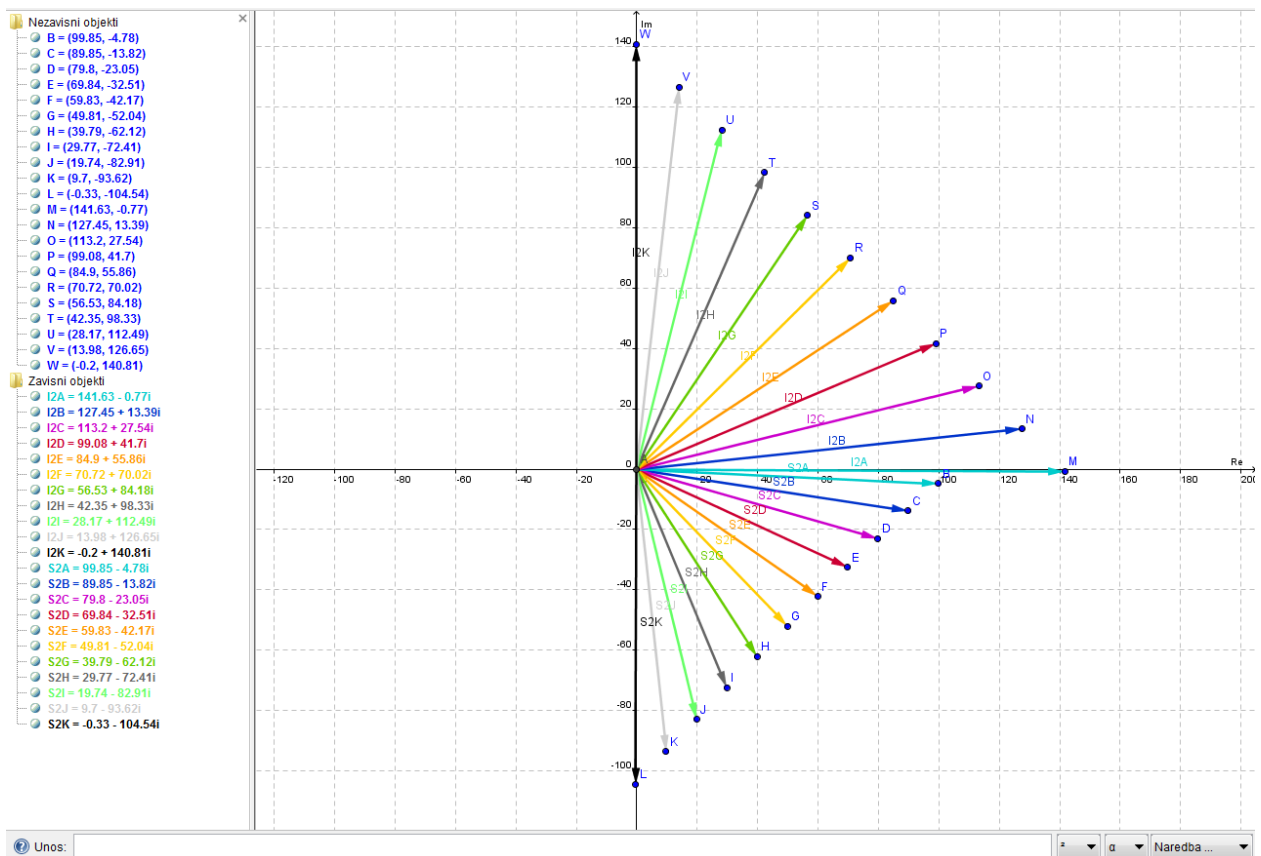
Uz pomoć slike 5.13. dobiva se izraze za izračun struja i napona približnog  $\pi$  - modela elektroenergetskog voda, te pravidnu snagu na kraju elektroenergetskog voda  $S_2$ .

Dobiveni rezultati prikazani su u tablici 5.22. i 5.23.:

Tablica 5.22. Rezultati dobivenih struja  $I_2$ , faznih napona  $V_2$  te pravidnih snaga  $S_2$  na kraju voda, ako su zadani parametri kapacitivne pravidne snage  $S_1$  na početku voda i duljine voda  $l$  od 160 km nazivnog napona 400 kV kod približnog  $\pi$ - modela voda

| $S_1/\text{MVA}$ | $I_2/\text{A}$       | $V_2/\text{kV}$       | $S_2/\text{MVA}$    |
|------------------|----------------------|-----------------------|---------------------|
| <b>100-j0</b>    | 141,633379-j0,770517 | 234,922573-j12,539071 | 99,847618-j4,784817 |
| <b>90-j10</b>    | 127,45013+j13,387075 | 236,179051-j11,328781 | 89,848177-j13,81680 |
| <b>80-j20</b>    | 113,20499+j27,544611 | 237,435629-j10,113104 | 79,801009-j23,05478 |
| <b>70-j30</b>    | 99,083641+j41,702258 | 238,692006-j8,9082020 | 69,836943-j32,50996 |
| <b>60-j40</b>    | 84,900395+j55,859849 | 239,948483-j7,6979125 | 59,825150-j42,17113 |
| <b>50-j50</b>    | 70,717149+j70,017442 | 241,204961-j6,4876229 | 49,809241-j52,04202 |
| <b>40-j60</b>    | 56,533903+j84,175033 | 242,461438-j5,2773334 | 39,789215-j62,12264 |
| <b>30-j70</b>    | 42,350657+j98,332625 | 243,717916-j4,0670438 | 29,765072-j72,41299 |
| <b>20-j80</b>    | 28,167410+j112,49022 | 244,974394-j2,8567542 | 19,736812-j82,91307 |
| <b>10-j90</b>    | 13,984164+j126,64781 | 246,230871-j1,6464647 | 9,704436-j93,622874 |
| <b>0-j100</b>    | -0,199082+j140,80540 | 247,487349-j0,4361751 | -0,33206-j104,54241 |

Vektorski dijagram (slika 5.21.) opisuje ovisnost prividne snage  $S_2$  na kraju elektroenergetskog voda i pripadajuće joj struje  $I_2$  na kraju voda približnog  $\pi$ -modela voda po vrijednostima iz tablice 5.22.



Slika 5.21. Vektorski dijagram struja  $I_2$  i prividnih snaga  $S_2$  na kraju voda iz tablice 5.22., ako su zadani parametri kapacitivne prividne snage  $S_1$  na početku voda nazivnog napona 400 kV kod približnog  $\pi$ -modela voda

Tablica 5.23. Izračunati gubici faznog napona  $\Delta V$  i prividne snage  $\Delta S$ , ako su zadani parametri kapacitivne prividne snage  $S_1$  na početku voda i duljine voda  $l$  od 160 km približnog  $\pi$ -modela voda kod nazivnog napona 400 kV

| $S_1/\text{MVA}$ | $\Delta V/\text{kV}$ | $\Delta S/\text{MVA}$ |                      |
|------------------|----------------------|-----------------------|----------------------|
| 100-j0           | 3,9824653-j12,539071 | -0,1523817-j4,7848175 | 4,7872433∠-1,602632° |
| 90-j10           | 5,2389423-j11,328878 | -0,1518235-j3,8168039 | 3,8198223∠-1,610553° |
| 80-j20           | 6,4955213-j10,113104 | -0,1989913-j3,0547773 | 3,0612517∠-1,635845° |
| 70-j30           | 7,7518979-j8,9082020 | -0,1630575-j2,5099583 | 2,5152492∠-1,635669° |
| 60-j40           | 9,0083756-j7,6979125 | -0,1748498-j2,1711262 | 2,1781555∠-1,651157° |
| 50-j50           | 10,264853-j6,4876229 | -0,1907589-j2,0420215 | 2,0509122∠-1,663943° |
| 40-j60           | 11,521331-j5,2773334 | -0,2107851-j2,1226438 | 2,1330839∠-1,669775° |
| 30-j70           | 12,777808-j4,0670438 | -0,2349279-j2,4129933 | 2,4244026∠-1,667849° |
| 20-j80           | 14,034286-2,85675424 | -0,2631878-j2,9130700 | 2,9249349∠-1,660899° |
| 10-j90           | 15,290763-j1,6464647 | -0,2955645-j3,6228740 | 3,6349105∠-1,652199° |
| 0-j100           | 16,547241-j0,4361751 | -0,33205804-j4,542405 | 4,5545259∠-1,643768° |

- Točan  $\pi$ -model voda

Primjenom točnog  $\pi$ -modela elektroenergetskog voda, određuje se napon i struju na kraju elektroenergetskog voda ako su podaci na početku elektroenergetskog voda:

- nazivni napon  $\mathbf{U}_1 = 400 \text{ kV}$
- duljina voda  $l = 160 \text{ km}$
- kapacitivna snaga na početku voda od  $S_1 = 100 - j0 \text{ MVA}$  do  $S_1 = 0 - j100 \text{ MVA}$

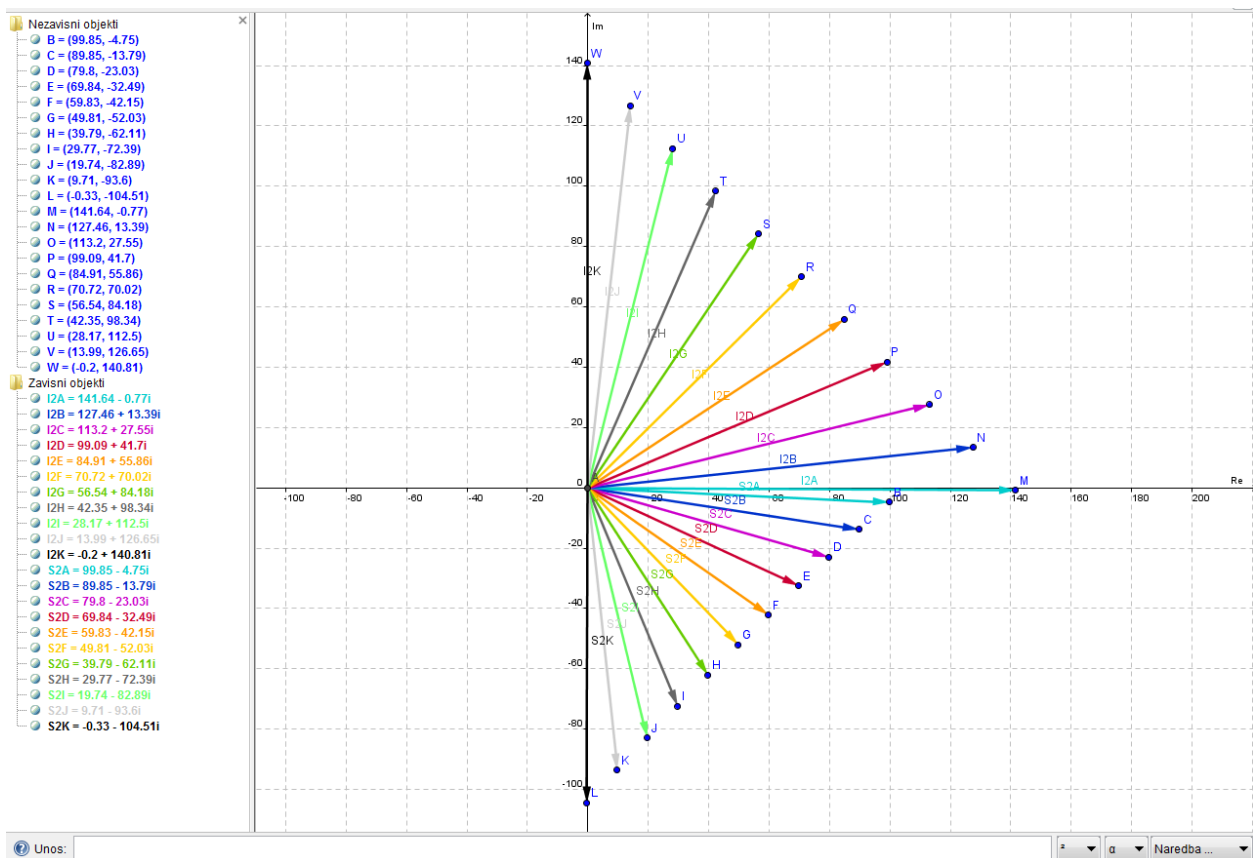
Uz pomoć slike 5.15. dobiva se izraze za izračun struja i napona točnog  $\pi$ -modela elektroenergetskog voda, te prividnu snagu na kraju elektroenergetskog voda  $S_2$ .

Dobiveni rezultati prikazani su u tablicama 5.24. i 5.25.

Tablica 5.24. Rezultati struja  $I_2$ , faznih napona  $V_2$  te prividnih snaga  $S_2$  na kraju voda, ako su zadani parametri kapacitivne prividne snage  $S_1$  na početku voda i duljine voda  $\ell$  od 160 km točnog  $\pi$ -modela voda kod nazivnog napona 400 kV

| $S_1/\text{MVA}$ | $I_2/\text{A}$       | $V_2/\text{kV}$       | $S_2/\text{MVA}$    |
|------------------|----------------------|-----------------------|---------------------|
| <b>100-j0</b>    | 141,641358-j0,771302 | 234,914847-j12,462992 | 99,849812-j4,752255 |
| <b>90-j10</b>    | 127,45739+j13,387166 | 236,163337-j11,259682 | 89,850084-j13,79006 |
| <b>80-j20</b>    | 113,21152+j27,545577 | 237,411926-j10,051016 | 79,802715-j23,03262 |
| <b>70-j30</b>    | 99,089459+j41,704101 | 238,660317-j8,8530608 | 69,838539-j32,49108 |
| <b>60-j40</b>    | 84,905493+j55,862568 | 239,908807-j7,6497503 | 59,826723-j42,15428 |
| <b>50-j50</b>    | 70,721527+j70,021036 | 241,157298-j6,4464397 | 49,810878-j52,02596 |
| <b>40-j60</b>    | 56,537561+j84,179504 | 242,405788-j5,2431292 | 39,791004-j62,10609 |
| <b>30-j70</b>    | 42,353595+j98,337971 | 243,654278-j4,0398187 | 29,767101-j72,39470 |
| <b>20-j80</b>    | 28,169629+j112,49644 | 244,902768-j2,8365081 | 19,739169-j82,89178 |
| <b>10-j90</b>    | 13,985662+j126,65491 | 246,151258-j1,6331976 | 9,707208-j93,597318 |
| <b>0-j100</b>    | -0,198304+j140,81337 | 247,399748-j0,4298871 | -0,32878-j104,51132 |

Vektorski dijagram (slika 5.22.) opisuje ovisnost prividne snage  $S_2$  na kraju elektroenergetskog voda i pripadajuće joj struje  $I_2$  na kraju voda točnog  $\pi$  - modela voda po vrijednostima iz tablice 5.24.



Slika 5.22. Vektorski dijagram struja  $I_2$  i prividnih snaga  $S_2$  na kraju voda iz tablice 5.24., ako su zadani parametri kapacitivne prividne snage  $S_1$  na početku voda nazivnog napona 400 kV kod točnog  $\pi$ -modela voda

Tablica 5.25. Gubici izračunatih faznog napona  $\Delta V$  i prividne snage  $\Delta S$ , ako su zadani parametri kapacitivne prividne snage  $S_1$  na početku voda i duljine voda  $\ell$  od 160 km točnog  $\pi$ -modela voda kod nazivnog napona 400 kV

| $S_1/\text{MVA}$ | $\Delta V/\text{kV}$ | $\Delta S/\text{MVA}$ |                      |
|------------------|----------------------|-----------------------|----------------------|
| 100-j0           | 3,974739-j12,4629924 | -0,1501878-j4,7522546 | 4.7546272∠-1.602389° |
| 90-j10           | 5,223229-j11,2596819 | -0,1499165-j3,7900621 | 3.7930259∠-1.610331° |
| 80-j20           | 6,471818-j10,0510164 | -0,1972852-j3,0326184 | 3.0390288∠-1.635759° |
| 70-j30           | 7,720209-j8,85306079 | -0,1614612-j2,4910768 | 2.4963039∠-1.635522° |
| 60-j40           | 8,968699-j7,64975026 | -0,1732771-j2,1542839 | 2.1612413∠-1.651057° |
| 50-j50           | 10,217189-j6,4464397 | -0,1891220-j2,0259575 | 2.0347656∠-1.663876° |
| 40-j60           | 11,465679-j5,2431292 | -0,2089961-j2,1060978 | 2.1164421∠-1.669706° |
| 30-j70           | 12,71417-j4,03981867 | -0,2328991-j2,3947045 | 2.4060032∠-1.667747° |
| 20-j80           | 13,962660-j2,8365081 | -0,2608312-j2,8917778 | 2.9035171∠-1.660750° |
| 10-j90           | 15,211150-j1,6331976 | -0,2927924-j3,5973176 | 3.6092134∠-1.652009° |
| 0-j100           | 16,459640-j0,4298871 | -0,3287826-j4,511324  | 4.5232889∠-1.643547° |

5.4.5. Analiza približnog  $\pi$  - modela voda kod srednjeg napona te zadanom induktivnom i kapacitivnom snagom na kraju voda

- **Približan  $\pi$ -model voda**

Primjenom približnog  $\pi$  - modela elektroenergetskog voda, određuje se napon i struju na početku voda ako su podaci na kraju voda:

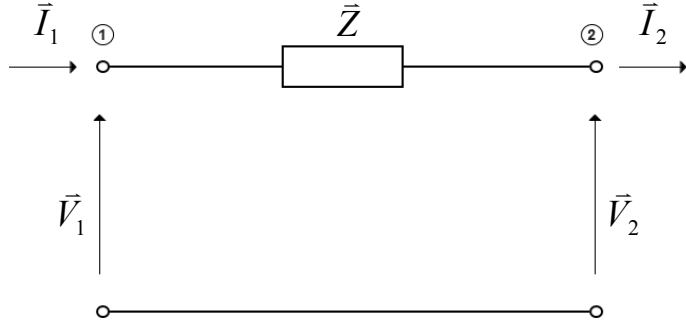
- nazivni napon  $U_2 = 20 \text{ kV}$

- duljina voda  $l = 20 \text{ km}$

- induktivna snaga na kraju voda od  $S_2 = 1000 + j0 \text{ kVA}$  do  $S_2 = 0 + j1000 \text{ kVA}$

$$\begin{aligned} \bar{I} &= \bar{I}_1 = \bar{I}_2 \\ \vec{V}_1 &= \vec{V}_2 + \bar{I} \cdot \bar{Z} \end{aligned} \quad (5.16)$$

$$\bar{Z} = R + jX \quad (5.17)$$



Slika 5.23. Približan nadomjesni model voda srednjeg napona

Uz pomoć slike 5.23., dobiva se izraze za izračun struja i napona približnog  $\pi$  - modela elektroenergetskog voda, te prividnu snagu na početku elektroenergetskog voda  $S_1$ .

Ako je zadana prividna snaga na kraju voda  $S_2 = 1000 + j0 \text{ kVA}$  slijedi:

$$\bar{Z} = (R_1 + j2 \cdot \pi \cdot f \cdot L_1) \cdot l = 4,4 + j6,912 \Omega ,$$

$$V_2 = \frac{U_2}{\sqrt{3}} = 11547,00538 V ,$$

$$\bar{I}_2 = \frac{\bar{S}_2^*}{\sqrt{3} \cdot \bar{U}_2^*} = 28,86751346 A ,$$

$$\Delta \vec{V} = (\bar{I}) \cdot \bar{Z} = -127,0170592 - j199,532253 V ,$$

$$\vec{V}_1 = \vec{V}_2 + (\bar{I}) \cdot \bar{Z} = 11674,02244 + j199,532253 V ,$$

$$\bar{U}_1 = \bar{V}_1 \cdot \sqrt{3} = 20219,99999 + j345,6 V ,$$

$$\bar{I} = \bar{I}_1 = \bar{I}_2 ,$$

$$\bar{S}_1 = \sqrt{3} \cdot \bar{U}_1 \cdot \bar{I}_1^* = 1011,000 + j17,280 \text{ kVA},$$

$$\Delta \bar{S} = \bar{S}_1 - \bar{S}_2 = 11 + j17,28 \text{ kVA}.$$

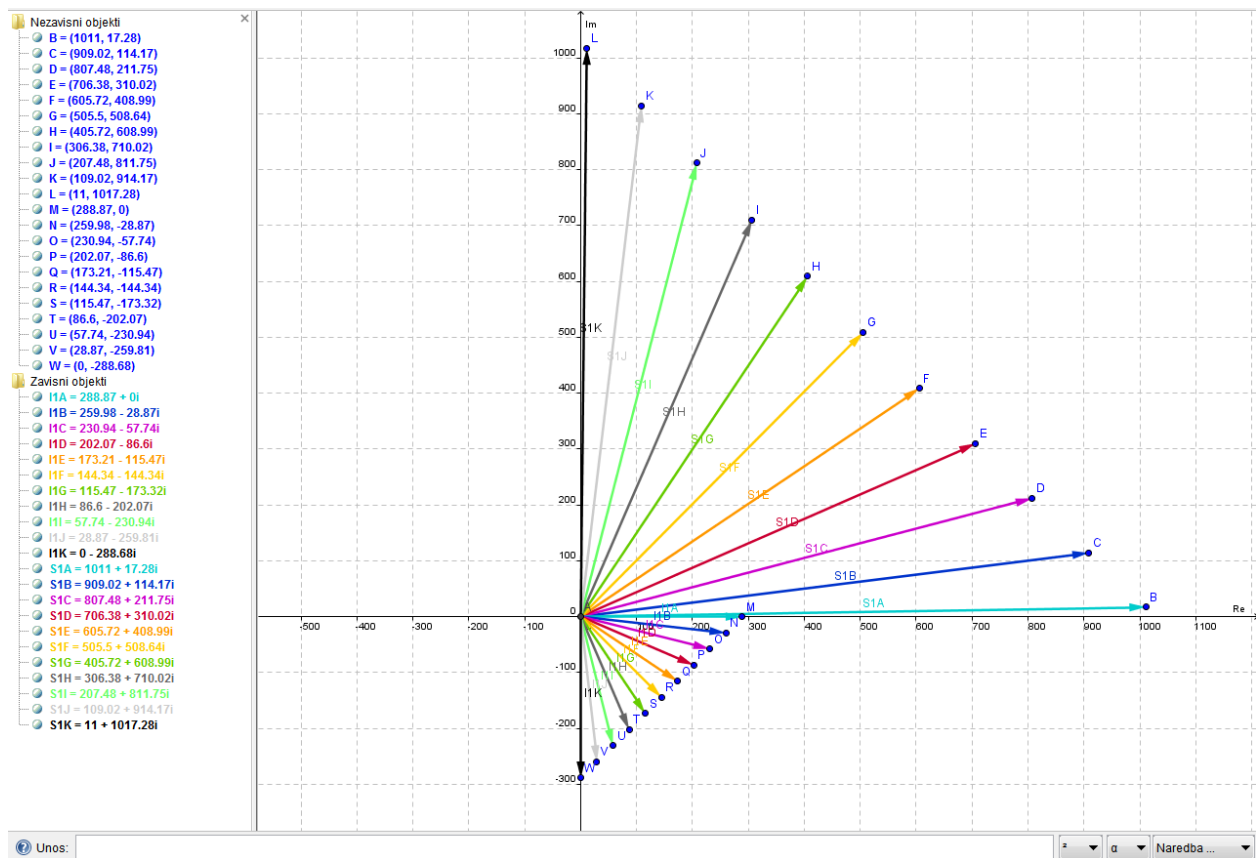
Na isti se način izračunava i ostali dio proračuna.

Dobiveni rezultati prikazani su u tablicama 5.26. i 5.27.:

*Tablica 5.26. Rezultati struja  $I_1$  odnosno  $I_2$ , faznih napona  $V_1$  te prividnih snaga  $S_1$  na početku voda, ako su zadani parametri induktivne prividne snage  $S_2$  na kraju voda i duljine voda  $\ell$  od 20 km približnog  $\pi$ -modela voda kod nazivnog napona 20 kV*

| $S_2/\text{kVA}$ | $I_1=I_2/\text{A}$   | $V_1/\text{V}$       | $S_1/\text{kVA}$    |
|------------------|----------------------|----------------------|---------------------|
| 1000+j0          | 28,86751346          | 11674,0224+j199,5322 | 1011,000+j17,280    |
| 900+j100         | 25,980762-j2,8867513 | 11681,2739+j166,8773 | 909,0199+j114,1696  |
| 800+j200         | 23,094011-j5,7735027 | 11688,5255+j134,2224 | 807,4799+j211,75039 |
| 700+j300         | 20,207259-j8,6602540 | 11695,777+j101,56746 | 706,3799+j310,02239 |
| 600+j400         | 17,320508-j11,547005 | 11703,0285+j68,91253 | 605,7199+j408,98559 |
| 500+j500         | 14,433757-j14,433757 | 11710,2800+j36,25759 | 505,4999+j508,63999 |
| 400+j600         | 11,547005-j17,320508 | 11717,53156+j3,60267 | 405,7199+j608,98559 |
| 300+j700         | 8,660254-j20,2072594 | 11724,78307-j29,0523 | 306,3799+j710,02239 |
| 200+j800         | 5,773503-j23,0940108 | 11732,03459-j61,7072 | 207,4799+j811,75039 |
| 100+j900         | 2,886751-j25,9807621 | 11739,28611-j94,3621 | 109,020+j914,169599 |
| 0+j1000          | -j28,86751346        | 11746,5376-j127,0170 | 11,000+j1017,280    |

Vektorski dijagram (slika 5.24.) opisuje ovisnost prividne snage  $S_1$  na početku elektroenergetskog voda i pripadajuće joj struje  $I_1$  na početku voda približnog  $\pi$  modela voda po vrijednostima iz tablice 5.26. Valja napomenuti da je struja  $I_1$  na početku voda skalirana tj. **uvećana 10 puta** zbog bolje vizualizacije.



Slika 5.24. Vektorski dijagram struja  $I_1$  (10 puta uvećana) i prividnih snaga  $S_1$  na početku voda, ako su zadani parametri induktivne prividne snage  $S_2$  na kraju voda nazivnog napona 20 kV kod približnog  $\pi$ -modela voda

Tablica 5.27. Izračunati gubici faznog napona  $\Delta V$  i prividne snage  $\Delta S$ , ako su zadani parametri induktivne prividne snage  $S_2$  na kraju voda i duljine voda  $\ell$  od 20 km približnog  $\pi$ -modela voda kod nazivnog napona 20 kV

| $S_2/kVA$       | $\Delta V/V$           | $\Delta S/kVA$   |                     |
|-----------------|------------------------|------------------|---------------------|
| <b>1000+j0</b>  | -127,017059-j199,53225 | 10,999999+j17,28 | 20,484101∠1,00392°  |
| <b>900+j100</b> | -134,268579-j166,87732 | 9,01999+j14,1696 | 16,7969576∠1,00392° |
| <b>800+j200</b> | -141,520098-j134,22239 | 7,47999+j11,7503 | 13,9290991∠1,00391° |
| <b>700+j300</b> | -148,771617-j101,56746 | 6,37999+j10,0223 | 11,8806889∠1,00391° |
| <b>600+j400</b> | -156,023137-j68,912528 | 5,71999+j8,98559 | 10,6517188∠1,00392° |
| <b>500+j500</b> | -163,274656-j36,257597 | 5,49999+j8,63999 | 10,2420368∠1,00392° |
| <b>400+j600</b> | -170,526176-j3,6026657 | 5,71999+j8,85599 | 10,5426204∠0,99731° |
| <b>300+j700</b> | -177,777695+j29,052266 | 6,37999+j10,0224 | 11,8807733∠1,00392° |
| <b>200+j800</b> | -185,029214+j61,707197 | 7,47999+j11,7504 | 13,9291834∠1,00392° |
| <b>100+j900</b> | -192,280734+j94,362128 | 9,02+j14,1695994 | 16,7969624∠1,00392° |
| <b>0+j1000</b>  | -199,532253+j127,01706 | 11,000+j17,28    | 20,4841012∠1,00392° |

- Približan  $\pi$ - model voda

Primjenom približnog  $\pi$  - modela elektroenergetskog voda, određuje se napon i struju na početku voda ako su podaci na kraju voda:

- nazivni napon  $U_2 = 20 \text{ kV}$

- duljina voda  $l = 20 \text{ km}$

- kapacitivna snaga na kraju voda od  $S_2 = 1000 - j0 \text{ kVA}$  do  $S_2 = 0 - j1000 \text{ kVA}$

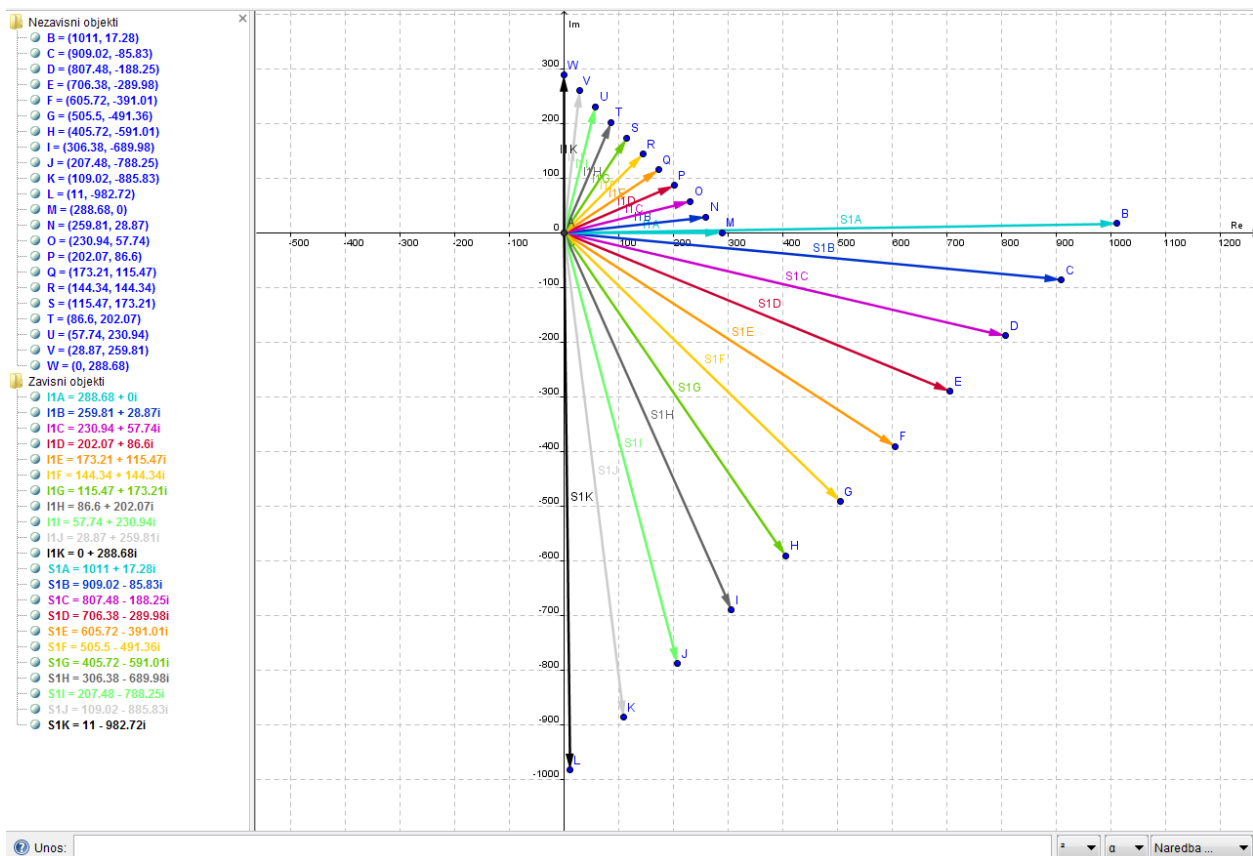
Uz pomoć slike 5.23., dobiva se izraze za izračun struja i napona približnog  $\pi$  - modela elektroenergetskog voda, te pravidnu snagu na početku elektroenergetskog voda  $S_1$ .

Dobiveni rezultati prikazani su u tablici 5.28 i 5.29.:

*Tablica 5.28. Dobiveni iznosi struja  $I_1$  odnosno  $I_2$ , faznih napona  $V_1$  te pravidnih snaga  $S_1$  na početku voda, ako su zadani parametri kapacitivne pravidne snage  $S_2$  na kraju voda i duljine voda  $l$  od 20 km nazivnog napona 20 kV kod približnog  $\pi$ - modela voda*

| $S_2/\text{kVA}$ | $I_1=I_2/\text{A}$   | $V_1/\text{V}$       | $S_1/\text{kVA}$    |
|------------------|----------------------|----------------------|---------------------|
| <b>1000-j0</b>   | 28,86751346          | 11674,0224+j199,5323 | 1011,000+j17,280    |
| <b>900-j100</b>  | 25,980762+j2,8867513 | 11641,3675+j192,2807 | 909,01999-j85,83039 |
| <b>800-j200</b>  | 23,094011+j5,7735027 | 11608,7126+j185,0292 | 807,4799-j188,24959 |
| <b>700-j300</b>  | 20,207259+j8,6602540 | 11576,0577+j177,7777 | 706,3799-j289,97759 |
| <b>600-j400</b>  | 17,320508+j11,547005 | 11543,4027+j170,5262 | 605,7199-j391,01439 |
| <b>500-j500</b>  | 14,433757+j14,433757 | 11510,7478+j163,2747 | 505,4999-j491,35999 |
| <b>400-j600</b>  | 11,547005+j17,320508 | 11478,0929+j156,0231 | 405,7199-j591,01439 |
| <b>300-j700</b>  | 8,660254+j20,2072594 | 11445,4379+j148,7716 | 306,3799-j689,97759 |
| <b>200-j800</b>  | 5,773503+j23,0940108 | 11412,7829+j141,5201 | 207,4799-j788,24959 |
| <b>100-j900</b>  | 2,886751+j25,9807621 | 11380,1281+j134,2686 | 109,020-j885,830399 |
| <b>0-j1000</b>   | j28,86751346         | 11347,4731+j127,0171 | 11,000-j982,7199995 |

Vektorski dijagram (slika 5.25.) opisuje ovisnost pravidne snage  $S_1$  na početku elektroenergetskog voda i pripadajuće joj struje  $I_1$  na početku voda približnog  $\pi$  modela voda po vrijednostima iz tablice 5.28. Valja napomenuti da je struja  $I_1$  na početku voda skalirana tj. **uvećana 10 puta** zbog bolje vizualizacije.



*Slika 5.25. Izgled vektorskog dijagrama struja  $I_1$  (10 puta uvećana) i prividnih snaga  $S_1$  na početku voda, ako su zadani parametri kapacitivne prividne snage  $S_2$  na kraju voda približnog  $\pi$ -modela voda kod nazivnog napona 20 kV*

*Tablica 5.29. Gubici izračunatih faznih napona  $\Delta V$  i prividnih snaga  $\Delta S$ , ako su zadani parametri kapacitivne prividne snage  $S_2$  na kraju voda i duljine voda  $\ell$  od 20 km približnog  $\pi$ -modela voda kod nazivnog napona 20 kV*

| $S_2/kVA$       | $\Delta V/V$           | $\Delta S/kVA$    |                      |
|-----------------|------------------------|-------------------|----------------------|
| <b>1000-j0</b>  | -127,017059-j199,53225 | 10,999999+j17,28  | 20,484101∠1,00392°   |
| <b>900-j100</b> | -94,362128-j192,280734 | 9,019999+j14,1696 | 16,79696241∠1,00392° |
| <b>800-j200</b> | -61,707197-j185,029214 | 7,479999+j11,7504 | 13,92918825∠1,00392° |
| <b>700-j300</b> | -29,052266-j177,777695 | 6,379999+j10,0224 | 11,88077813∠1,00392° |
| <b>600-j400</b> | 3,60266564-j170,526176 | 5,719999+j8,98560 | 10,65173206∠1,00392° |
| <b>500-j500</b> | 36,2575969-j163,274656 | 5,499999+j8,64000 | 10,24205004∠1,00392° |
| <b>400-j600</b> | 68,912528-j156,023137  | 5,719999+j8,98560 | 10,65173206∠1,00392° |
| <b>300-j700</b> | 101,567459-j148,771617 | 6,379999+j10,0224 | 11,88077813∠1,00392° |
| <b>200-j800</b> | 134,222391-j141,520098 | 7,479999+j11,7504 | 13,92918825∠1,00392° |
| <b>100-j900</b> | 166,877322-j134,268579 | 9,02+j14,169601   | 16,79696379∠1,00392° |
| <b>0-j1000</b>  | 199,532253-j127,017059 | 11+j17,280001     | 20,484102∠1,00392°   |

5.4.6. Analiza približnog  $\pi$  - modela voda kod srednjeg napona te zadanom induktivnom i kapacitivnom snagom na početku voda

- **Približan  $\pi$ -model voda**

Primjenom približnog  $\pi$  - modela elektroenergetskog voda, određuje se napon i struju na kraju voda ako su podaci na početku voda:

- nazivni napon  $\mathbf{U}_1 = 20 \text{ kV}$
- duljina voda  $\ell = 20 \text{ km}$
- induktivna snaga na kraju voda od  $S_I = 1000 + \mathbf{j}0 \text{ kVA}$  do  $S_I = 0 + \mathbf{j}1000 \text{ kVA}$

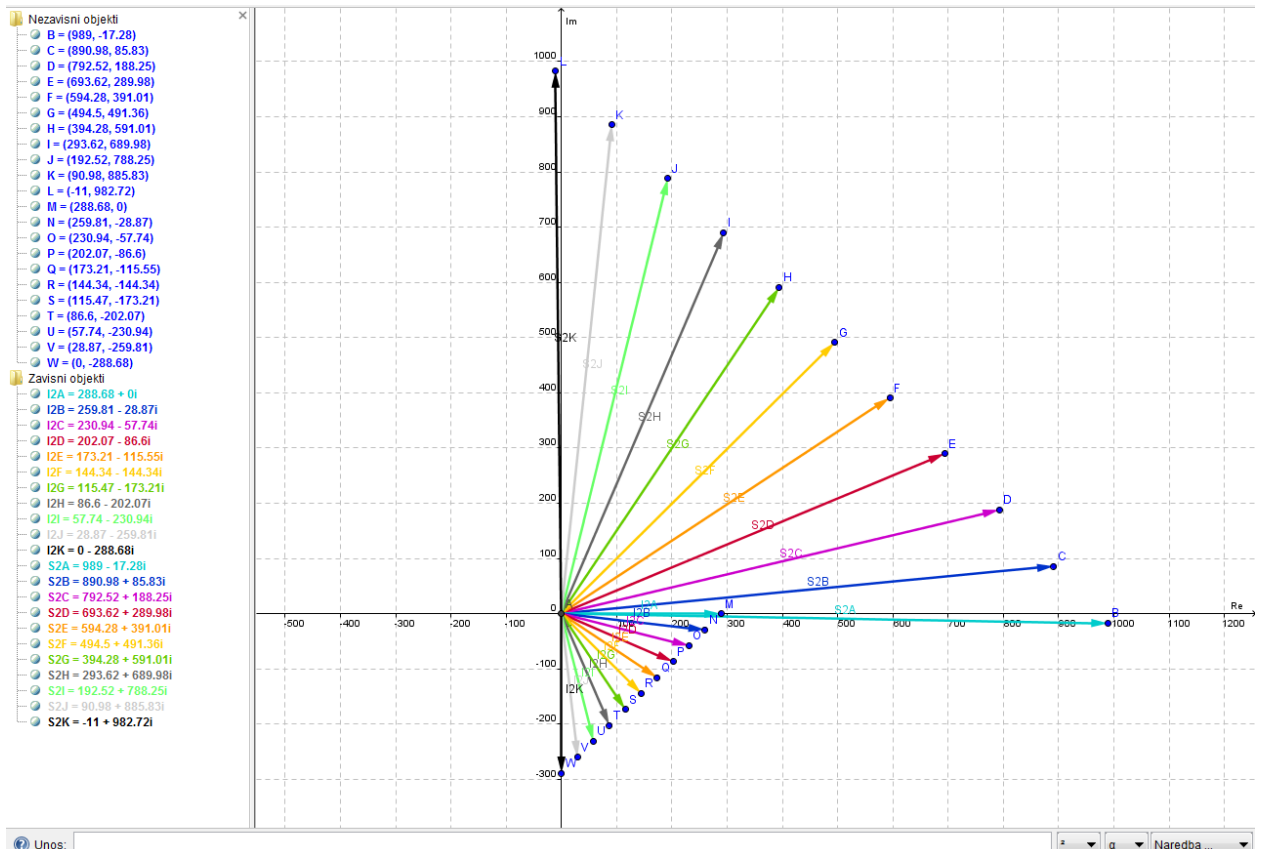
Uz pomoć slike 5.23., dobiva se izraze za izračun struja i napona približnog  $\pi$  - modela elektroenergetskog voda, te pravidnu snagu na kraju elektroenergetskog voda  $S_2$ .

Dobiveni rezultati prikazani su u tablici 5.30 i 5.31.:

*Tablica 5.30. Rezultati dobivenih struja  $I_2$  odnosno  $I_1$ , faznih napona  $V_2$  te pravidnih snaga  $S_2$  na kraju voda, ako su zadani parametri induktivne pravidne snage  $S_1$  na početku voda i duljine voda  $\ell$  od 20 km nazivnog napona 20 kV kod približnog  $\pi$ -modela voda*

| $S_1/\text{kVA}$    | $I_2=I_1/\text{A}$   | $V_2/\text{V}$       | $S_2/\text{kVA}$    |
|---------------------|----------------------|----------------------|---------------------|
| $1000+\mathbf{j}0$  | 28,86751346          | 11419,9883-j199,5323 | 988,999995-j17,280  |
| $900+\mathbf{j}100$ | 25,980762-j2,8867513 | 11412,7368-j166,8773 | 890,97999+j85,83039 |
| $800+\mathbf{j}200$ | 23,094011-j5,7735027 | 11405,4853-j134,2224 | 792,51999+j188,2496 |
| $700+\mathbf{j}300$ | 20,207259-j8,6602540 | 11398,2338-j101,5675 | 693,61999+j289,9776 |
| $600+\mathbf{j}400$ | 17,320508-j11,547005 | 11390,9822-j68,91253 | 594,27999+j391,0144 |
| $500+\mathbf{j}500$ | 14,433757-j14,433757 | 11383,7307-j36,25759 | 494,49999+j491,3599 |
| $400+\mathbf{j}600$ | 11,547005-j17,320508 | 11376,4792-j3,602666 | 394,27999+j591,0144 |
| $300+\mathbf{j}700$ | 8,660254-j20,2072594 | 11369,2277+j29,05227 | 293,61999+j689,9776 |
| $200+\mathbf{j}800$ | 5,773503-j23,0940108 | 11361,9762+j61,70719 | 192,51999+j788,2459 |
| $100+\mathbf{j}900$ | 2,886751-j25,9807621 | 11354,7247+j94,36213 | 90,979999+j885,8304 |
| $0+\mathbf{j}1000$  | -j28,86751346        | 11347,4731+j127,0171 | -11,00+j982,7199995 |

Vektorski dijagram (slika 5.26.) opisuje ovisnost prividne snage  $S_2$  na kraju elektroenergetskog voda i pripadajuće joj struje  $I_2$  na kraju voda približnog  $\pi$  - modela voda po vrijednostima iz tablice 5.30. Valja napomenuti da je struja  $I_2$  na kraju voda skalirana tj. **uvećana 10 puta** zbog bolje vizualizacije.



Slika 5.26. Dobiveni vektorski dijagram struja  $I_2$  odnosno  $I_1$  (**10 puta uvećana**) i prividnih snaga  $S_2$  na kraju voda, ako su zadani parametri induktivne prividne snage  $S_1$  na početku voda nazivnog napona 20 kV kod približnog  $\pi$ -modela voda

Tablica 5.31. Izračunati gubici faznih napona  $\Delta V$  i prividnih snaga  $\Delta S$ , ako su zadani parametri induktivne prividne snage  $S_1$ , na početku voda i duljine voda  $\ell$  od 20 km približnog  $\pi$ -modela voda kod nazivnog napona 20 kV

| $S_1/\text{kVA}$ | $\Delta V/V$          | $\Delta S/\text{kVA}$ |                      |
|------------------|-----------------------|-----------------------|----------------------|
| <b>1000+j0</b>   | -127,01706-j199,53225 | -11,000005-j17,28     | 20,484104∠-2,137675° |
| <b>900+j100</b>  | -134,26858-j166,87732 | -9,020001-j14,169600  | 16,796963∠-2,137675° |
| <b>800+j200</b>  | -141,52009-j134,22239 | -7,480000-j11,750100  | 13,928357∠-2,137687° |
| <b>700+j300</b>  | -148,77162-j101,56746 | -6,380000-j10,022400  | 11,880779∠-2,137675° |
| <b>600+j400</b>  | -156,02314-j68,912528 | -5,7200002-j8,985600  | 10,651733∠-2,137675° |
| <b>500+j500</b>  | -163,27466-j36,257597 | -5,5000002-j8,640000  | 10,242051∠-2,137675° |
| <b>400+j600</b>  | -170,526176-j3,602666 | -5,7200003-j8,985600  | 10,651733∠-2,137675° |
| <b>300+j700</b>  | -177,777695+j29,05227 | -6,3800001-j10,02240  | 11,880779∠-2,137675° |
| <b>200+j800</b>  | -185,029214+j61,7072  | -7,4800001-j11,75040  | 13,929189∠-2,137675° |
| <b>100+j900</b>  | -192,280734+j94,36213 | -9,0200001-j14,16960  | 16,796963∠-2,137675° |
| <b>0+j1000</b>   | -199,532253+j127,0171 | -11,000-j17,2800005   | 20,484102∠-2,137675° |

- **Približan  $\pi$ -model voda**

Primjenom približnog  $\pi$  - modela elektroenergetskog voda, određuje se napon i struju na kraju voda ako su podaci na početku voda:

- nazivni napon  $\mathbf{U}_1 = 20 \text{ kV}$
- duljina voda  $\ell = 20 \text{ km}$
- kapacitivna snaga na kraju voda od  $S_2 = 1000 - j0 \text{ kVA}$  do  $S_2 = 0 - j1000 \text{ kVA}$

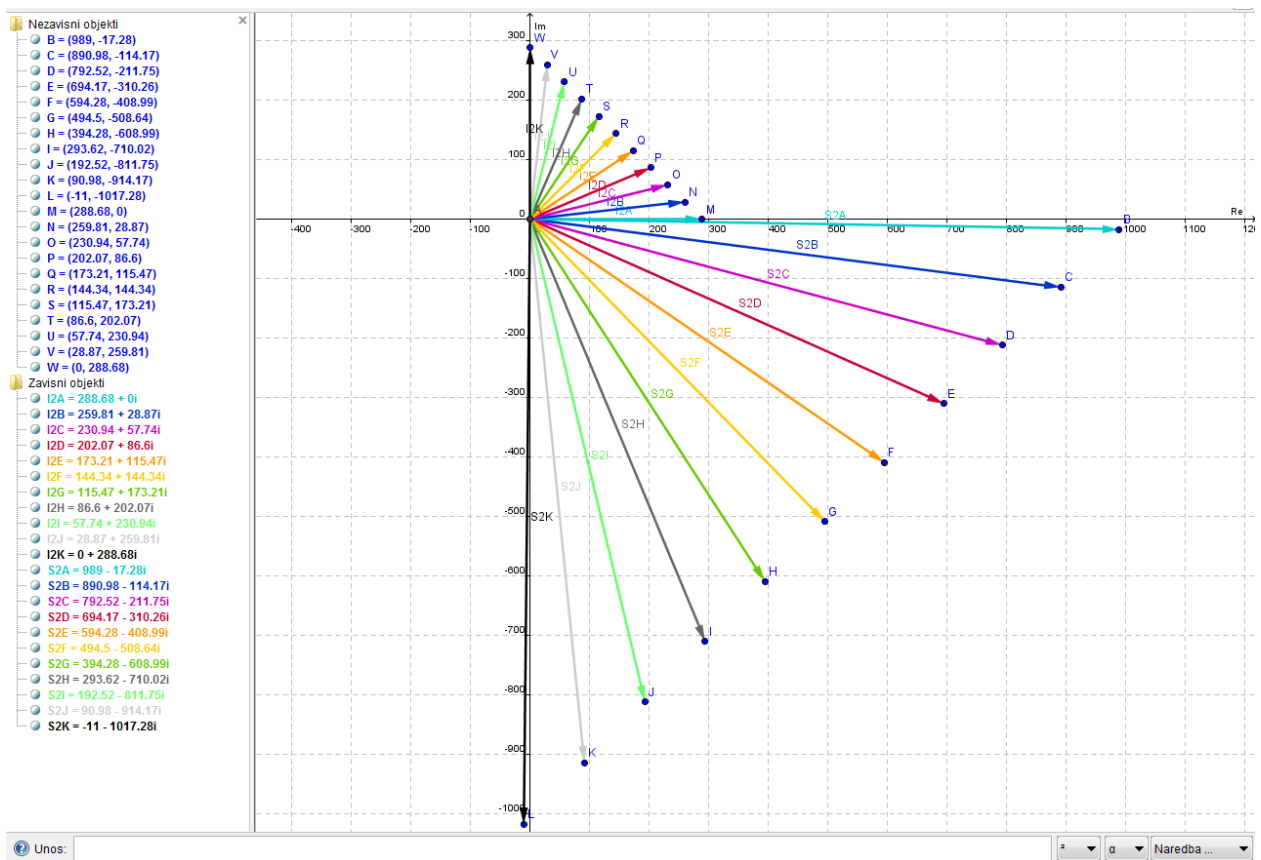
Uz pomoć slike 5.23., dobiva se izraze za izračun struja i napona približnog  $\pi$  - modela elektroenergetskog voda, te prividnu snagu na kraju elektroenergetskog voda  $S_2$ .

Dobiveni rezultati prikazani su u tablici 5.32. i 5.33.

Tablica 5.32. Dobiveni rezultati struja  $I_2$  odnosno  $I_1$ , faznih napona  $V_2$  te prividnih snaga  $S_2$  na kraju voda, ako su zadani parametri kapacitivne prividne snage  $S_1$  na početku voda i duljine voda  $\ell$  od 20 km približnog  $\pi$ -modela voda kod nazivnog napona 20 kV

| $S_1/kVA$       | $I_2=I_1/A$          | $V_2/V$              | $S_2/kVA$           |
|-----------------|----------------------|----------------------|---------------------|
| <b>1000-j0</b>  | 28,86751346          | 11419,9883-j199,5323 | 988,999995-j17,280  |
| <b>900-j100</b> | 25,980762+j2,8867513 | 11452,6433-j192,2807 | 890,97999-j114,1696 |
| <b>800-j200</b> | 23,094011+j5,7735027 | 11485,2982-j185,0292 | 792,51999-j211,7504 |
| <b>700-j300</b> | 20,207259+j8,6602540 | 11526,9531-j177,7777 | 694,16559-j310,2562 |
| <b>600-j400</b> | 17,320508+j11,547005 | 11550,6081-j170,5262 | 594,27999-j408,9856 |
| <b>500-j500</b> | 14,433757+j14,433757 | 11583,2629-j163,2747 | 494,49999-j508,6399 |
| <b>400-j600</b> | 11,547005+j17,320508 | 11615,9179-j156,0231 | 394,27999-j608,9856 |
| <b>300-j700</b> | 8,6602540+j20,207259 | 11648,5728-j148,7716 | 293,61999-j710,0224 |
| <b>200-j800</b> | 5,7735027+j23,094011 | 11681,2278-j141,5201 | 192,51999-j811,7504 |
| <b>100-j900</b> | 2,8867513+j25,980762 | 11713,8827-j134,2686 | 90,97999-j914,16959 |
| <b>0-j1000</b>  | j28,86751346         | 11746,5376-j127,0171 | -11,000-j1017,280   |

Vektorski dijagram (slika 5.27.) opisuje ovisnost prividne snage  $S_2$  na kraju elektroenergetskog voda i pripadajuće joj struje  $I_2$  na kraju voda približnog  $\pi$  - modela voda po vrijednostima iz tablice 5.32. Valja napomenuti da je struja  $I_2$  na kraju voda skalirana tj. **uvećana 10 puta** zbog bolje vizualizacije.



Slika 5.27. Vektorski dijagram dobivenih struja  $I_2$  odnosno  $I_1$  (10 puta uvećana) i prividnih snaga  $S_2$  na kraju voda, ako su zadani parametri kapacitivne prividne snage  $S_1$  na početku voda približnog  $\pi$ -modela voda kod nazivnog napona 20 kV

Tablica 5.33. Gubici izračunatih faznih napona  $\Delta V$  i prividnih snaga  $\Delta S$ , ako su zadani parametri kapacitivne prividne snage  $S_1$  na početku voda i duljine voda  $\ell$  od 20 km približnog  $\pi$ -modela voda kod nazivnog napona 20 kV

| $S_1/kVA$ | $\Delta V/V$          | $\Delta S/kVA$        |                       |
|-----------|-----------------------|-----------------------|-----------------------|
| 1000-j0   | -127,01706-j199,53225 | -11,000005-j17,28     | 20,484104∠-2,137675°  |
| 900-j100  | -94,362128-j192,28073 | -9,020001-j14,1695999 | 16,7969634∠-2,137675° |
| 800-j200  | -61,707197-j185,02921 | -7,480000-j11,7503999 | 13,9291887∠-2,137675° |
| 700-j300  | -20,052266-j177,77769 | -5,834404-j10,2562268 | 11,7995957∠-2,088007° |
| 600-j400  | 3,6026656-j170,526176 | -5,7200001-j8,9855997 | 10,6517324∠-2,137675° |
| 500-j500  | 36,257597-j163,274656 | -5,5000002-j8,6399998 | 10,2420505∠-2,137675° |
| 400-j600  | 68,912528-j156,023137 | -5,7200003-j8,9855998 | 10,6517326∠-2,137675° |
| 300-j700  | 101,56746-j148,771617 | -6,300001-j10,0223996 | 11,8380111∠-2,131975° |
| 200-j800  | 134,222391-j141,52009 | -7,480000-j11,7503997 | 13,9291885∠-2,137675° |
| 100-j900  | 166,87732-j134,268579 | -9,020000-j14,1695994 | 16,7969624∠-2,137675° |
| 0-j1000   | 199,53225-j127,017059 | -11,000-j17,28        | 20,484101∠-2,137675°  |

## 6. ZAKLJUČAK

U završnom radu opisan je elementarni model voda, detaljno su opisane vrste elektroenergetskih vodova, materijali za nadzemne vodove, karakteristične veličine voda i izvedene konstante voda. Zatim su detaljno opisane telegrafske jednadžbe, opće rješenje prijenosnih jednadžbi, sva tri oblika prijenosnih jednadžbi te električne prilike na idealnom vodu. Opisani su proračuni prijenosa pomoću točnog i približnog  $\pi$  i T model voda kao i njihovi korekcijski oblici te proračun prijenosa kod vodova srednjeg napona. Izračunati su i analizirani vodovi različitih naponskih nivoa pomoću točnog i približnog  $\pi$  modela.

U radu su napravljeni primjeri proračuna kod vrlo visokog napona, visokog napona i srednjeg napona pomoću približnog i točnog  $\pi$  modela. Kod vrlo visokog i visokog napona (400 kV, 220 kV i 110 kV), što je duljina voda  $\ell$  veća to su vrijednosti modul impedancija  $|Z|$ ,  $\pi$  - modul impedancija  $|Z_{\Pi}|$ , modul admitancija  $|Y|$  i  $\pi$  - modul admitancija  $|Y_{\Pi}|$  veće. Iz dijagrama je vidljivo da je razlika između približnog i točnog  $\pi$  - modela voda (kod takvih naponskih razina) sve veća i veća sa porastom duljine voda  $\ell$ . Uočava se, što je naponski nivo manji ta je razlika između približnog i točnog  $\pi$  - modela voda sve manja i manja. Zbog preciznije i realnije vrijednosti parametara vodova, vodovi dulji od 200 km se moraju modulirati pomoću točnog  $\pi$  - modela elektroenergetskog voda. Kod vodova srednjeg napona (35 kV, 20 kV i 10 kV) računato je i analizirano samo pomoću približnog  $\pi$  - modela voda zbog toga što se takve vrste vodova postavljaju na kraćim udaljenostima (kraćim od 200 km), te se izračunava samo uzdužna impedancija  $Z$ .

Zatim su izračunati napon i struja na početku i na kraju voda, ako je zadana induktivna odnosno kapacitivna snaga na kraju odnosno na početku elektroenergetskog voda. Ako se kod zadane induktivne prividne snage  $S_2$  na kraju voda (duljine voda  $\ell = 160$  km na nazivnom naponu 400 kV) počinje s čistim radnim teretom djelatne snage  $P$  te se postepeno povećava jalovi dio prividne snage  $S$ , uočava se da prividne snage  $S_1$  na početku voda (u 4. kvadrantu) rastu prema realnom dijelu koordinatne osi, dok kod pripadajuće joj struje  $I_1$  na početku voda (u 1. kvadrantu) opadaju prema realnom dijelu koordinatne osi, a samim time i kut između njih je sve manji. Iznimku rade vektori pomoću kojih se dokazuje (ako je zadana  $S_2 = 10 + 90$  MVA) kako dobivene prividne snage  $S_1$  na početku voda nalaze u 1. kvadrantu i približavaju se imaginarnom djelu koordinatne osi, sve dok se ne dobije čistu jalovu snagu  $Q$ , a pripadajuće joj struje  $I_1$  na početku voda se tada nalaze u 4. kvadrantu koje se također približavaju imaginarnom djelu koordinatne osi, samim time i kut između njih je sve veći.

Iznimka je kod zadane induktivne prividne snage  $S_1$  na početku voda (nazivnog naponu 400 kV) ako počinju s čistim radnim teretom djelatne snage  $P$  te se postepeno povećava jalovi dio prividne snage  $S$ , uočava se da su lijepo raspoređene prividne snage  $S_2$  na kraju voda (u 1. kvadrantu) koje rastu prema imaginarnom dijelu koordinatne osi, dok kod pripadajuće joj struje  $I_2$  na kraju voda (u 4. kvadrantu) opadaju prema imaginarnom dijelu koordinatne, osi sve dok se ne dobije čistu jalovu snagu  $Q$ , a samim time i kut između njih je sve veći.

Kod zadanih kapacitivnih prividnih snaga  $S_1$  na početku voda te prividnih snaga  $S_2$  na kraju voda (duljine voda  $\ell = 160$  km na nazivnom naponu 400 kV, odnosno  $\ell = 20$  km na nazivnom naponu 20 kV) ako se počinje s čistim radnim teretom djelatne snage  $P$  te se postepeno povećava jalovi dio prividne snage  $S$ , uočava se da su lijepo raspoređene prividne snage  $S_1$  na početku voda odnosno prividne snage  $S_2$  na kraju voda (u 4. kvadrantu) koje opadaju prema imaginarnom dijelu koordinatne osi te pripadajuće joj struje  $I_1$  na početku voda odnosno struje  $I_2$  na kraju voda (u 1. kvadrantu) koje rastu prema imaginarnom dijelu koordinatne osi, sve dok se ne dobije čistu jalovu snagu  $Q$ , a samim time i kut između njih je sve veći.

Ako se kod zadanih induktivnih prividnih snaga  $S_1$  na početku voda te kod zadanih induktivnih prividnih snaga  $S_2$  na kraju voda (duljine voda  $\ell = 20$  km na nazivnom naponu 20 kV) počinje s čistim radnim teretom djelatne snage  $P$  te se postepeno povećava jalovi dio prividne snage  $S$ , uočava se da su lijepo raspoređene prividne snage  $S_1$  na početku voda, odnosno prividne snage  $S_2$  na kraju voda (u 1. kvadrantu) povećavaju se prema imaginarnom dijelu koordinatne osi, a pripadajuće joj struje  $I_1$  na početku voda odnosno struje  $I_2$  na kraju voda (u 4. kvadrantu) smanjuju se prema imaginarnom dijelu koordinatne osi, sve dok se ne dobije čistu jalovu snagu  $Q$ , a samim time i kut između njih je sve veći.

Na 400 kV te na 20 kV vodu zadane induktivne i kapacitivne prividne snage  $S_1$  na početku voda te zadane prividne snage  $S_2$  na kraju voda, ako se počinje s čistim radnim teretom djelatne snage  $P$  te se postepeno povećava jalovi dio prividne snage  $S$ , uočava se da se gubici faznog naponu  $\Delta V$  smanjuju te polako povećavaju, a gubici prividne snage  $\Delta S$  se smanjuju pa polako povećavaju, sve dok se ne dobije čistu jalovu snagu  $Q$ .

## 7. LITERATURA

- [3] Andersson, G.: „Power Flow Analysis Fault Analysis Power Systems Dynamics and Stability“, ETH, Zürich, March 2004.
- [6] Pavičić, I.: „Odabir i implementacija kompaktiranih dalekovoda upotrebom umjetnih neuronskih mreža“, Hrvatski operator prijenosnog sustava d.o.o., Zagreb, 2012.
- [9] Pavić, I. „Analiza visokonaponskih mreža“, Sveučilište u Zagrebu FER, 2014.
- [14] Uzelac, M.: „Kompaktirani visokonaponski prijenosni vodovi“, Sveučilište u Rijeci, Tehnički fakultet, Rijeka 2011.
- [15] Pavić, I.: „Vođenje elektroenergetske mreže“, Sveučilište u Zagrebu FER, 2011.
- [16] Krajcar, S.; Delimar, M.: „Električna postrojenja“, Sveučilište u Zagrebu FER, 2007.
- [17] Pavić, I.: „Trofazni proračun tokova snaga“, Sveučilište u Zagrebu FER, 2011.
- [18] Ožegović, M.; Ožegović K.: „Električne energetske mreže I“, FESB; Opal Computing d.o.o., Split, 1996.
- [19] Ožegović, M.; Ožegović K.: „Električne energetske mreže II“, FESB; Opal Computing d.o.o., Split, 1996.
- [20] Ožegović, M.; Ožegović K.: „Električne energetske mreže IV“, FESB; Opal Computing d.o.o., Split, 1997.

Internet stranice:

- [1] Electrical grid, [https://en.wikipedia.org/wiki/Electrical\\_grid](https://en.wikipedia.org/wiki/Electrical_grid)
- [2] Electric power transmission, [https://en.wikipedia.org/wiki/Electric\\_power\\_transmission](https://en.wikipedia.org/wiki/Electric_power_transmission)
- [3] Modelling and Analysis of Electric Power Systems,  
<http://www.columbia.edu/dano/courses/power/notes/power/>
- [4] Overhead power line, [https://en.wikipedia.org/wiki/Overhead\\_power\\_line](https://en.wikipedia.org/wiki/Overhead_power_line)
- [5] Vodovi, <http://mabacic.eios.hr/oo/vodovi>
- [7] Overhead Line Conductor, [http://www.omancables.com/brochure/Overhead\\_Line\\_Conductor](http://www.omancables.com/brochure/Overhead_Line_Conductor)

[8] Undergrounding, <https://en.wikipedia.org/wiki/Undergrounding>

[10] Vodovi, <http://www.scribd.com/doc/140947254/vodovi#scribd>

[11] Copper, <https://en.wikipedia.org/wiki/Copper>

[12] Aluminium, <https://en.wikipedia.org/wiki/Aluminium>

[13] Steel, <https://en.wikipedia.org/wiki/Steel>